

دانشکده مهندسی مکانیک

پایان نامه دوره‌ی کارشناسی ارشد مهندسی مکانیک – قبدیل انرژی

بهینه‌سازی پaramترهای طراحی یاتاقان‌های ژورنال

دانشجو:

سیده زهرا میکائیلی

استاد راهنما:

دکتر پوریا اکبرزاده

استاد مشاور:

دکتر مرتضی رحیمیان

بهمن ۱۳۹۴

بِسْمِ اللّٰهِ الرَّحْمٰنِ الرَّحِيْمِ

ما حصل آموخته‌ایم را تقدیم می‌کنیم به آنان که هر آسانی شان آرام بخش آلام زینی ام

است

به استوارترین تکه‌گاهم، دستان پر هر پدرم

به سبزترین نگاه زندگیم، چشمان سبزه‌دارم

که هرچه آموختم دمکتب عشق شما آموختم و هرچه بکوشم قطره‌ای از دیای بی کران

هر بانیان را پاس توانم بکویم.

امروز هستی ام به امید شماست و فرد اکلیدیان بخشی رضای شما

را آوردی کران سگ تراز این ارزان نداشتم تا به حاکمیان نثار کنم، باشد که حاصل

تلایش نیم کونه غبار خستگیان را بزداید.

بوسہ بر دستان پر هر تان

استادان گرامی جناب آقای دکتر پوریا اکبرزاده و
جناب آقای دکتر مرتضی رحیمیان:

دلوزی، تلاش و کوشش حضرت عالی در تعلیم و تربیت و انتقال معلومات
و تجربیات ارزشمند در کنار برقراری رابطه صمیمی و دوستانه برای کسب علم و
دانش حقیقتاً قابل سایش است. اینجانب بر خود وظیفه میدانم در کوتاه
سیگردی از زحمات و خدمات ارزشمند شما استاد گر اتفاق ر تقدیر و تشکر نمایم.

تعهد نامه

اینجانب سیده زهرا میکائیلی دانشجوی دوره‌ی کارشناسی ارشد رشته‌ی مهندسی مکانیک دانشکده مکانیک دانشگاه صنعتی شاهرود نویسنده‌ی پایان‌نامه با عنوان بهینه‌سازی پارامترهای طراحی یاتاقان‌های ژورنال، تحت راهنمایی دکتر پوریا اکبرزاده و مشاوره دکتر مرتضی رحیمیان معهده می‌شوند:

- تحقیقات در این پایان‌نامه توسط اینجانب انجام‌شده است و از صحت و اصالت برخوردار است.
- در استفاده از نتایج پژوهش‌های محققان دیگر به مرجع مورد استفاده استناد شده است.
- مطالب مندرج در پایان‌نامه تاکنون توسط خود یا فرد دیگری برای دریافت هیچ نوع مدرک یا امتیازی در هیچ‌جا رائه نشده است.
- کلیه حقوق معنوی این اثر متعلق به دانشگاه صنعتی شاهرود می‌باشد و مقالات مستخرج بانام "دانشگاه صنعتی شاهرود" و یا "Shahrood University of Technology" به چاپ خواهد رسید.
- حقوق معنوی تمام افرادی که در به دست آمدن نتایج اصلی پایان‌نامه تأثیرگذار بوده‌اند، در مقالات مستخرج از پایان‌نامه رعایت می‌گردد.
- در تمام مراحل انجام این پایان‌نامه، در مواردی که از موجود زنده (یا بافت‌های آن‌ها) استفاده شده است، ضوابط و اصول اخلاقی رعایت شده است.
- در تمام مراحل انجام این پایان‌نامه، در مواردی که به حوزه اطلاعات شخصی افراد دسترسی یافته یا استفاده شده است اصل رازداری، ضوابط و اصول اخلاق انسانی رعایت شده است.

تاریخ

امضای دانشجو

مالکیت نتیج و حق نشر

❖ تمام حقوق معنوی این اثر و محصولات آن (مقالات مستخرج، کتاب، برنامه‌های رایانه‌ای، نرم‌افزارها و تجهیزات ساخته شده) متعلق به دانشگاه صنعتی شاهرود می‌باشد. این مطلب باید به نحو مقتضی در تولیدات علمی مربوطه ذکر شود.

استفاده از اطلاعات و نتایج موجود در پایان‌نامه بدون ذکر مرجع مجاز نمی‌باشد.

چکیده

بهینه‌سازی یاتاقان‌های ژورنال به دلیل کاربرد فراوان و مستمر آن‌ها در صنایع مختلف نظری نیروگاه‌ها، توربوماشین‌ها، ماشین‌های الکتریکی، کشتی‌سازی و غیره از اهمیت ویژه‌ای برخوردار می‌باشند. در این پایان‌نامه از الگوریتم ازدحام ذرات برای طراحی بهینه و کارآمد یاتاقان‌های کفشك ثابت و یاتاقان‌های کفشك لولایی استفاده شده است. روش بهینه‌سازی بر اساس کمترین ضخامت فیلم، تلفات حرارتی و بیشترین دما می‌باشد. نتایج برای روغن با دماهای ورودی مختلف ارائه شده است. همچنین برای یاتاقان ژورنال کفشك ثابت بهینه‌سازی برای زاویه‌های مختلف کفشك نیز صورت گرفته است. در این پایان‌نامه یک برنامه عددی سه بعدی ترموهیدرودینامیکی، جهت شبیه‌سازی شرایط دائمی یاتاقان‌های ژورنال کفشك لولایی بدون محدودیت در ابعاد به ویژه طول آن‌ها تهیه شده است. در این برنامه، معادلات رینولدز جریان روغن در شکاف بین محور و کفشك‌های یاتاقان به کمک روش عددی تفاضلات محدود حل می‌شود. در این شبیه‌سازی به منظور نزدیک بودن جواب‌ها به شرایط واقعی، تغییرات لرجه روغن با دما نیز در نظر گرفته می‌شود.

کلمات کلیدی: یاتاقان ژورنال، یاتاقان کفشك ثابت، یاتاقان کفشك لولایی، بهینه‌سازی، الگوریتم ازدحام ذرات، روش MOPSO.

فهرست مطالب

۱	۱	مقدمه
۲	۱-۱	یاتاقان‌های ژورنال
۴	۲-۱	الگوریتم بهینه‌سازی
۵	۳-۱	تاریخچه
۹	۲	الگوریتم بهینه‌سازی
۹	۱-۲	مقدمه
۱۰	۲-۲	تعریف بهینه‌سازی
۱۰	۳-۲	بهینه‌سازی و طبقه‌بندی آن
۱۰	۱-۳-۲	بهینه‌سازی حدس و خطا، بهینه‌سازی با تابع
۱۱	۲-۳-۲	بهینه‌سازی یکبعدی و چندبعدی
۱۱	۳-۳-۲	بهینه‌سازی دینامیک و استاتیک
۱۱	۴-۳-۲	بهینه‌سازی گسسته و پیوسته
۱۲	۵-۳-۲	بهینه‌سازی مقید و غیرمقید
۱۴	۶-۳-۲	بهینه‌سازی تک معیاره و چند معیاره
۱۵	۴-۲	ساختار شبکه‌ای
۱۵	۵-۲	بهینه‌سازی گروه ذرات
۱۵	۱-۵-۲	تاریخچه بهینه‌سازی گروه ذرات
۱۸	۲-۵-۲	الگوریتم بهینه‌سازی ازدحام ذرات
۲۲	۳-۵-۲	وزن اینرسی
۲۳	۴-۵-۲	مهر کردن سرعت
۲۳	۵-۵-۲	مراحل الگوریتم PSO
۲۴	۶-۵-۲	بهینه‌سازی چند معیاره
۳۰	۶-۲	مزایای الگوریتم بهینه‌سازی ذرات
۳۰	۷-۲	مقایسه‌ی PSO با الگوریتم‌های تکاملی
۳۲	۳	یاتاقان‌های ژورنال
۳۳	۱-۳	مقدمه
۳۳	۲-۳	یاتاقان‌های ژورنال کشف ثابت
۳۴	۱-۲-۳	معادلات حاکم

۴۰	۲-۲-۳- معادله و گلپول	
۴۱	۳-۲-۳- پارامترهای عملکردی یاتاقان	
۴۳	۳-۳- یاتاقان کفشك لولي	
۴۳	۱-۳-۳- معادلات حاكم	
۴۴	۴-۳- گسسته سازی	
۴۵	۵-۳- روش حل	
۴۷	۴ نتایج	
۴۷	۱-۴- مقدمه	
۴۷	۲-۴- صحت سنجی نتایج	
۵۰	۳-۴- نتایج یاتاقان ژورنال	
۵۱	۱-۳-۴- بهینه‌سازی با یک تابع هدف	
۵۱	۲-۳-۴- بهینه‌سازی با دو تابع هدف	
۵۹	۳-۳-۴- بهینه‌سازی با سه تابع هدف	
۶۷	۴- نتایج یاتاقان کفشك لولي	
۶۷	۱-۱-۴- بهینه‌سازی با دو تابع هدف	
۷۲	۲-۱-۴- بهینه‌سازی با سه تابع هدف	
۷۹	فصل پنجم	
۷۹	۵ نتیجه‌گیری و پیشنهادها	
۸۳	۶ منابع	

فهرست شکل‌ها

شکل ۲ - ۱ به روزرسانی سرعت	۲۱
شکل ۲ - ۲ به روزرسانی موقعیت ذره	۲۱
شکل ۲ - ۳ الگوریتم PSO	۲۴
شکل ۳ - ۱ شماتیک یاتاقان ژورنال کفشک ثابت	۳۵
شکل ۳ - ۲ یاتاقان ژورنال با کفشک ثابت	۳۸
شکل ۳ - ۳ یاتاقان کفشک لولایی	۴۴
شکل ۴ - ۲ شبیه‌سازی یاتاقان کفشک ثابت. (الف) کمترین ضخامت بی‌بعد فیلم روغن و زاویه گرایش یاتاقان. (ب) ضریب اصطکاک و ضریب دبی روغن ورودی	۴۹
شکل ۴ - ۳ شبیه‌سازی یاتاقان کفشک لولایی. کمترین ضخامت بی‌بعد فیلم روغن بر حسب عدد سامرفلد	۵۰
شکل ۴ - ۴ منحنی پرتو با دمای ورودی ۳۵ درجه سانتیگراد با توابع هدف اتلاف حرارتی و کمترین ضخامت فیلم روغن به ازای تکرارها مختلف با روش MOPSO	۵۳
شکل ۴ - ۵ منحنی پرتو با دمای ورودی ۴۰ درجه سانتیگراد با توابع هدف اتلاف حرارتی و کمترین ضخامت فیلم روغن به ازای تکرارها مختلف با روش MOPSO	۵۳
شکل ۴ - ۶ منحنی پرتو با دمای ورودی ۴۵ درجه سانتیگراد با توابع هدف اتلاف حرارتی و کمترین ضخامت فیلم روغن به ازای تکرارها مختلف با روش MOPSO	۵۴
شکل ۴ - ۷ منحنی پرتو با توابع هدف بیشترین دما و کمترین ضخامت فیلم روغن به ازای دماهای ورودی روغن مختلف با روش MOPSO	۵۵
شکل ۴ - ۸ منحنی پرتو با توابع هدف اتلاف حرارتی و کمترین ضخامت فیلم روغن به ازای دماهای ورودی روغن مختلف با روش MOPSO	۵۶
شکل ۴ - ۹ منحنی پرتو با توابع هدف اتلاف حرارتی و بیشترین دمای روغن به ازای دماهای ورودی روغن مختلف با روش MOPSO	۵۸
شکل ۴ - ۱۰ منحنی پرتو یاتاقان کفشک ثابت با زاویه کفشک ۳۰ درجه با توابع هدف اتلاف حرارتی، بیشترین دمای روغن و کمترین ضخامت فیلم روغن به ازای دمای ورودی ۳۵ درجه سانتیگراد روغن با روش MOPSO	۶۰
شکل ۴ - ۱۱ منحنی پرتو یاتاقان کفشک ثابت با زاویه کفشک ۳۰ درجه با توابع هدف اتلاف حرارتی، بیشترین دمای روغن و کمترین ضخامت فیلم روغن به ازای دمای ورودی مختلف روغن با روش MOPSO	۶۱
شکل ۴ - ۱۲ منحنی پرتو یاتاقان کفشک ثابت با زاویه کفشک ۶۰ درجه با توابع هدف اتلاف حرارتی، بیشترین دمای	

- روغن و کمترین ضخامت فیلم روغن به ازای دمای ورودی ۴۵ درجه سانتیگراد روغن با روش MOPSO ۶۲
- شکل ۴-۱۳ منحنی پرتو یاتاقان کفشک ثابت با زاویه کفشک ۶۰ درجه با توابع هدف اتلاف حرارتی، بیشترین دمای روغن و کمترین ضخامت فیلم روغن به ازای دمای ورودی مختلف روغن با روش MOPSO ۶۳
- شکل ۴-۱۴ منحنی پرتو یاتاقان کفشک ثابت با زاویه کفشک ۹۰ درجه با توابع هدف اتلاف حرارتی، بیشترین دمای روغن و کمترین ضخامت فیلم روغن به ازای دمای ورودی ۳۰ درجه سانتیگراد روغن با روش MOPSO ۶۵
- شکل ۴-۱۵ منحنی پرتو یاتاقان کفشک ثابت با زاویه کفشک ۹۰ درجه با توابع هدف اتلاف حرارتی، بیشترین دمای روغن و کمترین ضخامت فیلم روغن به ازای دمای ورودی مختلف روغن با روش MOPSO ۶۶
- شکل ۴-۱۶ منحنی پرتو یاتاقان کفشک لولایی با ۵ کفشک و توابع هدف اتلاف حرارتی و کمترین ضخامت فیلم روغن به ازای دمای ورودی مختلف روغن با روش MOPSO ۶۸
- شکل ۴-۱۷ منحنی پرتو یاتاقان کفشک لولایی با ۵ کفشک و توابع هدف بیشترین دمای روغن و کمترین ضخامت فیلم روغن به ازای دمای ورودی مختلف روغن با روش MOPSO ۷۰
- شکل ۴-۱۸ منحنی پرتو یاتاقان کفشک لولایی با ۵ کفشک و توابع هدف اتلاف حرارتی و بیشترین دمای روغن به ازای دمای ورودی مختلف روغن با روش MOPSO ۷۱
- شکل ۴-۱۹ منحنی پرتو یاتاقان کفشک لولایی با ۵ کفشک و توابع هدف اتلاف حرارتی، بیشترین دمای روغن و کمترین ضخامت فیلم روغن به ازای دمای ورودی ۳۰ درجه سانتیگراد با روش MOPSO ۷۲
- شکل ۴-۲۰ منحنی پرتو یاتاقان کفشک لولایی با ۵ کفشک و توابع هدف اتلاف حرارتی، بیشترین دمای روغن و کمترین ضخامت فیلم روغن به ازای دمای ورودی ۳۵ درجه سانتیگراد با روش MOPSO ۷۳
- شکل ۴-۲۱ منحنی پرتو یاتاقان کفشک لولایی با ۵ کفشک و توابع هدف اتلاف حرارتی، بیشترین دمای روغن و کمترین ضخامت فیلم روغن به ازای دمای ورودی ۴۰ درجه سانتیگراد با روش MOPSO ۷۴
- شکل ۴-۲۲ منحنی پرتو یاتاقان کفشک لولایی با ۵ کفشک و توابع هدف اتلاف حرارتی، بیشترین دمای روغن و کمترین ضخامت فیلم روغن به ازای دمای ورودی ۴۵ درجه سانتیگراد با روش MOPSO ۷۵
- شکل ۴-۲۳ منحنی پرتو یاتاقان کفشک ثابت با ۵ کفشک و توابع هدف اتلاف حرارتی، بیشترین دمای روغن و کمترین ضخامت فیلم روغن به ازای دمای ورودی مختلف روغن با روش MOPSO ۷۶

فهرست جدول ها

جدول ۴-۱ مشخصات هندسی یاتاقان زورنال جهت اعتبار سنجی.....	۴۸
جدول ۴-۲ بهینهسازی یاتاقان کفشک ثابت با یک تابع هدف.....	۵۱
جدول ۴-۳ متغیرهای تصمیم یاتاقان کفشک ثابت با توابع هدف کمترین ضخامت فیلم روغن و بیشترین دما با روش MOPSO.....	۵۵
جدول ۴-۴ متغیرهای تصمیم یاتاقان کفشک ثابت با توابع هدف کمترین ضخامت فیلم روغن و تلفات حرارتی با روش MOPSO.....	۵۷
جدول ۴-۵ متغیرهای تصمیم یاتاقان کفشک ثابت با توابع هدف بیشترین دما و تلفات حرارتی با روش MOPSO.....	۵۸
جدول ۴-۶ متغیرهای تصمیم یاتاقان کفشک ثابت با زاویه کفشک ۳۰ درجه با توابع هدف اتلاف حرارتی، بیشترین دمای روغن و کمترین ضخامت فیلم روغن با روش MOPSO.....	۶۱
جدول ۴-۷ متغیرهای تصمیم یاتاقان کفشک ثابت با زاویه کفشک ۶۰ درجه با توابع هدف اتلاف حرارتی، بیشترین دمای روغن و کمترین ضخامت فیلم روغن با روش MOPSO.....	۶۴
جدول ۴-۸ متغیرهای تصمیم یاتاقان کفشک ثابت با زاویه کفشک ۹۰ درجه با توابع هدف اتلاف حرارتی، بیشترین دمای روغن و کمترین ضخامت فیلم روغن با روش MOPSO.....	۶۶
جدول ۴-۹ متغیرهای تصمیم یاتاقان کفشک لولایی با توابع هدف تلفات حرارتی و کمترین ضخامت فیلم روغن با روش MOPSO.....	۶۹
جدول ۴-۱۰ متغیرهای تصمیم یاتاقان کفشک لولایی با توابع هدف بیشترین دمای روغن و کمترین ضخامت فیلم روغن با روش MOPSO.....	۷۰
جدول ۴-۱۱ متغیرهای تصمیم یاتاقان کفشک لولایی با توابع هدف اتلاف حرارتی و بیشترین دمای روغن روغن با روش MOPSO.....	۷۱
جدول ۴-۱۲ متغیرهای تصمیم یاتاقان کفشک لولایی با توابع هدف اتلاف حرارتی، بیشترین دمای روغن و کمترین ضخامت فیلم روغن با روش MOPSO.....	۷۷

فهرست علائم

لقی کفشک و محور یاتاقان، m	c
پارامتر ثابت	C_1
پارامتر ثابت	C_2
لقی دایره استقرار مفصل و محور یاتاقان، m	c'
ظرفیت حرارتی روغن، $\text{J/kg.}^{\circ}\text{C}$	C_P
خروج از مرکزیت محور، m	e
تابع هدف	$f(x)$
ضریب اصطکاک یاتاقان	f
ضخامت فیلم روغن، m	h
ضخامت بی بعد فیلم روغن، $(\bar{h} = h/c)$	\bar{h}
کمترین ضخامت فیلم روغن، m	h_0
کمترین ضخامت بی بعد فیلم روغن	\bar{h}_{\min}
توان تلفات اصطکاکی، W	H_f
ممان دوم سطح کفشک، m^4	I
طول یاتاقان، m	L
ضریب پیش بارگذاری، $(m = 1 - c'/c)$	m
کمیت و گلپول، $(M = \bar{p}\bar{h}^{1.5})$	M
گشتاور موضعی حول نقطه مفصل، $N.m$	M'
سرعت دورانی محور یاتاقان، rpm	N
تعداد ذرات	n
تعداد کفشک یاتاقان	N_P
فشار روغن، Pa	p
فشار بی بعد، $(\bar{p} = pc^2/(6U\mu R))$	\bar{p}
توان تلفاتی اصطکاکی یاتاقان، kW	P_f
دبی روغن ورودی به یاتاقان، lit/s	Q_I
نشتی روغن در راستای محور یاتاقان، lit/s	Q_S
شعاع یاتاقان، m	R
عدد سامر فیلد، $S = (R/c)^2(\mu N/P)$	S

دماي روغن، $^{\circ}\text{C}$	T
گشتاور اصطکاکی، N.m	\tilde{T}
دماي کفشك، $^{\circ}\text{C}$	T_{Pad}
بيشترین دماي فيلم روغن، $^{\circ}\text{C}$	T_{\max}
مولفه سرعت سيال در راستاي چرخشی، m/s	u
سرعت خطی محور ياتاقان، m/s	U
مولفه سرعت سيال در راستاي عمود، m/s	v
مولفه سرعت ذات	$v_{i,j}$
مولفه سرعت سيال در راستاي محوري، m/s	w
نيروي محوري، N	w_x
نيروي عمودي، N	w_y
نيروي كل، N	w_t
نيروي وارد بر ياتاقان، N	W
ضريب وزني	\tilde{w}
مختصات در راستاي محطي، m	x
بردار موقعيت ذرات	$x_{i,j}$
مختصات زاويهای، ($\bar{x} = x/R$)	\bar{x}
موقعیت زاویهای مفصل کفشك، m	\bar{x}_P
مختصات در راستاي محوري، m	y
بهترین خاطره شخصی ذرات	$y_{i,j}$
بهترین خاطره گروهي ذرات	$\hat{y}_{i,j}$
مختصات بی بعد محوري، $\bar{y} = y/c$	\bar{y}
مختصات در راستاي ضخامت فيلم، m	z
علايم يوناني	
زاویه چرخش کفشك	δ
نسبت خروج از مرکزيت، ($\epsilon = e/c$)	ϵ
زاویه کمانی کفشك	θ_P
زاویه گرایش ياتاقان	ϕ
زاویه بارگذاري	φ
پaramتر ثابت	φ_1

پارامتر ثابت	φ_2
لزجت روغن، Pa.s	μ
($\bar{\mu} = \mu/\mu_0$) لزجت بی بعد روغن،	$\bar{\mu}$
Pa.s لزجت مرجع،	μ_0
kg/m ³ چگالی روغن،	ρ
($\psi = c/R$) نسبت لقی،	ψ
محل لولای کفشک	γ
زیرنویس‌ها	
شماره شبکه محاسباتی	i, j

فصل اول

مقدمه

با رشد و توسعه جوامع صنعتی و ظهرور فن‌آوری‌های نوین و پیشرفته، نیاز به ماشین‌های دوار نظیر توربین‌ها، پمپ‌ها، کمپرسورها و غیره با سرعت و ظرفیت بارپذیری زیاد بیش از پیش احساس می‌شود. در طراحی و ساختار این ماشین‌آلات، استفاده از یاتاقان‌های ژورنال^۱ به عنوان تکیه‌گاه اصلی آن‌ها، به دلیل هزینه کم، عمر طولانی، سروصدای کم، ظرفیت بارپذیری بالا، سهولت تعمیر و نگهداری و غیره از اهمیت ویژه‌ای برخوردار هستند. روش‌های بهینه‌سازی ریاضی و هوشمند می‌توانند برای بهینه‌سازی طراحی و عملکرد یاتاقان مورد استفاده قرار گیرند. با توجه به پیچیدگی‌های این مسئله به کارگیری روش‌های بهینه‌سازی مناسب از اهمیت ویژه‌ای برخوردار است و باید الگوریتمی مورد استفاده قرار گیرد که با مسئله سازگار باشد. چنانچه رابطه توابع هدف در اختیار نباشد روش‌های ریاضی نمی‌توانند جهت بهینه‌سازی مورداستفاده قرار گیرند. در این شرایط روش‌های بهینه‌سازی هوشمند مانند الگوریتم ژنتیک^۲ و الگوریتم ازدحام ذرات^۳ از عملکرد بهتری برخوردارند.

¹ Journal bearing

² Genetic algorithm

³ Paricle swarm

۱-۱- یاتاقان‌های ژورنال

یاتاقان‌ها اجزایی هستند که حرکت نسبی بین دو یا چند قطعه را برای دستیابی به حداقل اصطکاک ممکن تأمین می‌کنند. یاتاقان‌های ژورنال بنا به نوع کاربردشان به سه دسته یاتاقان‌های هیدرودینامیک^۱، هیدرودینامیک^۲ و هیدرودینامیک-هیدرودینامیک تقسیم می‌شوند که در این پایان‌نامه، موضوع مورد بررسی، یاتاقان‌های هیدرودینامیک می‌باشد. تجهیزات دوار مانند کمپرسورها، توربین‌ها، پمپ‌ها، الکتروموتورها وغیره معمولاً با استفاده از یاتاقان‌های هیدرودینامیکی به گردش درمی‌آیند.

یاتاقان‌های ژورنال از مهم‌ترین اجزای تجهیزات دوار می‌باشند که نقش راهنمایی و تحمل کننده بارهای مکانیکی را در اعضاء متحرک با حرکت دوار یا خطی دارند. فیلم روغن ایجادشده در این یاتاقان‌ها، تماس فیزیکی بین شفت و یاتاقان را به تماس هیدرودینامیکی تبدیل می‌نماید. در روان‌کاری هیدرودینامیکی، سطح یاتاقان کاملاً توسط یک فیلم سیال از یکدیگر جدا می‌شوند. چنین یاتاقان‌هایی علاوه بر داشتن اصطکاکی پایین و نیز افت قدرت پایین، از امتیاز بسیار خوب ساده بودن، برخوردارند. لذا قابل اعتماد و ارزان بوده و نگهداری از آن‌ها راحت است. از لحاظ شکل هندسی، این نوع یاتاقان‌ها می‌تواند به شکل ساده با کفشک ثابت^۳ تا شکل‌های پیچیده شامل کفشک لولایی^۴ باشند [۱]. استفاده از یاتاقان‌های ژورنال کفشک لولایی به عنوان یکی از فناوری‌های صنعتی جهت رفع مشکلات ناپایداری و رفع مشکلات ساخت و مونتاژ مانند ناهمراستایی شفت و یاتاقان‌ها، خصوصاً در توربوماشین‌ها کاربردهای فراوان یافته است. یاتاقان‌های ژورنال کفشک لولایی با یک مقدار بارگذاری اولیه^۵ طراحی می‌شوند. یاتاقان‌های ساده در هنگام کارکرد به ویژه با نیروهای کم، دچار ناپایداری می‌گردند. این ناپایداری درنتیجه‌ی تحریک فرکانس-

¹ Hydrostatic

² Hydrodynamic

³ Fixed-pad journal bearing

⁴ Tiltin-pad journal bearing

⁵ Preload

های طبیعی سیستم به وسیله‌ی ارتعاشات حاصل از چرخش روغن ایجاد می‌گردد. از سوی دیگر یاتاقان‌های کفشک ثابت در اثر عواملی نظیر عدم هم محوری، نامیزانی، سایش و نیروهای ضربه‌ای آسیب‌های جدی می‌بینند [۲].

خصوصیات طراحی یاتاقان‌های ژورنال کفشک لولایی به‌گونه‌ای است که کلیه مشکلات مربوط به ناپایداری فیلم روغن را از بین می‌برد. در عین حال، طراحی مکانیکی این یاتاقان‌ها تحمل ضربه و نیروهای ناشی از نامیرایی را به آن بخشدید و کارکرد مداوم آن را حتی به همراه مشکلاتی نظیر عدم هم محوری و سایش، امکان‌پذیر ساخته است. یک یاتاقان کفشک لولایی از چندین کفشک مجزا تشکیل شده است که هر یک حول محوری در مرکز کفشک دوران می‌کنند. هنگامی که یاتاقان تحت بار قرار می‌گیرد، موقعیت مرکز شافت نسبت به مرکز یاتاقان جابجا می‌شود. مزیت اصلی این طرح، دوران مستقل هر کفشک و تشکیل پروفیل فشار به صورت مجزا است. اغلب این یاتاقان‌ها دارای چهار یا پنج کفشک می‌باشند. به همین دلیل امروزه یاتاقان‌های ژورنال کفشک لولایی در مقایسه با یاتاقان‌های ژورنال کفشک ثابت، به دلیل ویژگی خود-تنظیمی کفشک‌ها (متنااسب با شرایط کارکرد)، عملکرد و پایداری خوب و مطمئنی در سرعت‌های بالا از خود نشان می‌دهند، اما همین ویژگی، چنانچه به خوبی در طراحی‌ها و محاسبات لحاظ نگردد می‌تواند منجر به ارتعاشات کفشک‌ها حول نقطه مفصل^۱ شود و صدمات جبران‌ناپذیری در اثر برخورد آن‌ها با محور ماشین به وجود آورد. از این‌رو در طراحی یاتاقان‌های کفشک لولایی، دقت و ظرفت خاصی در شبیه‌سازی جریان روان‌ساز بین کفشک‌ها و محور یاتاقان باید در نظر گرفته شود. یکی دیگر از مواردی که باید در طراحی‌ها به آن توجه شود نیروی اصطکاک و روان‌سازی یاتاقان‌ها است. نیروی اصطکاک با وجود فواید بسیاری که در برخی موارد داشته است در مواردی هم به عنوان مانعی در سر راه انسان بوده و باعث اتلاف مقدار بسیار زیادی از انرژی می‌شود و دمای روان‌سازی را تا حدی افزایش می-

¹ Pivot

دهد که نصب دستگاه‌های دقیق و پرهزینه خنک کاری را اجتناب‌ناپذیر می‌سازد. به همین دلیل این‌گونه یاتاقان‌ها نیازمند مراقبت‌های ویژه از نظر میزان روان‌ساز می‌باشند. این مقدار باید به گونه‌ای تنظیم شود که نه زیاد و نه کم باشد. روان‌کاری نامناسب باعث می‌شود یاتاقان‌ها خیلی سریع فرسوده شوند و باعث ایجاد رسوب و خوردگی در یاتاقان‌ها می‌گردد [۳] به طور مثال روان‌کاری بیش از حد سبب داغ شدن یاتاقان‌ها در نتیجه باعث کوتاه شدن عمر یاتاقان‌ها می‌گردد. از این‌رو مسئله روان‌کاری و ضخامت فیلم روغن مبحث مهمی در یاتاقان‌ها می‌باشد.

۱-۲- الگوریتم بهینه‌سازی

هر مسئله مهندسی ممکن است دارای چندین جواب مختلف باشد که بعضی از آن‌ها قابل قبول و بعضی غیر قابل قبول‌اند. وظیفه طراحان پیدا کردن بهترین جواب ممکن از میان جواب‌های مختلف است که لزوم بحث بهینه‌سازی مطرح می‌شود. اخیراً راهکار بهینه‌سازی‌های چندمنظوره در طراحی مکانیکی به جای مفهوم بهینه‌سازی تک منظوره که مدت‌زمان زیادی مورد استفاده بود، بکار می‌رود. تخمین بهینه-سازی چندمنظوره به‌طور وسیعی در مسائل طراحی مکانیکی و فرآیندهایی از این قبیل قابل اجرا است. در بعضی موارد، ممکن است عملکرد شرایط با یکدیگر در تضاد باشد، به طوری که بهبود در یکی از آن‌ها موجب بدتر شدن تابع یا توابع دیگر شود. این مسائل نمی‌تواند با انتخاب یک بهینه‌سازی تکمنظوره بهینه‌شوند؛ بنابراین حل بهینه در طراحی فرآیند، بایستی در بین تابع تک و چندمنظوره جستجو شود. معمولاً در روش‌های محلی و سنتی امکان بهینه‌سازی همزمان چندین پارامتر غیرمستقیم، میسر نیست. همچنین بزرگ‌ترین مشکل در رواج بهینه‌سازی چندمنظوره این می‌باشد که روش بهینه‌سازی مناسبی مخصوصاً برای شرایط متضاد وجود ندارد. در دهه‌های اخیر الگوریتم‌های تکاملی که جزء روش‌های بهینه-سازی هستند به وجود آمدند. این روش‌ها بر پایه حرکت، ژنتیک، توارث و نظریه تکامل بیان بنashده‌اند. در

ابتدا قادر به بهینه‌سازی یک تابع هدف بودند ولی به تدریج به قدرت این روش‌ها نیز افزوده شد. به طوری که امروزه چند تابع هدف را می‌توان به طور همزمان بهینه کرد [۴]. در حال حاضر بهینه‌سازی چنددهده به یک موضوع بسیار محبوب بین محققین درآمده است اما هنوز هم بسیاری از سؤالات بی‌پاسخ در این حوزه وجود دارد. در واقع حتی یک مورد، پذیرش بین‌المللی در رابطه با تعریف مطلوب از هدف بهینه‌سازی وجود ندارد که باعث شود حتی آن قابل مقایسه با روش‌های دیگر شود. اما درنهایت راه حل این مشکل، معمولاً با تنظیم پارامترهای مختلف توسط کاربر امکان‌پذیر است. از آنجایی که بهینه‌سازی چند معیار دارد و ممکن است این معیارها با هم فرق داشته باشند معمولاً برای ارائه راه حل برای آن‌ها مشکلاتی وجود دارد. معمولاً بهینه‌سازی با تعریف هدف شروع می‌شود که برای مسائل مختلف، متفاوت می‌باشد، توابع هدف به صورت بیشینه یا کمینه کردن یک متغیر خاص تعریف می‌شوند و حتی برای یک مسئله خاص می‌توان چند تابع هدف را منظور کرد.

۱-۳- تاریخچه

در سال ۲۰۰۳ اشکابیلو و همکارش [۵] از الگوریتم ژنتیک برای طراحی بهینه شکل یاتاقان با عرض محدود پرداختند، که لزجت ثابت در نظر گرفته شده است و این کار، تحت بار و سرعت‌های مختلف صورت گرفته است. داده‌های ورودی در این مسئله به صورت گسسته می‌باشد. در همان سال حیرانی و همکارش [۶] با متغیرهای تصمیم نسبت طول به قطر، ضریب لقی، لزجت روغن و نسبت خروج از مرکز با استفاده از الگوریتم ژنتیک به بهینه‌سازی یاتاقان با عرض محدود و با توابع هدف کمترین ضخامت فیلم روغن و بیشترین اختلاف دما پرداخته است که برای این کار از نیروهای ۱۰ و ۲۰ کیلو نیوتن و بازه سرعت ۴۰ تا ۲۴۰ رادیان بر ثانیه استفاده کرده است و تاثیر سرعت و نیرو را بر روی این توابع بررسی نمودند. ساروهان و همکاران [۷] با استفاده از الگوریتم ژنتیک به بهینه‌سازی یاتاقان کفشک لوایی با ۵ کفشک پرداخته

است. وی همچنین تاثیر سرعت و نیرو را بر روی پارامترهای عملکردی این نوع یاتاقان بررسی نموده است. همچنین حیرانی و سوح [۸] در سال ۲۰۰۵ به بهینه‌سازی پارامترهای طراحی یاتاقان ژورنال با استفاده از الگوریتم ژنتیک چندگانه با توابع هدف کمترین ضخامت فیلم روغن و تلفات حرارتی پرداخته‌اند و منحنی پرتو^۱ این دو تابع را رسم کرده‌اند که متغیرهای طراحی آن ضریب لقی^۲، نسبت طول به قطر، هندسه شیار و لزجت روغن بوده است. در این مقاله نسبت طول به قطر، ضریب لقی لزجت روغن و هندسه شیار به ترتیب بین ۰/۹ تا ۰/۹، ۳۵ تا ۷۰ میکرون، ۱ تا ۱۶ مگا پاسکال در ثانیه و ۲۰ تا ۹۰ درجه می‌باشد. حیرانی و سوح تاثیر هندسه شیار و فشار حمایت کننده‌ی آن را بر روی توابع هدف مسئله بررسی نموده‌اند. گوپتا و همکاران [۹] در سال ۲۰۰۷ به بهینه‌سازی یاتاقان غلتشی با ۳ تابع هدف و با استفاده از همان الگوریتم پرداخته است. شرینیت و همکاران [۱۰] نیز پارامترهای طراحی یاتاقان ژورنال، با لزجت ثابت را با استفاده از ترفند بهینه‌سازی حداقل مربعات برای حل بهینه استفاده کردند. برای حل مسائل روان‌کاری یاتاقان که بیشتر شامل معادلات ضخامت فیلم روغن و شرایط مرزی در میدان فشار است، یک تحلیل عددی ارائه شده است. هاشیماتو و ماتسوماتو [۱۱] ویژگی‌ها و پارامترهای هیدرودینامیکی یاتاقان ژورنال، با سرعت بالا را با استفاده از الگوریتم ژنتیک بهینه کردند و تاثیر بار را بر روی این یاتاقان بررسی نمودند. قربانیان و همکاران [۱۲] نیز علاوه بر الگوریتم ژنتیک از مدل شبکه عصبی نیز برای بهینه‌سازی یاتاقان‌های ژورنال با توابع هدف کمترین ضخامت فیلم روغن، تلفات اصطکاکی^۳ و بیشترین درجه حرارت پرداخته است. قربانیان و همکاران تاثیر لزجت را بر روی توابع هدف بررسی نموده است. حیرانی و همکاران [۱۳] در مقاله‌ای از روش نیوتون رافسون برای بدست آوردن خروج از مرکز استفاده کرده است و با بارها، سرعت‌ها و محل‌های متفاوت شیار با استفاده از روش وزنی الگوریتم ژنتیک به بهینه کردن دبی و

¹ Pareto

² Clearance

³ Groove location

³ Power loss

اتلاف حرارتی پرداخته است. روی و همکاران [۱۴] نیز بیشترین دبی و اتلاف حرارتی را بهینه نموده است. گودور و همکارش [۱۵] در تحقیقی دیگر بعضی از تر福德های بهینه‌سازی را برای طراحی و تعیین پارامترهای یاتاقان ژورنال ارائه داده است. توداس و همکارش [۱۶] به تفاوت بین طراحی بهینه و طراحی معمولی پرداخته است. سالم [۱۷] در مسئله بهینه‌سازی با توجه به بیشترین ظرفیت بار، یاتاقان‌های ژورنال را فرموله کرده است. همچنین محدودیت‌های عملی و محدودیت کاربردهای طراحی نیز در نظر گرفته شده است. در این مقاله اصول روش بهینه‌سازی بر اساس روش معروف رزن برگ^۱ بنا شده است که نتایج حاصله اثر نسبت سطح، ظرفیت بار، نرخ جریان و نسبت قدرت را بیان می‌کند. بیقتلر و همکارش [۱۸] در نتایج حاصل از یک روش بهینه‌سازی در کمینه کردن کل نیروی اتلافی در یاتاقان‌های ژورنال هیدرودستاتیک ارائه کرده‌اند که نتایج بدست آمده مقادیر بهینه نسبت سطح و نسبت فشار را بیان می‌کند.

در این پایان‌نامه با توجه به پیوسته بودن داده‌ها، روشی کلارآمد و قوی بر اساس الگوریتم ازدحام ذرات برای بهینه‌سازی یاتاقان‌های کفشك ثابت و کفشك لولایی (یاتاقان‌های هیدرودینامیک) ارائه می‌شود که یکی از تکامل یافته‌ترین الگوریتم‌ها بشمار می‌رود. این الگوریتم که همانند دیگر الگوریتم‌های تکاملی بر اساس اصول تکامل طبیعی پایه‌ریزی شده است، اولین بار در سال ۱۹۹۵ توسط ابرهات و کندی ارائه گردید [۱۹]، که در این روش هدف به دست آوردن منحنی پرتومی باشد. این منحنی شامل مجموعه‌ای از جواب‌ها است. خصوصیات این جواب‌ها به گونه‌ای می‌باشد که هیچ‌کدام بر یکدیگر غالب^۲ نیستند و از طرفی، حداقل یک جواب در این منحنی وجود دارد که از هر حل دیگری به غیر از حل‌های موجود در منحنی، بهتر است. در این پایان‌نامه سعی شده است مقادیر مهم و اساسی در طراحی یاتاقان‌ها شامل بیشترین دما، کمترین ضخامت لایه روغن و توان اصطکاکی به نحو مطلوبی بیشینه یا کمینه شوند تا

¹Rozenberg

²Domination

یاتاقان‌ها کارایی موردنظر خود را با بهینه شدن یک متغیر از دست ندهند. هر یک از این سه مقدار با یکدیگر در تضادند، بدین معنی که با بهبود در یکی، دیگری به سمت نامطلوب پیش می‌رود. در طراحی یاتاقان‌ها باید مقادیر مناسب شعاع، لقی و نسبت طول به قطر یاتاقان به همراه روغنی با دمای ورودی مناسب را برگزید. انتخاب نادرست هرکدام می‌تواند لایه روغن را نازک کند به نحوی که کافی نبودن جریان روغن موجب گرمای فراوان و خرابی ناگهانی می‌گردد.

فصل دوم

الگوریتم بهینه‌سازی

۱-۲ - مقدمه

بهینه‌سازی هنر یافتن بهترین جواب در بین وضعیت‌های موجود است. هر فرآیندی پتانسیل بهینه شدن را دارد و مسائل پیچیده می‌توانند در زمینه‌های علوم مهندسی، اقتصادی و تجاری به صورت مسائل بهینه-سازی مدل‌سازی شوند. هدف از مدل‌سازی مسائل بهینه‌سازی، حداقل کردن زمان، هزینه و ریسک یا حداقل کردن سود، کیفیت و اثربخشی است. بعضی از مسائل بهینه‌سازی پیچیده هستند و به دست آوردن جواب‌های بهینه در زمان معقول با روش حل دقیق مشکل است [۲۰]. از این‌رو توسعه روش‌های حل در این نوع مسائل که بتوانند در زمان معقول جواب‌های بهینه یا نزدیک به بهینه به دست آورند، از نظر اقتصادی به صرفه‌تر است [۲۱]. به دلیل کاربرد وسیع بهینه‌سازی در علوم متفاوت، این مبحث رشد بسیاری کرده است، به طوری‌که در ریاضیات، مدیریت، صنایع و بسیاری از شاخه‌های علوم مورد مطالعه و بررسی قرار می‌گیرد. در سالیان اخیر محققان در اکثر مسائل پیچیده‌ی بهینه‌سازی با پیاده‌سازی روش‌های فرالبتکاری به نتایج مناسبی دست‌یافته‌اند [۲۲]. در این فصل سعی بر این است که در مورد الگوریتم‌های بهینه‌سازی، خصوصاً الگوریتم بهینه‌سازی از حمام ذرات توضیحاتی داده شود.

۲-۲- تعریف بهینه‌سازی

بهینه‌سازی بدین مفهوم است که در بین پارامترهای یک تابع به دنبال مقادیری باشیم که تابع را کمینه یا بیشینه می‌نمایند و بهترین جواب در خروجی از یک تابع یا فرآیند، به وسیله تغییر در ورودی‌های یک سیستم می‌باشد. واژه بهترین بیان می‌دارد که بیش از یک جواب و راه حل برای مسئله وجود دارد که یافتن بهترین جواب بستگی به مسئله دارد. کلیه مقادیر مناسب جهت این امر را، راه حل‌های ممکن^۱ و بهترین مقدار از این مقادیر را راه حل بهینه^۲ می‌نامند. الگوریتم‌های بهینه‌سازی هر دو نوع مسائل بیشینه‌سازی و کمینه‌سازی را پوشش می‌دهند. به این علت که هر مسئله بیشینه‌سازی قادر به تبدیل به مسائل کمینه‌سازی است. بهینه‌سازی کاربردهای زیادی دارد و روش‌های مختلفی برای بهینه‌سازی وجود دارد.

۲-۳- بهینه‌سازی و طبقه‌بندی آن

بهینه‌سازی روندی است برای یافتن و مقایسه کردن راه حل‌های ممکن تا زمانی که پاسخ بهتری پیدا نشود. پاسخ خوب یا بد با توجه به هدف یا اهدافی مشخص تعیین می‌شود.

۲-۳-۱- بهینه‌سازی حدس و خطأ، بهینه‌سازی با تابع

بهینه‌سازی حدس و خطأ مربوط به بهینه کردن فرآیندهایی می‌باشد که تنظیم متغیرهای ورودی موجب تأثیر بر خروجی فرآیند می‌شود بدون اینکه درباره جزئیات انجام فرآیند اطلاعات کافی داشته باشیم و این کار را با تغییر متغیرهای ورودی می‌توان انجام داد.

¹Feasible solution

²Optimization solution

۲-۳-۲- بهینه‌سازی یکبعدی و چندبعدی

اگر تنها یک متغیر وجود دارد، بهینه‌سازی یکبعدی است و اگر مسئله‌ای دارای چندین متغیر باشد، یک مسئله چندبعدی است و نیاز به انجام بهینه‌سازی چندبعدی است. بدیهی است که هرقدر تعداد متغیرها بیشتر باشد بهینه‌سازی مشکل‌تر و پیچیده‌تر خواهد شد.

۲-۳-۳- بهینه‌سازی دینامیک و استاتیک

بهینه‌سازی دینامیک یا پویا به این معنی است که خروجی تابعی از زمان می‌باشد و به زمان وابسته باشد. حال اگر بهینه‌سازی مسئله‌ای، مستقل از تأثیر زمان باشد به آن بهینه‌سازی استاتیک یا ایستا گویند.

۲-۳-۴- بهینه‌سازی گسسته و پیوسته

بهینه‌سازی همچنین می‌تواند به صورت متغیرهای مجزا (گسسته) یا پیوسته، تفکیک گردد. در مسئله بهینه‌سازی اگر تمامی دامنه‌های متغیرها مجموعه‌هایی پیوسته باشد، آنگاه مسئله را یک مسئله بهینه‌سازی پیوسته^۱ گوییم؛ اما اگر دامنه‌های متغیرها برابر با مجموعه اعداد صحیح یا مجموعه دودویی $\{0,1\}$ و یا هر مجموعه با تعداد عضو متناهی باشد، آنگاه مسئله را یک مسئله گسسته می‌نامیم.

متغیرهای مجزا تنها شامل یک عدد محدود از مقادیر ممکن می‌باشند در حالی که متغیرهای پیوسته دارای اعداد نامحدودی از مقادیر ممکن هستند. اگر ما قصد داشته باشیم که به مجموعه‌ای از اهداف دست پیدا کنیم، بهینه‌سازی مجزا به کار گرفته خواهد شد. در حالی که اگر ما بخواهیم مقدار کمینه $(x)f$ را بر روی دامنه‌ای از اعداد حقیقی بیابیم با یک مسئله پیوسته روبرو هستیم.

همچنین ممکن است فضای محاسباتی مسئله مورد نظر به صورت ترکیبی باشد، یعنی برخی از متغیر-های تصمیم پیوسته و برخی دیگر گسسته و دودویی باشند. در این حالت، مسئله را یک مسئله بهینه-

¹ Continuous optimization

سازی مخلوط^۱ می‌نامیم.

۲-۳-۵- بهینه‌سازی مقید و غیر مقید

متغیرها اغلب دارای محدودیت‌ها یا قیدهایی هستند. در بهینه‌سازی غیر مقید متغیرها مجاز هستند تا هر مقداری را دارا باشند اما در بهینه‌سازی مقید^۲ متغیرها مجاز به دارا بودن همه‌ی مقادیر نیستند و این مقدارها نباید هیچ‌گونه منافاتی با قیدها داشته باشند. در بهینه‌سازی مقید، بهینه‌سازی یک تابع در حضور مجموعه‌ای از قیدها یا محدودیت‌ها انجام می‌شود، که می‌توان یک متغیر مقید را به یک متغیر غیر مقید تبدیل کرد. بیشتر روش‌های بهینه‌سازی عددی^۳ بهترین جواب را برای متغیرهای غیر مقید ارائه می‌دهند. و حل بسیاری از مسائل دنیای واقعی در حضور مجموعه‌ای از قیدها و محدودیت‌ها انجام می‌شود.

در سال‌های اخیر، روش‌های متعددی برای حل مسائل مقید با استفاده از الگوریتم‌های ابتکاری پیشنهاد شده است که مهم‌ترین آن‌ها عبارت‌اند از:

- روش حذف اعضای غیرعملی.
- روش ترمیم اعضای غیرعملی.
- روش اصلاح عملگرهای وراثتی.
- روش جریمه.

از میان روش‌های بالا روش‌های حذف اعضای غیرعملی و جریمه کردن از جمله روش‌هایی هستند که به نوع مسئله چندان وابسته نبوده و می‌توان از این روش‌ها در بیشتر مسئله‌ها استفاده نمود. این در حالی است که روش حذف به واسطه نقاط ضعفی که دارد، چندان مورد توجه و استقبال واقع نشده است. از سوی دیگر، روش‌های ترمیم اعضای غیرعملی و اصلاح عملگرهای وراثتی وابسته به مسئله‌اند و برای هر

¹ Mixed optimization

² Constrained problems

³ Numerical

مسئله باید از یک فرآیند و الگوریتمی خاص استفاده شود.

۲-۳-۱-۵- روش حذف

در روش حذف، کلیه ذراتی که به جواب‌های غیرعملی منجر می‌شوند، حذف می‌شوند. این روش، نوع خاصی از روش جریمه است که در آن به افرادی که به نقاط غیرعملی اشاره می‌کنند، اجازه مشارکت در تکامل داده نمی‌شود. روش حذف اگرچه روشنی به ظاهر منطقی است، اما در عمل با مشکلات فراوانی روبرو است. شرایطی را در نظر بگیرید که در حل یک مسئله، اکثر ذرات به جواب‌هایی از مجموعه جواب‌های غیرعملی اشاره کنند. در این حالت، روش حذف منجر به کاهش تعداد ذرات شرکت‌کننده در حل مسئله می‌شود که این موضوع باعث می‌شود که عملیات جستجو به درستی صورت نگیرد و الگوریتم بهینه‌سازی به درستی عمل نکند.

۲-۳-۱-۵-۲- روش ترمیم

در این روش، راه حل غیرعملی تولیدشده توسط ذرات با اعمال یک فرآیند مشخص و از پیش تعریف شده به جواب‌های عملی تبدیل می‌شود. از مشکلات این روش می‌توان به وابسته بودن این روش به نوع مسئله اشاره کرد به‌گونه‌ای که در روش ترمیم تبدیل جواب‌های غیرعملی به جواب‌های عملی از یک مسئله به مسئله دیگر متفاوت است. به عبارتی، فرآیند ترمیم باید برای هر مسئله، طراحی و پیشنهاد شود. بسیاری از مسائل ترکیباتی با استفاده از روش ترمیم حل می‌شوند.

۲-۳-۱-۵-۳- روش اصلاح عملگرهای وراثتی

در این روش، با تعریف یک سری عملگرهای وراثتی خاص، همواره ذرات در محدوده‌ی جواب‌های عملی تولید می‌شوند. از معایب این روش می‌توان به وابسته بودن آن به نوع مسئله اشاره کرد؛ اما با تعریف عملگرهای مناسب می‌توان الگوریتم وراثتی کارآمد و خوبی برای حل مسائل خاص طراحی و ارائه کرد. در بعضی از تحقیقات نشان داده شده است که استفاده از این روش، در مسائل خاص، اغلب مفیدتر از روش

جريمه است.

۲-۳-۴-۵- روش جريمه

در تمام روش‌هایی که تاکنون گفته شد از تولید جواب‌های غیرعملی جلوگیری به عمل می‌آید و جستجویی در آن فضاهای صورت نمی‌گیرد اما درروش جريمه نواحی که جواب‌های غیرعملی را تولید می‌کنند را نیز مورد جستجو قرار می‌دهد. اساس کار این روش این است که یک مسئله بهینه‌سازی مقید را با اعمال یک تابع جريمه برای نواحی غیرعملی، یک مسئله بهینه‌سازی مقید را به یک مسئله بهینه‌سازی نا- مقید تبدیل می‌کند. نحوه کار این‌گونه است که برای جواب‌های غیرعملی، یک تابع جريمه به تابع هدف موردنظر افزوده می‌شود. برای مسئله‌هایی که شامل چندین قيد هستند، به ازای برآورده نشدن هر قيد، یک جريمه در نظر گرفته می‌شود. در این روش طراح اين قابلیت را پیدا می‌کند که با توجه به درجه اهمیت توابع هدف وزن‌هایی را به تابع جريمه اضافه می‌کند و با انجام اين کار جستجو را به خوبی هدایت می‌کند. اين روش با وجود کارايی زياد، داراي عيب‌هایي نيز هست. مهم‌ترین ايراد اين روش در برگرداندن يك مقدار به ازاي هر جواب عملی يا غيرعملی است. بنابراین، كليه اطلاعات مفيد مربوط به ميزان ارضا قيدها از بين می‌رود.

۲-۳-۶- بهینه‌سازی تک معیاره و چند معیاره

در بهینه‌سازی تک معیاره^۱ مسئله‌ی مورد نظر تنها دارای یک تابع هدف می‌باشد اما در یک مسئله چند معیاره^۲ که اولین بار در سال ۱۹۹۹ ارائه شده است [۲۳]. تعداد تابع هدف‌هایی که باید به طور همزمان بهینه شوند بیش از يکی است. معمولاً در یک مسئله بهینه‌سازی چند معیاره، با دادن اهمیتی (وزنی) به هر کدام از توابع هدف و سپس جمع بستن آن‌ها، مسئله‌ی بهینه‌سازی چند معیاره را تبدیل به یک مسئله

¹ Single Objective

² Multi Objective

تک معیاره می‌کنند. و یا اینکه از روش‌های دیگری که مخصوص بهینه‌سازی چند معیاره است استفاده می‌کنند. حل مسائل بهینه‌سازی چند هدفه، به تنها یی مبحث مستقل و مهمی از حوزه بهینه‌سازی است. که در ادامه به آن پرداخته می‌شود.

۴-۲- ساختار شبکه‌ای

برای همسایه‌های یک ذره می‌توان ساختار شبکه‌ای متفاوتی را در نظر گرفت. متداول‌ترین ساختارهایی که استفاده می‌گردد، حلقه‌ای و ستاره‌ای می‌باشد. در ساختار ستاره، یک ذره به عنوان مرکز در نظر گرفته می‌شود که کلیه ذرات گروه را با هم متصل می‌نماید. درواقع کلیه ذرات دیگر فقط به مرکز متصل هستند. در ساختار حلقه‌ای، ذرات در یک حلقه قرار دارند و هر ذره دارای تعدادی همسایه در سمت چپ و تعدادی همسایه در سمت راست است. انتخاب شبکه تأثیر بسزایی بر یافتن بهترین راه حل گروه دارد. با انتخاب ساختاری درست در بهینه‌سازی می‌توان ذرات را به سمت پاسخی مطلوب هدایت کرد.

۴-۵- بهینه‌سازی گروه ذرات

۴-۵-۱- تاریخچه بهینه‌سازی گروه ذرات

الگوریتم ازدحام ذرات بر اساس شبیه‌سازی یک رفتار جمعی است. در بیشتر گونه‌های جانواران رفتارهای گروهی دیده شده است. چه بسا که بعضی از این گونه‌ها نیز توسط یک عضو برتر گروه راهنمایی می‌شوند. گونه‌هایی از جانوران وجود دارند که به صورت گروهی زندگی می‌نمایند اما راهنمایی ندارند. هر عضو یک رفتار خود سازمانده^۱ دارد که بدون استفاده از یک راهنما می‌تواند در محیط حرکت نموده و نیازهای طبیعی خود را برطرف نماید؛ مانند گروه پرندگان، ماهی‌ها و گله گوسفندان. این گونه از جانوران

^۱ Self-organizing

هیچ دانشی نسبت به رفتار عمومی کل گروه ندارند و یا حتی هیچ دانشی نسبت به محیطی که در آن قرار دارند، ندارند. در عوض قادرند بارد و بدل نمودن اطلاعات با اعضای هم‌جوار خود در محیط حرکت نمایند. این تعامل ساده بین ذرات باعث ایجاد رفتار پیچیده‌تر گروه می‌شود؛ مانند جستجوی یک محیط توسط ذرات.

جهت فهم بهتر رفتار پویای گروه ذرات، در [۲۴] بعضی از رفتارها شبیه‌سازی شدند و رفتار اعضای گروه به دسته‌های زیر تقسیم شدند:

- **اجتناب از برخورد^۱:** اعضای یک گروه با یکدیگر برخوردی ندارند.
- **تنظیم سرعت^۲:** هر عضو سرعت خود را متناسب با اعضای همسایه خود تنظیم می‌نمایند.
- **جمع شدن مرکزی^۳:** هر عضو تلاش می‌کند که در کنار همسایگان خود حرکت نماید.

در بسیاری از کاربردهای بهینه‌سازی از این شبیه‌سازی‌ها الهام گرفته شده است. در ادامه به مدل خاصی از بهینه‌سازی‌ها که از زندگی جانوران انبوه الهام گرفته است پرداخته می‌شود که بهینه‌سازی گروه ذرات^۴ نام دارد(PSO).

اجزای یک گروه از یک رفتار ساده تبعیت می‌نمایند. بدین نحو که هر عضو از گروه از موفقیت سایر همسایگانشان تقلید می‌نماید. هدف از این الگوریتم‌ها این است که اعضای گروه در فضای جستجو حرکت نموده و در یک نقطه‌ی بهینه جمع شوند. به منظور توسعه‌ی بیشتر این مدل، مفهوم سردسته پرنده‌گان^۵ به مدل اضافه گردید که به شکل یک حافظه از بهترین موقعیت‌های هر عضو و همسایگان آن عضو است. بهترین موقعیت قبلی هر عضو، بهترین موقعیتی است که آن عضو از ابتدای حیات خود

¹ Collision avoidance

² Velocity matching

³ Flock centering

⁴ Particle swarm optimization

⁵ Rooster

تابعه حال کسب نموده است. بهترین موقعیت همسایگی، بهترین موقعیتی است که توسط همسایگان یک عضو ملاقات شده است. این دو بهترین موقعیت به عنوان نقاط جذب عمل می‌نمایند. با استفاده از یک مجموعه قوانین ساده می‌توان موقعیت‌های اعضای گروه را به روز نمود. بدین صورت که عضو به یک نسبت به سمت دو موقعیت بهتر حرکت می‌نماید. به مرور زمان با تکرار الگوریتم، اعضا حول یک هدف جمع می‌شوند. اصول پایه‌ای هوش گروهی به صورت زیر تعریف شده است:

- **اصل هم‌جواری^۱**: گروه عناصر باید قادر باشند که محاسبات را در فضا و زمان اندکی انجام دهند.
- **اصل کیفیت^۲**: گروه ذرات باید قادر باشند که به عوامل کیفی محیط پاسخ دهند.
- **اصل تنوع^۳**: پاسخ ذرات نباید فعالیتش را بر روی کانال‌های خیلی باریک محدود نماید.
- **اصل پایداری^۴**: گروه ذرات نباید حالت رفتار خود را هر بار با تغییرات محیط تغییر دهد.
- **اصل تطابق^۵**: گروه ذرات باید قادر باشد که رفتار خود را به نفع کاهش هزینه‌ی محاسباتی تغییر دهد.

بهینه‌سازی گروه ذرات به صورت زیر این موضوعات را برآورده می‌نماید که محاسبات فضای چند بعدی به صورت یک سری از گام‌های زمانی انجام می‌شوند که این اصل اول را پوشش می‌دهد. گروه ذرات به عوامل کیفی به صورت بهترین موقعیت‌های فردی و همسایگی جواب می‌دهد. تخصیص پاسخ‌ها بین بهترین موقعیت ملاقات شده ذره و بهترین موقعیت ملاقات شده گروه تنوع پاسخ‌ها را تضمین می‌نماید. گروه حالت خود را فقط هنگامی که بهترین موقعیت ملاقات شده توسط ذره و بهترین موقعیت ملاقات

¹ Proximity principle.

² Quality principle

³ Principle of diverse response

⁴ Principle of stability

⁵ Principle of adaptability

شده توسط گروه تغییر می‌کنند، تغییر می‌دهد که اصل پایداری را پوشش می‌دهد. درنهایت گروه رفتار طبیقی از خود نشان می‌دهد بدین صورت که حالت خود را هنگامی که بهترین موقعیت ملاقات شده توسط ذره و بهترین موقعیت ملاقات شده توسط گروه تغییر می‌کنند، تغییر می‌دهد.

یکی از دلایل استفاده از روش‌های جدید وجود اشکالاتی در روش‌های قدیمی است، که روش‌های قدیمی دارای اشکالات زیر هستند:

- عدم پیدا کردن چندین جواب بهینه در طی یکبار اجرای الگوریتم.
- عدم تضمین برای یافتن جواب‌های بهینه مختلف و متفاوت.
- نمی‌توان برای مسائلی با متغیرهای گسسته و دارای چندین مشکلاتی روبرو نیستیم.

اما در الگوریتم‌های تکاملی مانند الگوریتم ازدحام ذرات دیگر با چنین مشکلاتی روبرو نیستیم.

۲-۵-۲- الگوریتم بهینه‌سازی ازدحام ذرات

روش بهینه‌سازی ازدحام ذرات^۱ (PSO) یک روش سراسری بهینه‌سازی است که در آن فرضیاتی مطرح می‌شود و یک سرعت ابتدایی به ذراتی که در فضای جستجوی تابعی که بهینه می‌شود، پخش شده‌اند، اختصاص داده می‌شود، همچنین کانال‌های ارتباطی بین ذرات در نظر گرفته می‌شود. به طوری که ذرات با هم در ارتباط بوده و تبادل اطلاعات می‌کنند سپس این ذرات در فضای پاسخ حرکت می‌کنند و مقدار تابع هدف را در موقعیتی از فضا که در آن قرار گرفته‌اند را محاسبه می‌کنند. سپس با استفاده از ترکیب اطلاعات محل فعلی اش و بهترین محلی که در گذشته در آن بوده است و همچنین اطلاعات یک یا چند ذره از بهترین ذرات موجود در جمع، جهتی را برای حرکت انتخاب می‌کنند. پس از انجام حرکت، یک مرحله از الگوریتم به پایان می‌رسد. این مراحل چندین بار تکرار می‌شوند تا آن که جواب موردنظر بدست

¹ Particle swarm optimization

باید. درواقع انبوه ذرات که مقدار کمینه یا بیشینه یک تابع را جستجو می‌کنند، همانند دسته‌ای از پرندگان عمل می‌کنند که به دنبال غذا می‌گردند [۲۵].

هر ذره دارای یک موقعیت است که مشخص می‌نماید مختصات ذره در فضای جستجوی چندبعدی چگونه است. با حرکت ذره در طول زمان موقعیت ذره تغییر می‌نماید. $(t)_i x_i$ موقعیت ذره i ام در زمان t ام را مشخص می‌نماید. همچنین هر ذره برای حرکت نمودن در فضا نیاز به یک سرعت دارد $v_i(t)$ سرعت ذره i ام در زمان t را مشخص می‌نماید. با افزودن سرعت به موقعیت هر ذره، می‌توان موقعیت جدیدی برای ذره در نظر گرفت. معادله بهروز نمودن موقعیت ذره در $(1-2)$ آورده شده است.

$$x_i(t+1) = x_i(t) + v_i(t+1) \quad (1-2)$$

ذرات توانایی این را دارند که بهترین موقعیتی را که در طول حیات خود در آن قرار داشته‌اند به خاطر بسپارند. به بهترین تجربه فردی ذره یا بهترین موقعیت ملاقات شده توسط ذره i گفته می‌شود. ذرات می‌توانند از بهترین موقعیت ملاقات شده توسط کل گروه نیز آگاهی داشته باشند که این موقعیت \hat{y}_i نامیده می‌شود. بردار سرعت ذره در فرآیند بهینه‌سازی منعکس‌کننده دانش تجربی ذره و اطلاعات جامعه ذرات است. هر ذره برای حرکت در فضای جستجو دو مؤلفه را مدنظر دارد.

- **مؤلفه شناختی^۱:** $y_i(t) - x_i(t)$ بهترین راه حلی است که هر ذره به تنها یابه دست می‌آورد.

- **مؤلفه اجتماعی^۲:** $\hat{y}_i(t) - x_i(t)$ بهترین راه حلی است که توسط کل گروه تشخیص داده می‌شود.

دو مدل اصلی برای الگوریتم استاندارد PSO وجود دارد که محاسبه بردار سرعتشان بر اساس دو مؤلفه شناختی و اجتماعی می‌باشد. این دو مدل به نامهای PSO^{lbest} و gbest PSO^{lbest} می‌باشند که تفاوت زیادی با هم ندارند و تفاوت آن‌ها در سایز همسایگی است که برای هر ذره در نظر گرفته می‌شود که در

¹ Cognitive component

² Soocial component

ادامه به آن‌ها پرداخته خواهد شد.

Global Best PSO - ۱-۲-۵-۲ مدل

در این الگوریتم همسایه یک ذره کل ذرات گروه می‌باشد و مدل شبکه‌ای آن ستاره‌ای می‌باشد. \hat{y} در این الگوریتم بهترین موقعیت ملاقات شده توسط کل گروه می‌باشد. موقعیت هر ذره توسط فرمول (۲-۲) ارزیابی می‌گردد (f تابع ملاک شایستگی ذرات می‌باشد [۲۷]).

$$(y_i(t+1)) = \begin{cases} y_i(t) & \text{if } f(x_i(t+1)) \geq f(y_i(t)) \\ x_i(t) & \text{if } f(x_i(t+1)) \leq f(y_i(t)) \end{cases} \quad (2-2)$$

بردار \hat{y} به صورت فرمول (۳-۲) محاسبه می‌شود.

$$\hat{y} \in \{y_0, y_1, \dots, y_s\} = \min\{f(y_0(t)), f(y_1(t)), \dots, f(y_n(t))\} \quad (3-2)$$

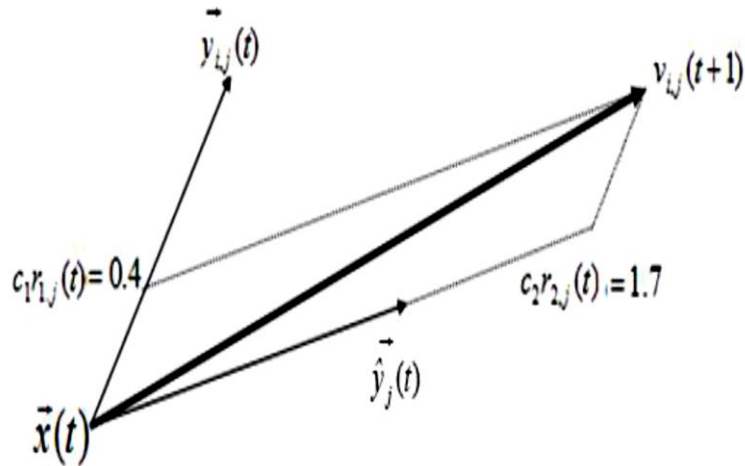
در فرمول بالا n سایز گروه (تعداد ذرات) را مشخص می‌نماید.
ذرات در ابتدا در فضای جستجو پراکنده‌اند و سپس هر ذره با سرعت خاصی به سمت یک نقطه همگرا می‌شود. v_{ij} سرعت j امین عنصر از بردار سرعت ذره i را نمایش می‌دهد. بنابراین سرعت ذره i بر اساس فرمول (۴-۲) بروز می‌گردد.

$$v_{ij}(t+1) = \tilde{w}v_{ij}(t) + c_1 r_{1,j}(t) \left(y_{i,j}(t) - x_{i,j}(t) \right) + c_2 r_{2,j}(t) \left(\hat{y}_j(t) - x_{i,j}(t) \right) \quad (4-2)$$

$$r_{1,j}, r_{2,j} \approx U(0,1) \quad (5-2)$$

\tilde{w} وزن اینرسی^۱ را مشخص می‌نماید که در مورد آن توضیحاتی داده خواهد شد و c_1 و c_2 ثابت‌ها می‌باشند و $U(0,1)$ عدد تصادفی بین صفر و یک می‌باشد.
در شکل ۱-۲ نحوه بهروز نمودن سرعت ذره نمایش داده شده است.

^۱ Inertia weight



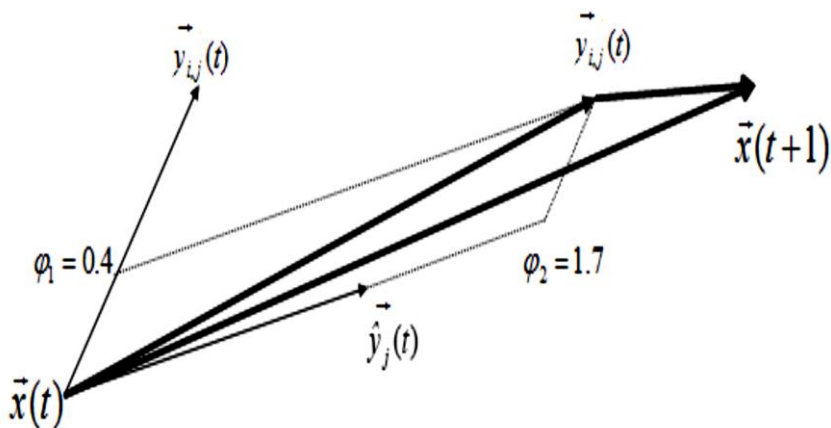
شکل ۲ - ۱ به روزرسانی سرعت [۲۶].

باید یک ارتباطی بین مقادیر ثابت و وزن موجود باشد. تا رسیدن به جواب را تضمین نماید. چون در غیر این صورت باعث می شود که ذرات برادر یک سری از رفتارها واگرا شوند. که این ارتباط به صورت زیر می باشد:

$$\frac{(c_1 + c_2)}{2} - 1 < \tilde{w} \quad (6-2)$$

موقعیت ذره i ام توسط معادله (۱-۲) بروز می گردد:

$$x_i(t+1) = x_i(t) + v_i(t+1) \quad (1-2)$$



شکل ۲ - ۲ به روزرسانی موقعیت ذره [۲۶].

سرعت و موقعیت هر ذره توسط معادلات ذکر شده بروز می‌گردد و آن قدر این عمل تکرار می‌گردد تا یا به حداقل تعداد تکرار برسد و یا سرعت بروز شده به صفر نزدیک شود و عملکرد هر ذره توسط ملاک شایستگی برآورده می‌شود.

local Best PSO - ۲-۲-۵-۲ مدل

در این مدل یک ذره جهت به روز نمودن سرعت خود فقط توانایی برقراری ارتباط با تعدادی ذره که در همسایگی آن قرار دارد، را دارد که ساختار شبکه‌ای آن به صورت حلقه می‌باشد. معادله به روزرسانی موقعیت ذره‌ها مانند روش قبل است و تغییری نمی‌نماید. در این روش همسایه‌های یک ذره عملاً مشخص‌کننده رفتارهای اجتماعی یک ذره هستند [۲۷].

۳-۵-۲ وزن اینرسی

عبارت وزن اینرسی برای اولین بار توسط شای و ابرهارت در سال ۱۹۹۸ معرفی گردید [۲۸]. این وزن در- واقع درصدی از سرعت قبلی ذره را در محاسبه سرعت جدید تأثیر می‌دهد و تأثیر سرعت ذرات در گام قبل را بر سرعت فعلی تعیین می‌نماید. به این ترتیب که با مقادیر بزرگی از وزن اینرسی، قابلیت جستجوی عمومی الگوریتم بهبود یافته و فضای بیشتری مورد بررسی قرار می‌گیرد. حال آنکه با مقادیر کوچک وزن اینرسی فضای مورد بررسی محدود شده و جستجو در این فضای محدود شده صورت می‌گیرد. وزن اینرسی از فرمول (۷-۲) محاسبه می‌شود [۱۹].

$$\tilde{w} = \frac{1}{\left| -2 + \varphi_3 \sqrt{\varphi_3^2 + 4\varphi_3} \right|} \quad (7-2)$$

$$\varphi_3 = \varphi_1 + \varphi_2$$

که φ_1 و φ_2 ثابت‌هایی هستند که معمولاً بین ۲/۵-۲ انتخاب می‌شوند.

۴-۵-۲- مهار کردن سرعت

نحوه جستجوی عمومی و جستجوی محلی یک الگوریتم عامل‌هایی مهم جهت ارزیابی یک الگوریتم می‌باشند. جستجوی عمومی یعنی اینکه الگوریتم به چه میزان قادر است ناحیه‌های متفاوتی از فضا را جستجو نماید. در مقابل جستجوی محلی بدین مفهوم است که الگوریتم فقط ناحیه‌هایی را که احتمال اینکه جواب در آن نقاط وجود دارد را جستجو نماید. الگوریتم بهینه‌سازی‌ای خوب است که بتواند تعادلی بین این دو جستجو بوقرار نماید. در بیشتر الگوریتم‌ها برای ایجاد این تعادل معادله سرعت ذره را، کنترل می‌کنند چون ممکن است گاهی سرعت ذره بسیار زیاد شود درنتیجه این امکان وجود دارد که ذرات از فضای جستجو خارج شوند. برای کنترل سرعت ذره حد آستانه‌ای به نام v_{max} تعریف می‌کنند که سرعت ذره نباید از این حد فراتر برود [۲۹].

$$v_{i,j}(t+1) = \begin{cases} \acute{v}_{i,j}(t+1) & \text{if } \acute{v}_{i,j}(t+1) < v_{max,j} \\ v_{max} & \text{if } \acute{v}_{i,j}(t+1) \geq v_{max,j} \end{cases} \quad (8-2)$$

در فرمول بالا $\acute{v}_{i,j}$ سرعت بدست آمده از رابطه (۴-۲) می‌باشد.

۴-۵-۳- مراحل الگوریتم PSO

برای آشنایی بهتر الگوریتم ازدحام ذرات و نحوه اجرای آن مراحلی برای آن در نظر گرفته شده است که این مراحل به شرح زیر می‌باشد:

۱. **مقداردهی اولیه:** ابتدا مقدار اولیه‌ای به یک جمعیت از ذرات با موقعیت‌ها و سرعت‌های

تصادفی در فضای جستجو داده می‌شود.

۲. **تخمین زدن:** برای شایستگی هر ذره در این جمعیت تخمینی در نظر گرفته می‌شود.

۳. **بهروزرسانی:** سرعت هر ذره را با رابطه (۴-۲) و حرکت به موقعیت بعدی ذرات بر اساس

رابطه (۱-۲) محاسبه می‌شود.

۴. خاتمه: برای متوقف کردن الگوریتم یک معیار در نظر گرفته می‌شود اگر این معیار عملی شود الگوریتم پایان می‌یابد در غیر این صورت از مرحله ۲ الگوریتم ادامه پیدا می‌کند. الگوریتم PSO استاندارد در شکل ۳-۲ نمایش داده شده است.

```

For each particle  $i \in 1, \dots, s$  do
    Randomly initialize  $x_i$ 
    Randomly initialize  $v_i$  (or just set  $v_i$  to zero)
    Set  $y_i = x_i$ 
endfor
Repeat
    For each particle  $i \in 1, \dots, s$  do
        Evaluate the fitness of particle  $i$ ,  $f(x_i)$ 
        Update  $y_i$  using  $y_i(t+1) = \begin{cases} y_i(t) & \text{if } f(x_i(t+1)) \geq f(y_i(t)) \\ x_i(t+1) & \text{if } f(x_i(t+1)) < f(y_i(t)) \end{cases}$ 
        Update  $\hat{y}$  using  $\hat{y}(t) \in \{y_0(t), y_1(t), \dots, y_s(t)\} = \min\{f(y_0(t)), f(y_1(t)), \dots, f(y_s(t))\}$ 
        For each dimension  $j \in 1, \dots, N_d$  do
            Apply velocity update using
             $v_{i,j}(t+1) = wv_{i,j}(t) + c_1r_{1,j}(t)(y_{i,j}(t) - x_{i,j}(t)) + c_2r_{2,j}(t)(\hat{y}_j(t) - x_{i,j}(t))$ 
        endloop
        Apply position update using  $x_i(t+1) = x_i(t) + v_i(t+1)$ 
    endloop
Until some convergence criteria is satisfied

```

شکل ۳-۲ الگوریتم PSO [۲۶]

۶-۵-۲- بهینه‌سازی چند معیاره

مسئله بهینه‌سازی چند معیاره در واقع یافتن جواب‌هایی بر روی یک مجموعه از گزینه‌های امکان‌پذیر با

رعايت کردن قيدهای مسئله و با هدف بهينه‌سازی توابع هدف مسئله است. در اين‌گونه از مسائل برخلاف مسائل بهينه‌سازی تک‌هدفه و به خاطر وجود چند تابع هدف به جای يك تابع هدف که ممکن است تابع‌ها با هم در تضاد باشند مجموعه‌ای از جواب وجود دارد [۳۰]. دو اصل مهم برای بهينه‌سازی با چند تابع هدف وجود دارد که اين دو اصل به اين صورت می‌باشد:

- مسیر جستجو در جهت رسیدن به منحنی جواب‌های بهينه پرتو هدایت می‌شوند.
 - جواب‌های بهينه در طول جمعیت جواب‌ها حفظ و تولید می‌شوند.
- صورت کلی مسائل بهينه‌سازی چندهدفه به صورت زير می‌باشد.

$$\min F(x) = \{f_1(x), \dots, f_n(x)\}$$

$$g(x) \leq 0 \quad (9-2)$$

$$h(x) = 0$$

$f_i(x)$ تابع هدف i ام مسئله بهينه‌سازی است و $g(x)$ مجموعه قيود نامساوي مسئله بهينه‌سازی چندهدفه می‌باشد و $h(x)$ نيز مجموعه قيود مساوي مسئله بهينه‌سازی است.

۱-۶-۵-۲ - مفهوم پرتو

زمانی که توابع هدف قابلیت ترکیب شدن با هم را ندارند. بایستی تعریف جدیدی از نقطه بهينه ارائه داد به طوری که همزمان تمامی خواسته‌ها را تأمین نماید. مفهوم بهينه پرتو^۱ بیان می‌دارد اگرچه نمی‌توان يك نقطه بهينه را همزمان برای تمامی توابع هدف بدست آورد اما می‌توان يك مجموعه از پاسخ‌ها را طوری پیدا نمود که در فضای جستجو از پاسخ‌های دیگر بهتر باشد. و هیچ‌گونه برتری نسبت به يك‌دیگر نداشته باشند [۳۱]. اين مجموعه پاسخ‌ها را، مجموعه پاسخ‌های بهينه پرتو می‌نامند و نقاط دیگر فضای جستجو را مجموعه پاسخ‌های مغلوب^۲ می‌نامند. دروش پرتو به جای استفاده از مقادير مطلق برای هر

¹ Pareto optimal set

² Dominated solution set

هدف از مفهوم غلبه برای به دست آوردن جواب بهینه استفاده می‌شود. جوابی غالب نامیده می‌شود که یکی از توابع هدف آن بهتر از دیگری باشد و دیگر توابع هدف آن بدتر از بقیه نباشد. انتخاب پاسخ بهینه نهایی از میان پاسخ‌های بهینه پرتو به میزان آگاهی ما از مسئله، نیاز ما، شرایط مرزی و محیطی آن بستگی دارد.

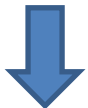
۲-۵-۶- روش وزن دهی

خروجی تابع هدف، یک عدد (اسکالار) می‌باشد. برای بهینه‌سازی چند هدفی، باید اهداف مختلف با بهره‌گیری از ضرایب وزنی متفاوت در قالب یک تابع اسکالار تعریف گردند:

$$\min F(x) = \{f_1(x), \dots, f_n(x)\}$$

$$g(x) \leq 0$$

$$h(x) = 0$$



$$\min(w_1 f_1 + w_2 f_2 + \dots + w_n f_n)$$

$$g(x) \leq 0 \quad (10-2)$$

$$h(x) = 0$$

توابع وزنی در این روش با توجه به اهمیت تابع‌های هدف مشخص می‌شود به این صورت که اگر تابع هدفی برای ما دارای اهمیت بیشتری بود به آن ضریب وزنی بزرگ‌تری اختصاص داده می‌شود. اما استفاده از این روش مزايا و معایبی دارد که به صورت موردي به شرح زير ذكر می‌گردد.

مزایا:

- ساده بودن فهم و پیاده‌سازی آن.
- کاربرد مناسب برای بسیاری از مسائل بهینه‌سازی.

معایب:

- در مسائلی که بهطور هم‌زمان برخی اهداف باید کمینه و برخی دیگر بیشینه شوند، همه اهداف باید به یک نوع تبدیل شوند که برای چنین کاری باید با ضرب یکی از توابع هدف در ۱- و یا با تقسیم کردن عدد یک بر تابع هدف، مسئله را به یک مسئله بیشینه‌سازی یا کمینه-سازی تبدیل کرد.
- عدم امکان یافتن یک توزیع یکنواخت در میان مجموعه جواب‌های بهینه پرتو.
- چگونگی تعریف تابع هدف ترکیبی.

۳-۶-۵-۲- الگوریتم بهینه‌سازی چند گانه ازدحام ذرات

الگوریتم بهینه‌سازی چند هدفه ازدحام ذرات^۱ (MOPSO) مورداستفاده در این پایان‌نامه توسط کوئلو در سال ۲۰۰۴ معرفی گردید [۳۲]. در واقع این الگوریتم تعمیمی است از الگوریتم بهینه‌سازی ازدحام ذرات است. این الگوریتم از عملگری به نام عملگر جهش^۲ استفاده می‌کند که یک عضو از جمعیت را انتخاب کرده و مقدار یک بعد آن ذره را به عددی در محدوده مقادیر معتبر تغییر می‌دهد. همچنین، یک سیاست نخبه‌گرایی به منظور نگه داشتن نتایج برتر و غالب در تکرارهای الگوریتم تعریف شده است. پاسخ‌های غالب در مخزن خارجی که جدول‌بندی شده است، ذخیره می‌شوند [۳۳]. یک عضو از مخزن به عنوان رهبر^۳ انتخاب می‌شود. این رهبر حتماً باید عضو مخزن و همچنین نامغلوب باشد. اعضای مخزن بیانگر جبهه پرتو و شامل ذرات نامغلوب هستند. پس به جای *i* یکی از اعضای مخزن انتخاب می‌شود. در PSO، مخزن وجود ندارد، زیرا در آن تنها یک هدف وجود دارد و یک ذره بهترین است. اما در MOPSO چند ذره وجود دارد که نامغلوب هستند و در مجموعه‌ی از جواب جای

¹ Multi-objective particle swarm optimization

² Mutation

³ Leader

دارند، که ترتیب اجرای این الگوریتم به شرح زیر می‌باشد:

۱. تعیین پارامترهای موردنیاز برای اجرای الگوریتم چندهدفه از دحام ذرات: حداکثر تکرار برای اجرای الگوریتم، اندازه جمعیت، مقادیر c_2 , c_1 و میزان اعضای مخزن.
۲. جمعیت اولیه ایجاد می‌شود.
۳. بهترین خاطره شخصی هر کدام از ذرات بروز می‌شود.
۴. فضای هدف کشف شده جدول‌بندی می‌شود.
۵. اعضای نامغلوب جمعیت جداسازی و در مخزن ذخیره می‌شوند.
۶. هر ذره از میان اعضای مخزن یک رهبر انتخاب می‌کند و حرکت خود را انجام می‌دهد. (یعنی سرعت و موقعیت آن به روز می‌شود).
۷. جهش روی جمعیت جدید انجام می‌شود.
۸. بهترین خاطره شخصی هر کدام از ذرات بروز می‌شود.
۹. اعضای نامغلوب جدید به مخزن افزوده می‌شوند.
۱۰. اعضای مغلوب مخزن حذف می‌شوند.
۱۱. اگر تعداد اعضای مخزن بیش از ظرفیت تعیین شده باشد، اعضای اضافی حذف می‌شود.
۱۲. در صورتی که شرایط خاتمه محقق نشده باشد الگوریتم از شماره ۳ ادامه پیدا می‌کند.

برای درک بهتر و آشنایی بیشتر در مورد بعضی از مراحل بالا توضیحاتی داده می‌شود که این توضیحات به شرح زیر می‌باشد:

الف) بروزرسانی خاطره شخصی

برای مقایسه بهترین بردار خاطره شخصی به شکل زیر عمل می‌شود:

- اگر موقعیت جدید، بهترین خاطره را مغلوب کند، آن‌گاه موقعیت جدید جای بهترین خاطره را

می‌گیرد. به بیان ریاضی:

$$pbest_i^{t+1} = x_i^{t+1} \quad (11-2)$$

که در فرمول (11-2) $pbest_i^{t+1}$ بهترین خاطره شخصی جمعیت i ام در تکرار $t + 1$ می‌باشد.

- اگر موقعیت جدید توسط بهترین خاطره مغلوب شد، کاری انجام نمی‌گیرد. به بیان ریاضی:

$$pbest_i^{t+1} = pbest_i^t \quad (12-2)$$

- اگر هیچ‌کدام یکدیگر را مغلوب نکنند، به تصادف یکی به عنوان بهترین موقعیت در نظر گرفته می‌شود.

ب) انتخاب رهبر

برای انتخاب رهبر ابتدا باید فضای جستجو را جدول‌بندی کرد، سپس برای هر خانه احتمالی در نظر گرفت و به صورت تصادفی خانه‌ای انتخاب می‌شود و یکی از اعضای آن خانه به عنوان رهبر انتخاب می‌شود. انتخاب رهبر به‌گونه‌ای است که احتمال انتخاب شدن خانه‌هایی که جمعیت کمتری دارد بیشتر باشد و دلیل انتخاب شدن خانه‌های کم‌جمعیت به این‌گونه است که تنوع حفظ شود و نقاطی که در آن جستجوی کمتری صورت گرفته است مورد جستجو قرار بگیرد.

$$P_i = \frac{\frac{1}{n_i}}{\sum_{j=1}^m \frac{1}{n_j}} \quad (13-2)$$

p_i احتمال نسبت داده شده به خانه i ام و n_i تعداد جمعیت خانه i ام است. همچنین m تعداد خانه‌ای موجود است.

ج) حذف جمعیت اضافی از مخزن

برای کاهش زمان محاسبات بعد از اضافه شدن اعضای جدید جمعیت مغلوب نشده به مخزن، تعدادی از اعضا حذف می‌شوند. برای حذف اعضا فضای جستجو دوباره جدول‌بندی می‌شود و به هر خانه احتمالی

داده می‌شود اما این بار حذف اعضا به‌گونه‌ای است که خانه‌هایی که جمعیت بیشتری دارند احتمال انتخاب شدن‌شان بیشتر باشد.

$$P_i = \frac{n_i}{\sum_{j=1}^m n_j} \quad (1-2)$$

۶-۲- مزایای الگوریتم بهینه‌سازی ذرات

الگوریتم ازدحام ذرات مزایای بسیاری نسبت به دیگر الگوریتم‌ها دارد از جمله این مزایا می‌توان به موارد زیر اشاره کرد:

- یک روش مرتبه صفراست و نیازی به عملیات سنگین ریاضی مثل گرادیان گیری ندارد.
- یک روش مبتنی بر جمعیت است. (استفاده از محاسبات توزیع شده).
- بار محاسباتی قابل قبولی دارد.
- همگرایی نسبتاً سریعی دارد.
- الگوریتم ازدحام ذرات به مشتقات تابع هدف نیاز ندارد و فقط از ارزیابی متغیرهای تصمیم-گیری در تابع هدف استفاده می‌کند بنابراین محدودیتی از لحاظ مشتق‌پذیر بودن بر تابع هدف اعمال نمی‌کند.
- این الگوریتم از انتقال تصادفی و آماری استفاده می‌کند و از قوانین آماری برای هدایت جستجو استفاده می‌کند. فرآیند جستجو در این روش بر اساس تصادف محض نیست. بلکه در این روش از جستجوی تصادفی به عنوان ابزاری برای رسیدن به فضای جستجوی بهتر استفاده می‌شود.

۷-۲- مقایسه‌ی PSO با الگوریتم‌های تکاملی

برای درک بهتر کارایی الگوریتم بهینه‌سازی، مقایسه‌ای بین این الگوریتم و سایر الگوریتم‌های تکاملی

صورت گرفته است که به صورت موردي در زير ذكر گردیده است.

- برخلاف الگوريتم‌های تکاملی در PSO عملیات انتخاب وجود ندارد. اين بدان معناست که هيچ‌يک از ذرات (پاسخ‌ها) حذف نمی‌شوند و تنها مقدار هر ذره تغييرمي کند.
- PSO از اصل بقای نسل استفاده نمی‌کند.
- عمل تركيب جواب‌ها در PSO وجود ندارد.
- در PSO نيز عمل جهش به نوعی وجود دارد.
- می‌توان در PSO نسبت بين جستجوی محلی و سراسری را به کمک وزن‌ها مشخص کرد.

فصل سوم

یاتاقان‌های ژورنال

۱-۳ - مقدمه

یاتاقان‌های ژورنال از مهم‌ترین اجزای تجهیزات دوار می‌باشند که امروزه به‌طور گستردۀ‌ای در کاربردهای مختلف مورد استفاده قرار می‌گیرند. این نوع یاتاقان نقش تحمل‌کننده بارهای مکانیکی را در اعضای متحرک با حرکت دوار یا خطی ایفا می‌کنند. فیلم روغن ایجاد شده در این یاتاقان‌ها، تماس فیزیکی بین شفت و یاتاقان را به تماس هیدرودینامیکی تبدیل می‌نماید. چنین یاتاقان‌هایی علاوه برداشتن اصطکاکی پایین و نیز افت قدرت پایین، از امتیاز بسیار خوب ساده بودن، برخوردارند. لذا قابل اعتماد و ارزان بوده و نگهداری از آن‌ها راحت است. از لحاظ شکل هندسی، این نوع یاتاقان‌ها می‌توانند به شکل ساده با کفشک ثابت تا شکل‌های پیچیده شامل کفشک لولایی باشند.

۲-۳ - یاتاقان‌های ژورنال کفشک ثابت

وجود برخی از شرایط ویژه نظیر تقاضا برای بکارگیری یاتاقان در سرعت‌های بالاتر، وجود مسائل ارتعاشی به علت کارکرد در سرعت‌های بحرانی، نامتعادل بودن و ایجاد شرایط ناپایداری گاهی سبب می‌گردد تا نیاز به استفاده از یاتاقان‌های ژورنال با اشکال هندسی متفاوت با نوع ساده آن در انواع دستگاه‌های مکانیکی

دارای اجزای دوار احساس گردد.

یاتاقان ژورنال با کفشك ثابت شکل ساده‌ای از یاتاقان‌های هیدرودینامیکی است که کاربردهای زیادی در صنعت مخصوصاً در توربوماشین‌ها دارند. این نوع یاتاقان برای حمایت محورها و حمل بار شعاعی با افت قدرت کمینه و خوردگی بکار گرفته می‌شوند. روان‌کننده از نقطه مناسبی در این یاتاقان و از طریق یک سوراخ یا یک شیار تعییه می‌شوند. اگر یاتاقان حول ۳۶۰ درجه کامل ادامه داشته باشد، یاتاقان ژورنال کامل^۱ نامیده می‌شود. اگر زاویه پوشش از ۳۶۰ درجه کمتر باشد، عبارت یاتاقان ژورنال جزئی^۲ بکاربرده می‌شود [۳۴].

یاتاقان‌های ژورنال برای تولید فشارهای متحمل شونده‌ی بار در فیلم روان‌کننده متکی به حرکت محور هستند. شکل هندسی یاتاقان ژورنال در شکل ۱-۳ نشان داده می‌شود. محور معمولاً هم‌مرکز یاتاقان نمی‌چرخد. خارج از مرکزی محور نسبت به مرکز یاتاقان را نسبت خروج از مرکز گویند. فشار تولیدشده، درنتیجه ظرفیت حمل بار یاتاقان بستگی به نسبت خروج از مرکز، سرعت زاویه‌ای، لزجت مؤثر روان‌کننده، ابعاد و لقی یاتاقان دارد [۳۵].

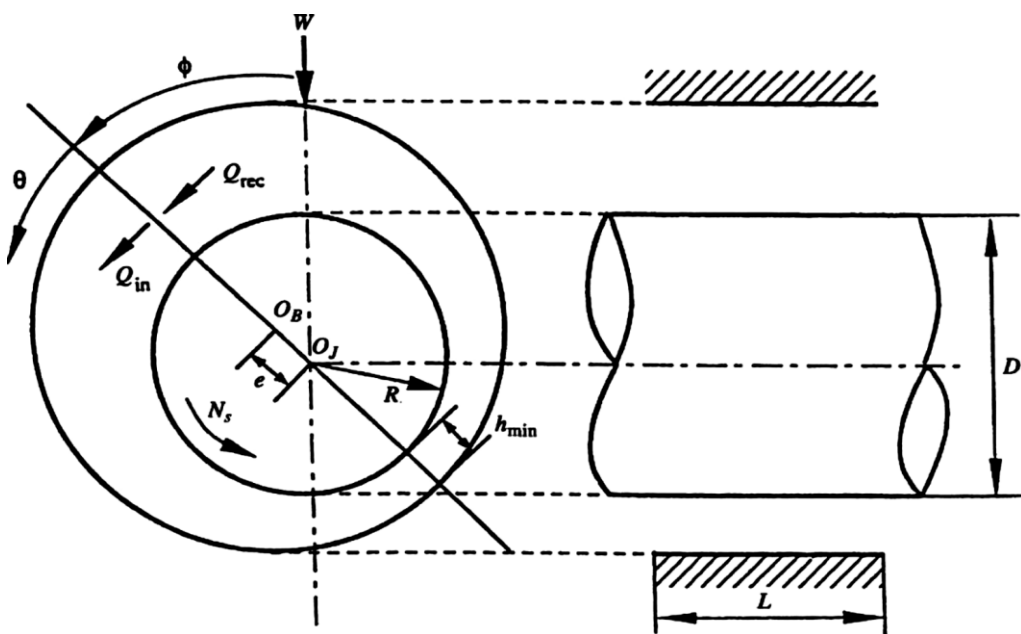
۱-۲-۳ - معادلات حاکم

برای تحلیل عملکرد یاتاقان‌های ژورنال تحلیل معادلات حاکم بر فیلم سیال روان‌کار درون یاتاقان روش مناسبی می‌باشد. اساس بسیاری از کارها در حوزه روان‌کاری فیلم سیال را، بررسی معادله رینولدز در شرایط مربوط به مسائل گوناگون تشکیل می‌دهد. بررسی معادله رینولدز حاصل از اعمال فرضیات تسهیل‌کننده، از روش‌هایی می‌باشد که پژوهش‌های متعددی پیرامون آن انجام گرفته است. حل تحلیلی

¹ Finite bearing

² Partial bearing

این معادله تنها در حالاتی که از تقریب یاتاقان طویل^۱ و یا بسیار کوتاه^۲ استفاده گردد امکان‌پذیر است [۳۳]. بنابراین در حالت کلی حل این معادله نیازمند بکارگیری یکی از انواع روش‌های حل عددی می‌باشد.



شکل ۳-۱ شماتیک یاتاقان ژورنال کفشك ثابت [۳۷].

برای حل معادلات حاکم و سادگی کار فرضیاتی صورت گرفته که به شرح زیر می‌باشد [۳۸]:

- سیال روان کار نیوتی و تراکم ناپذیر است.
- جریان روان کار آرام و یکنواخت است.
- نیروهای اینرسی و حجمی در مقایسه با نیروهای فشاری و لزجی کوچک است.
- جریان روان کار، لایه‌ای است و از لایه‌های روغن و آمولیسیون تشکیل شده است.
- جریان آرام است.

اولین رابطه اساسی حاکم بر سیال روان‌ساز داخل یاتاقان‌ها توسط رینولدز [۳۹] در سال ۱۸۶۶ ارائه

¹ Long bearing

² Short bearing

شد. وی به کمک یک سری توابع ریاضی، توزیع میدان فشار در درون یاتاقان را محاسبه نمود. اولین پاسخ شکل-بسته^۱ از معادله رینولدز^۲ توسط سامر فیلد [۴۰] در سال ۱۹۰۴ مطرح گردید. با اعمال فرضیات صورت گرفته در مسئله معادله رینولدز به صورت زیر در می‌آید [۳۸]:

$$\frac{\partial}{\partial x} \left(\frac{h^3}{\mu} \frac{\partial p}{\partial x} \right) + \frac{\partial}{\partial y} \left(\frac{h^3}{\mu} \frac{\partial p}{\partial y} \right) = 6R\omega \frac{\partial h}{\partial x} \quad (1-3)$$

که x مختصات در راستای محیطی، y مختصات در راستای محوری یاتاقان، R شعاع محور h ضخامت فیلم روغن، ω سرعت زاویه‌ای، μ لزجت روغن و p فشار روغن می‌باشد. برای یاتاقان ژورنال نمایش داده شده در شکل ۲-۳ معادله ضخامت فیلم روغن مطابق آنچه در زیر بیان می‌شود به دست می‌آید [۳۸].

از قانون سینوس‌ها می‌توان نوشت:

$$\frac{\overline{QO_B}}{\sin \gamma} = \frac{R_J}{\sin \theta} = \frac{e}{\sin \delta} \quad (2-3)$$

که $\overline{QO_B}$ ضلع مثلث، R_J شعاع دایره کوچک، e خروج از مرکزیت محور، δ ، θ و γ زوایای موجود در شکل می‌باشند. با توجه به فرمول (۲-۳) زاویه δ به صورت زیر به دست می‌آید:

$$\delta = \arcsin \left(\frac{e}{R_J} \sin \theta \right) \quad (3-3)$$

از طرفی داریم:

$$\gamma = \theta - \delta = \theta - \arcsin \left(\frac{e}{R_J} \sin \theta \right) \quad (4-3)$$

$$\overline{QQ_B} = \frac{R_J}{\sin \theta} \sin \left[\theta - \arcsin \left(\frac{e}{R_J} \sin \theta \right) \right] = \sqrt{R_J^2 - e^2 \sin^2 \theta} - e \cos \theta \quad (5-3)$$

طبق شکل R_B شعاع دایره بزرگ به صورت زیر بدست می‌آید:

$$R_B = R_J + C \quad (6-3)$$

1. Closed form solution

2. Reynolds equation

$$h = R_B - \overline{QQ_B} \quad (7-3)$$

که C لقی کفشك می باشد.

با جایگذاری معادله های (۵-۳) و (۶-۳) در معادله (۷-۳) مقدار h به صورت زیر به دست می آید:

$$h = C + R_J + e \cos \theta - R_J \sqrt{1 - \left(\frac{e}{R_J}\right)^2 \sin^2 \theta} \quad (8-3)$$

از طرفی داریم:

$$\sqrt{1 - \left(\frac{e}{R_J}\right)^2 \sin^2 \theta} = 1 - \frac{1}{2} \left(\frac{e}{R_J} \sin \theta\right)^2 - \frac{1}{8} \left(\frac{e}{R_J} \sin \theta\right)^4 - \dots \quad (9-3)$$

چون نسبت $\frac{e}{R_J}$ از درجه بزرگی 10^{-3} است، می توان معادله (۹-۳) را می توان به شکل زیر ساده کرد:

$$h = C + e \cos \theta = C(1 + \epsilon \cos \theta) \quad (10-3)$$

که:

$$\epsilon = \frac{e}{C} \quad (11-3)$$

در رابطه‌ی بالا ϵ نسبت خروج از مرکز است. توجه داشته باشید که $0 \leq \epsilon \leq 1$ است.

معادله انرژی استفاده شده جهت تعیین تغییرات دمای روغن و درنتیجه به روز کردن لزجت روغن در

فرایند حل، به شرح زیر در نظر گرفته شده است [۴۱]:

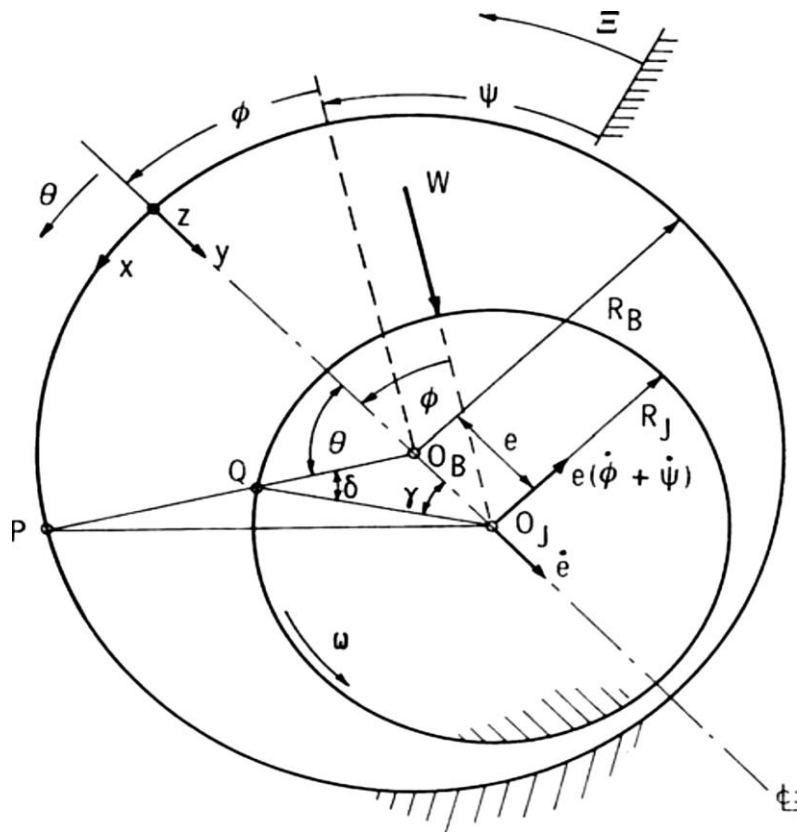
$$q_x \frac{\partial T}{\partial x} + q_y \frac{\partial T}{\partial y} = \frac{h^3}{12\mu\rho C_p} \left[\left(\frac{\partial p}{\partial x}\right)^2 + \left(\frac{\partial p}{\partial y}\right)^2 \right] + \frac{\mu U^2}{\rho h C_p} \quad (12-3)$$

که در این اینجا ρ چگالی روغن، T دمای روغن، C_p ظرفیت ویژه حرارتی روغن، q_x و q_y نیز صورت

زیر می باشند:

$$q_x = Uh/2 - (h^3/12\mu)(\partial p/\partial x) \quad (13-3)$$

$$q_y = -(h^3/12\mu)(\partial p/\partial y) \quad (14-3)$$



شکل ۳-۲ یاتاقان ژورنال با کفشک ثابت [۳۷].

در این مطالعه لزجت روغن در هر نقطه از میدان محاسباتی با درجه حرارت آن نقطه و بر پایه رابطه معروف والتر^۱ تعیین می‌شود [11].

$$(v + a) = bd^{1/T^c} \quad (15-3)$$

که a , d , b و c اعداد ثابت می‌باشند.

با توجه فرضیات مسئله و همچنین با عنایت به معادلات حرکت و پیوستگی خواهیم داشت.

$$\frac{\partial p}{\partial x} = \mu \frac{\partial^2 u}{\partial z^2} \quad (16-3)$$

$$\frac{\partial p}{\partial y} = \mu \frac{\partial^2 w}{\partial z^2} \quad (17-3)$$

¹ Walther's equation

$$\frac{\partial p}{\partial y} = 0 \quad (18-3)$$

با حل معادلات بالا، معادلات سرعت به صورت زیر به دست می‌آید

$$u = \frac{1}{2\mu} \frac{\partial p}{\partial x} z^2 + Az + B \quad (19-3)$$

$$w = \frac{1}{2\mu} \frac{\partial p}{\partial z} z^2 + Cz + D \quad (20-3)$$

برای به دست آوردن ثابت‌های بالا باید از شرایط مرزی مسئله استفاده نمود و در این مسئله شرایط مرزی به صورت زیر است.

$$\begin{cases} w = 0 \text{ و } u = U \text{ در } y = 0 \\ w = 0 \text{ و } u = 0 \text{ در } y = h \end{cases} \quad (21-3)$$

با اعمال شرایط مرزی خواهیم معادله سرعت w و u به صورت زیر در می‌آید:

$$u = \frac{1}{2\mu} \frac{\partial p}{\partial x} (z^2 - zh) + \frac{z}{h} U \quad (22-3)$$

$$w = \frac{1}{2\mu} \frac{\partial p}{\partial y} (z^2 - zh) \quad (23-3)$$

با جایگذاری معادلات سرعت بالا در معادله پیوستگی معادله سرعت v نیز به دست خواهد آمد:

$$v = \frac{1}{2\mu} \left(\frac{\partial^2 p}{\partial x^2} + \frac{\partial^2 p}{\partial y^2} \right) \left(\frac{z^2 h}{2} - \frac{z^3}{3} \right) + \frac{\partial h}{\partial x} \left(\frac{z^2}{4\mu} \frac{\partial p}{\partial x} + \frac{Uy^2}{2h^2} \right) \quad (24-3)$$

در معادلات سرعت که در بالا ذکر شده است محور z مختصات در راستای ضخامت فیلم روغن است و w و v مؤلفه‌های سرعت به ترتیب در راستای چرخشی، محوری و ضخامت فیلم می‌باشند.

برای حل معادلات رینولدز، انرژی و ضخامت فیلم روغن باید از بی‌بعد سازی استفاده کرد تا بتوان از روش‌های عددی آن را حل نمود که در این پایان‌نامه پارامترهای بی‌بعد مسئله به شرح زیر می‌باشد:

$$\bar{h} = h/c : \text{ضخامت بی‌بعد فیلم روغن.}$$

$\bar{x} = x/R$: مختصات زاویه‌ای.

$\bar{\mu} = \mu/\mu_0$: لزجت بی بعد شده.

$\bar{y} = y/l$: مختصات بی بعد در راستای محوری یاتاقان.

$\bar{p} = pc^2/(6U\mu R)$: فشار بی بعد.

$$\bar{T} = \frac{2\rho c_p c^2}{UR\mu} \text{ دمای بی بعد.}$$

با به کارگیری پارامترهای بی بعد فرم بی بعد معادلات (۱۰-۳)، (۱۲-۳) و (۱-۳) به صورت زیر در می آیند:

$$\frac{\partial}{\partial \bar{x}} \left(\bar{h}^3 \frac{\partial \bar{p}}{\partial \bar{x}} \right) + \left(\frac{R}{L} \right)^2 \frac{\partial}{\partial \bar{y}} \left(\bar{h}^3 \frac{\partial \bar{p}}{\partial \bar{y}} \right) = \frac{\partial \bar{h}}{\partial \bar{x}} \quad (25-3)$$

$$\bar{h} = (1 + \epsilon \cos \theta) \quad (26-3)$$

$$\bar{q}_x \frac{\partial \bar{T}}{\partial \bar{x}} + \bar{q}_y \left(\frac{R}{L} \right) \frac{\partial T}{\partial \bar{y}} = \frac{6\bar{h}}{\bar{\mu}} \left[\left(\frac{\partial \bar{p}}{\partial \bar{x}} \right)^2 + \left(\frac{R}{L} \right)^2 \left(\frac{\partial \bar{p}}{\partial \bar{y}} \right)^2 \right] + \frac{2\bar{\mu}}{\bar{h}} \quad (27-3)$$

برای q_x و q_y داریم:

$$\bar{q}_x = q_x/(Uc) \quad (28-3)$$

$$\bar{q}_y = q_y/(Uc) \quad (29-3)$$

$$\bar{q}_x = \bar{h}/2 - (\bar{h}^3/2)(\partial \bar{p}/\partial \bar{x}) \quad (30-3)$$

$$\bar{q}_y = -(\bar{h}^3/2)(\partial \bar{p}/\partial \bar{y}) \quad (31-3)$$

۳-۲-۲-۳ - معادله وگلپول

یکی از روش‌های حل معادله رینولدز تبدیل این معادله به معادله وگلپول^۱ است. در این معادله

متغیری وجود دارد که این متغیر به صورت زیر تعریف می‌شود.

$$M = \bar{p}\bar{h}^{1.5} \quad (32-3)$$

¹ Vogelpohl equation

و این معادله به صورت زیر می‌باشد:

$$\frac{\partial^2 M}{\partial \bar{x}^2} + \left(\frac{R}{L}\right)^2 \frac{\partial^2 M}{\partial \bar{y}^2} = FM + G \quad (33-3)$$

در معادله‌ی بالا پارامتر F و G به صورت زیر تعریف می‌گردد:

$$F = \frac{0.75}{\bar{h}^2} \left[\left(\frac{\partial \bar{h}}{\partial \bar{x}} \right)^2 + \left(\frac{R}{L} \right)^2 \left(\frac{\partial \bar{h}}{\partial \bar{y}} \right)^2 \right] + \frac{1.5}{\bar{h}^2} \left[\frac{\partial^2 \bar{h}}{\partial \bar{x}^2} + \left(\frac{R}{L} \right)^2 \frac{\partial^2 \bar{h}}{\partial \bar{y}^2} \right] \quad (34-3)$$

$$G = (\partial \bar{h} / \partial \bar{x}) / \bar{h}^{1.5} \quad (35-3)$$

۳-۲-۳- پارامترهای عملکردی یاتاقان

با حل رابطه‌های (۳۵-۳) تا (۳۲-۳) و با توجه به شرایط مرزی می‌توان مقادیر فشار و دما را به دست آورد و وقتی فشار معلوم باشد، مؤلفه‌های بار و دیگر پارامترهای عملکردی یاتاقان را می‌توان حساب کرد. پارامترهای عملکردی یاتاقان به شکل بی‌بعد به صورت زیر قابل محاسبه خواهد بود.

الف) مؤلفه‌های نیرو قابل حمل

۱ - مؤلفه نیرو در امتداد محور افقی (محور x).

$$W_x = \int_0^1 \int_0^1 \bar{p} \cos \theta \, d\bar{x} d\bar{y} \quad (36-3)$$

که W_x مؤلفه نیرو در امتداد محور افقی است.

۲ - مؤلفه نیرو در امتداد محور عمودی (محور y)

$$W_y = \int_0^1 \int_0^1 \bar{p} \sin \theta \, d\bar{x} d\bar{y} \quad (37-3)$$

که W_y مؤلفه نیرو در امتداد محور عمودی است.

-۳- نیروی کلی قابل حمل برای هر یاتاقان.

$$W_t = \sqrt{W_x^2 + W_y^2} \quad (38-3)$$

که W_t نیروی کلی قابل حمل برای هر یاتاقان می باشد.

ب) زاویه وضعی

$$\emptyset = \tan^{-1} \left(\frac{W_y}{W_x} \right) \quad (39-3)$$

در فرمول بالا \emptyset زاویه‌ای است که دو نیروی عمودی و افقی نسبت به هم می سازند.

ج) آهنگ نشتی روان کار

$$Q_s = \int_0^l \int_0^h u dy dz \quad (40-3)$$

که Q_s آهنگ نشتی روان کار می باشد.

د) نیروی اصطکاک تولیدی ناشی از تنفس برشی

$$F_\mu = \int_0^L \int_0^B \tau dx dy \quad (41-3)$$

که F_μ نیروی اصطکاک تولیدی است و τ تنفس برشی واردشده بر فیلم روغن می باشد که از رابطه‌ی زیر

به دست می آید:

$$\tau = \mu \frac{du}{dz} \quad (42-3)$$

ه) تلفات اصطکاکی

$$H_- f = \tilde{T} \omega \quad (43-3)$$

که $H_- f$ تلفات اصطکاکی و \tilde{T} گشتاور تولیدی می باشد.

۳-۳- یاتاقان کفشک لولایی

از یاتاقان‌های ژورنال کفشک لولایی به عنوان یکی از فناوری‌های صنعتی جهت رفع مشکلات ناپایداری و رفع مشکلات ساخت و مونتاژ مانند ناهمراستایی شفت و یاتاقان‌ها، خصوصاً در توربوماشین‌ها استفاده می‌شود.

امروزه یاتاقان‌های ژورنال کفشک لولایی در مقایسه با یاتاقان‌های ژورنال کفشک ثابت به دلیل ویژگی خود-تنظیمی کفشک‌ها (متناسب با شرایط کارکرد)، عملکرد و پایداری خوب و مطمئنی در سرعت‌های بالا از خود نشان می‌دهند اما همین ویژگی، چنانچه به خوبی در طراحی‌ها و محاسبات لحاظ نگردد می‌تواند منجر به ارتعاشات کفشک‌ها حول نقطه مفصل شده و صدمات جبران‌ناپذیری در اثر برخورد آن‌ها با محور ماشین به وجود آورد. از این‌رو در طراحی یاتاقان ژورنال کفشک لولایی، دقت و ظرافت خاصی در شبیه‌سازی جریان روان‌ساز بین کفشک‌ها و محور یاتاقان باید در نظر گرفته شود.

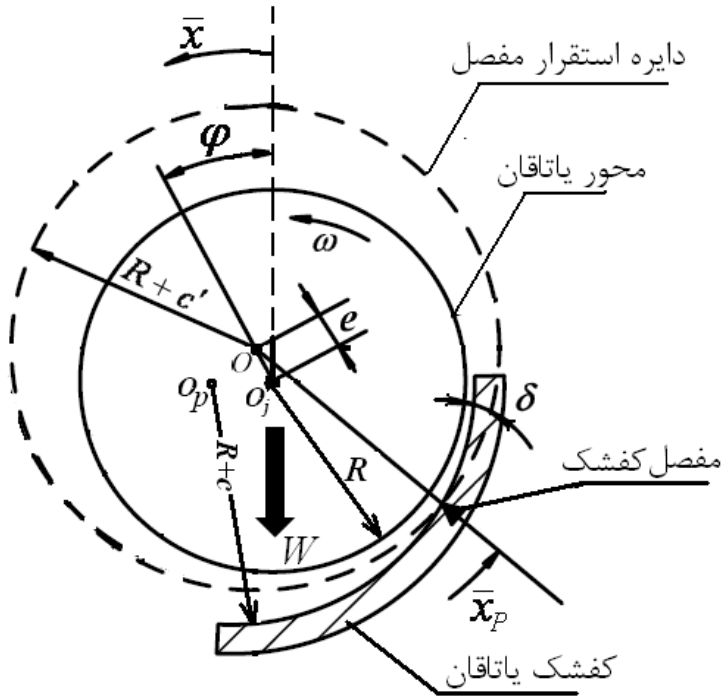
۳-۱-۳- معادلات حاکم

برای یاتاقان ژورنال نمایش داده شده در شکل ۳-۳ با فرض ثابت بودن ضخامت فیلم روغن در راستای محور یاتاقان (فرض عدم ناهممیزانی محور یاتاقان)، معادله ضخامت فیلم روغن برای هر کفشک در شکل بی‌بعد آن مطابق رابطه (۴۶-۳) بیان می‌شود [۴۲]:

$$\bar{h} = 1 - m \cos(\bar{x}_P - \bar{x}) + \varepsilon \cos(\bar{x} - \varphi) + \frac{\delta}{\psi \sin(\bar{x}_P - \bar{x})} \quad (44-3)$$

که $m = 1 - c'/c$ ضریب پیش بارگذاری، c' لقی دایره استقرار مفصل و محور یاتاقان، از مرکزیت، e خروج از مرکزیت محور، $x/R = \bar{x}$ مختصات زاویه‌ای، x مختصات در راستای محیطی، R شعاع محور، \bar{x}_P موقعیت زاویه‌ای مفصل کفشک، δ زاویه چرخش کفشک، φ زاویه بارگذاری و

$$\psi = c/R$$



شکل ۳ - ۳ یاتاقان کفشک لولایی [۴۲].

معادلات دیگر برای یاتاقان کفشک لولایی مانند یاتاقان کفشک ثابت می‌باشد با این تفاوت که روابط برای هر کفشک به طور جداگانه برقرار است و برای بدست آوردن روابط کلی باید از جمع جبری استفاده کرد؛ و پارامترهای به دست آمده در هر کفشک را باهم جمع نمود.

۴-۳- گسسته سازی

برای حل معادلات به روش عددی و الگوریتم تکرار ابتدا نیاز است که معادلات گسسته سازی شوند. برای گسسته سازی از روش تفاضل مرکزی با خطای مرتبه دو استفاده شده است. و در مرزها نیز از روش تفاضل پیشرو و تفاضل پسرو با خطای مرتبه یک استفاده شده است. با استفاده از معادلات و فرمولهای گسسته سازی فرم گسسته معادله و گلپول (۳۲-۳) به صورت فرمول (۴۵-۳) درمی‌آید.

$$M_{i,j} = \frac{M_{i+1,j} + M_{i-1,j} + r^2(M_{i,j+1} + M_{i,j-1})}{2(1+r^2) + (\Delta\bar{x})^2\eta_{i,j}} - \frac{-(\Delta\bar{x})^2\xi_{i,j}}{2(1+r^2) + (\Delta\bar{x})^2\eta_{i,j}} \quad (45-3)$$

که پارامتر r به صورت زیر تعریف می‌گردد:

$$r = (R/L)(\Delta\bar{x}/\Delta\bar{y}) \quad (46-3)$$

فرم گسسته معادله انرژی نیز به این صورت است:

$$\bar{T}_{i,j} = \frac{\left[\Lambda_{i,j} + \frac{(\bar{q}_x)_{i,j}}{\Delta\bar{x}} \bar{T}_{i-1,j} + \left(\frac{R}{L}\right) \frac{(\bar{q}_y)_{i,j}}{\Delta\bar{y}} \bar{T}_{i,j-1} \right]}{\left[\frac{(\bar{q}_x)_{i,j}}{\Delta\bar{x}} + \left(\frac{R}{L}\right) \frac{(\bar{q}_y)_{i,j}}{\Delta\bar{y}} \right]} \quad (47-3)$$

که پارامتر Λ به شکل زیر می‌باشد:

$$\Lambda = \frac{2\bar{\mu}}{\bar{h}} + \frac{6\bar{h}^3}{\bar{\mu}} \left[\left(\frac{\partial\bar{p}}{\partial\bar{x}} \right)^2 + \left(\frac{R}{L} \right)^2 \left(\frac{\partial\bar{p}}{\partial\bar{y}} \right)^2 \right] \quad (48-3)$$

۳-۵- روش حل

در این پایان‌نامه معادلات به روش تکرار حل شده‌اند که الگوریتم حل به شرح زیر است:

۱- دریافت ورودی مسئله شامل ابعاد هندسی یاتاقان و مشخصات فیزیکی سیال روان‌ساز در دمای

محیط.

۲- حدس اولیه برای دمای روغن.

۳- محاسبه لزجت روغن مطابق حدس مرحله ۲.

۴- حل همزمان معادلات فیلم روغن و وگلپول به روش تکرار و محاسبه کمیت‌های p , h و ϵ .

۵- حل معادله انرژی به روش تکرار و محاسبه درجه حرارت روغن.

۶- بازگشت به مرحله ۳ (تا رسیدن به معیار پذیرش خطای در درجه حرارت).

۷- به دست آوردن پارامترهای عملکردی.

شرایط مرزی مورداستفاده در مسئله هم بهصورت زیر می‌باشد:

الف) شرایط مرزی برای به دست آوردن فشار:

$$\frac{dp}{dx} = 0 \quad \text{در} \quad \theta = \theta^* \quad (49-3)$$

$$p = 0 \quad \text{در} \quad \theta = 0 \quad (50-3)$$

که θ^* زاویه‌ای است که در آن کاویتاسیون رخ می‌دهد.

ب) شرایط مرزی برای به دست آوردن دمای روغن:

برای دمای روغن در خروجی و لبه‌های جانبی داریم:

$$\partial T / \partial y = 0, \partial T / \partial x = 0 \quad (51-3)$$

فصل چهارم

نتایج

۱-۴ - مقدمه

امروزه با توجه به کاربرد فراوان یاتاقان‌ها در صنعت، مسئله عملکرد یاتاقان‌ها مسئله‌ی مهمی است. همچنین با دانستن اطلاعاتی جهت بهبود عملکرد یاتاقان‌ها و افزایش عمر کارایی با توجه به خوردگی و اقلاف حرارتی یاتاقان‌ها می‌توان به صنعت کمک بزرگی کرد. به همین منظور به بهینه‌سازی یاتاقان کفشك ثابت و یاتاقان کفشك لولایی با استفاده از الگوریتم ازدحام ذرات و با توابع هدف مختلف پرداخته شده است. که نتایج بدست امده در این فصل آورده شده است.

۲-۴ - صحت سنجی نتایج

اولین مورد مطالعاتی جهت ارزیابی صحت برنامه عددی مربوط می‌شود به شبیه‌سازی یاتاقان کفشك ثابت با مشخصات مندرج در جدول ۱-۴ در این مساله، لزجت و چگالی روغن ثابت فرض شده و لایه روغن در لقی بین کفشك و محور با شبکه‌ای به ابعاد $80 \times 80 \times 80$ به‌طور یکنواخت تقسیم‌بندی می‌شود. نتایج حاصل از حل عددی معادلات که عبارتند از مینیمم ضخامت بی‌بعد فیلم روغن (h_0/c)، موقعیت کمترین

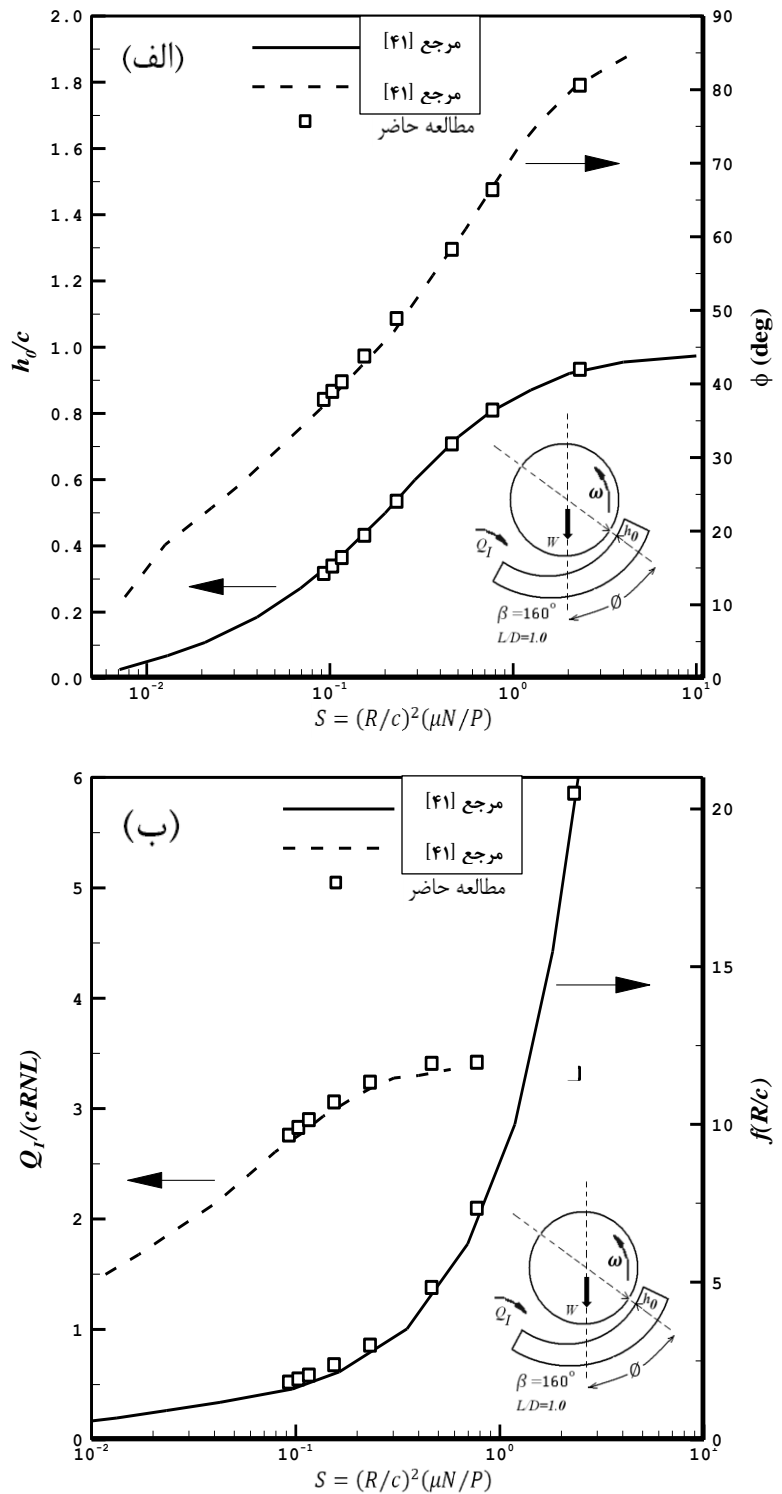
ضخامت فیلم روغن با زاویه گرایش^۱ (\emptyset)، ضریب اصطکاک یاتاقان (cf/R) و ضریب دبی روغن ورودی به هر کفشك یاتاقان ($Q_t/cRLN$) بحسب عدد بی بعد سامرفلید ($S = (R/c)^2(\mu N/P)$) در شکل ۴-۱ نمایش داده است. این نتایج با گزارشات ارائه شده در مرجع [۴۱] که مربوط به حل عددی است مقایسه شده است که انطباق خوبی در آنها مشاهده می شود.

دومین مورد مطالعاتی جهت اعتبارسنجی برنامه عددی مربوط می شود به شبیه سازی یاتاقان کفشك لولایی که مشخصات هندسی و هیدرولیکی آن در سطر دوم جدول ۴-۱ آورده شده است. کمیت γ معرف محل قرارگیری لولایی کفشك نسبت به لبه خروجی کفشك، θ_p زاویه کمانی هر کفشك و N_p تعداد کفشكها می باشد. در این مورد مطالعاتی هم، لزجت و چگالی روغن ثابت فرض شده و لایه روغن در لقی بین هر کفشك و محور با شبکه ای به ابعاد $80 \times 80 \times 80$ به طور یکنواخت تقسیم بندی می شود. شکل ۴-۲ کمترین ضخامت بی بعد فیلم روغن را بحسب عدد سامرفلید نمایش می دهد که با مقادیر گزارش شده در مرجع [۴۱] مقایسه شده است. این مقایسه انطباق خوب نتایج مطالعه حاضر را با مقادیر مرجع [۴۱] که مربوط به حل عددی است نشان می دهد.

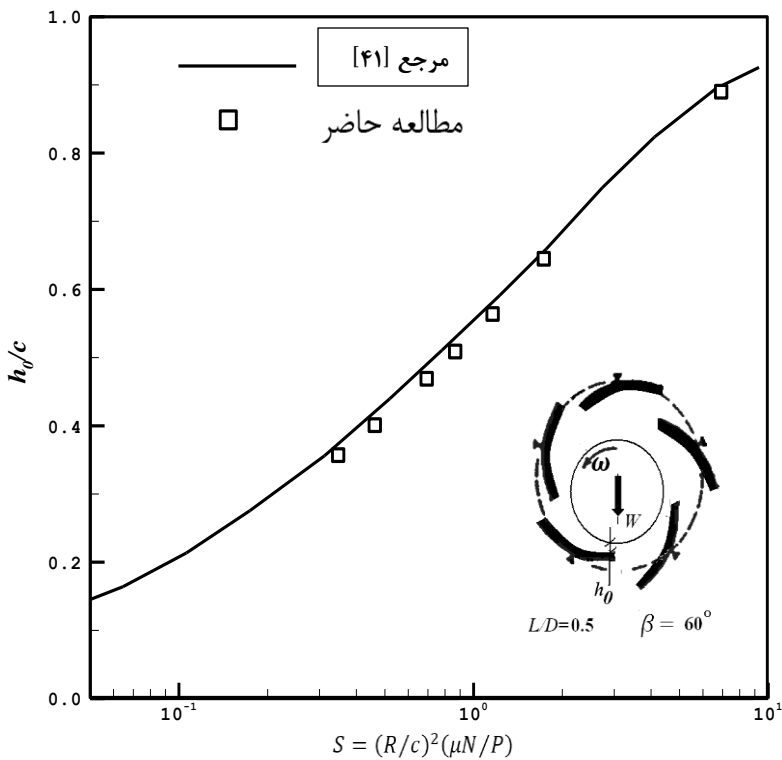
جدول ۴-۱ مشخصات هندسی یاتاقان ژورنال جهت اعتبار سنجی.

γ [%]	$\frac{\rho R \omega c}{\mu}$	θ_p [deg]	N_p	L/D	m	نوع یاتاقان
-	۱	۱۶۰	۱	۱	-	کفشك ثابت
۵۰	۱	۶۰	۵	۰/۵	•	کفشك لولایی

^۱ Attitude angle



شكل ٤ - ١ شبیه سازی یاتاقان کفشدکثیف ثابت. (الف) کمترین ضخامت بی بعد فیلم روغن و زاویه گرایش یاتاقان. (ب) ضریب اصطکاک و ضریب دبی روغن ورودی.



شکل ۴-۲ شبیه‌سازی یاتاقان کفشدک لولایی. کمترین ضخامت بی بعد فیلم روغن بر حسب عدد سامر فیلد.

۳-۴- نتایج یاتاقان ژورنال

در این قسمت به بهینه‌سازی یاتاقان‌های ژورنال با کفشک ثابت با استفاده از الگوریتم ازدحام ذرات پرداخته شده است. که مسئله بهینه‌سازی، یک مسئله کمینه‌سازی می‌باشد. ابتدا این کار با یک تابع هدف سپس دو و سه تابع هدف انجام شده است. منظور از توابع هدف، توابعی است که قرار است بهینه شوند، که توابع هدف در این مسئله، کمترین ضخامت روغن، تلفات اصطکاکی و بیشترین دما می‌باشد که باید کمترین ضخامت فیلم روغن بیشینه گردد تا یاتاقان دچار فرسودگی و خوردگی کمتری گردد همچنین تلفات اصطکاکی و بیشترین دما باید کمینه گردند. این کمینه‌سازی باعث می‌گردد که عمر

یاتاقان افزایش یافته و یاتاقان عملکرد بهتری داشته باشد. متغیرهای تصمیم مسئله، ضریب لقی و نسبت طول به قطر می‌باشد که این کار با دماهای ۳۰، ۳۵، ۴۰ و ۴۵ درجه سانتی‌گراد و زاویه‌ی کفشک ۳۰، ۶۰ و ۹۰ درجه سانتی‌گراد صورت گرفته است. در قسمتی دیگر هم از دما به عنوان متغیر تصمیم نیز استفاده شده است. برای قیود مسئله نیز از روش ترمیم استفاده شده به گونه‌ای که اگر ذرات خارج از فضای محاسباتی قرار گرفتند مقدار ذرات با مقداری که برای مرزهای فضای محاسباتی در نظر گرفته شده است برابر درنظر گرفته می‌شود.

این بهینه‌سازی برای بازه‌ای از ضریب لقی، نسبت طول به قطر و دما صورت گرفته است که این بازه برای ضریب لقی، نسبت طول به قطر و دما به ترتیب برابر با $300 - 40$ میکرون، $2 - 80 / 2$ و $45 - 35$ می- باشد. نیروی وارد بر یاتاقان ۲۰ کیلو نیوتون و سرعت ۱۰۰۰ رادیان بر ثانیه در نظر گرفته شده است.

۴-۳-۱- بهینه‌سازی با یک تابع هدف

در ابتدای امر هر کدام از توابع هدف به طور جداگانه بهینه شدند، که در جدول ۴-۴ مقدار بهینه هر کدام از توابع هدف بدون در نظر گرفتن توابع هدف دیگر برای یاتاقان با زاویه‌ی کفشک ۳۰ درجه آورده شده است.

جدول ۴-۲ بهینه‌سازی یاتاقان کفشک ثابت با یک تابع هدف.

$T_{max} ({}^{\circ}\text{C})$	$H_f (w)$	$1/h \square_{min}$
۴۴/۱۰۴	۱۶۰/۶۱۲	۱/۰۷

۴-۳-۲- بهینه‌سازی با دو تابع هدف

آنچه در این مبحث به آن پرداخته شده است، بهینه‌سازی با دو تابع هدف می‌باشد، که این کار به ازای

دهماهای مختلف ۳۰، ۳۵، ۴۰ و ۴۵ درجه سانتی‌گرادو با دو روش MOPSO و روش وزنی صورت گرفته است. که روش اجرای این دو الگوریتم قبلاً در فصل دو آورده شده است.

الف) روش MOPSO

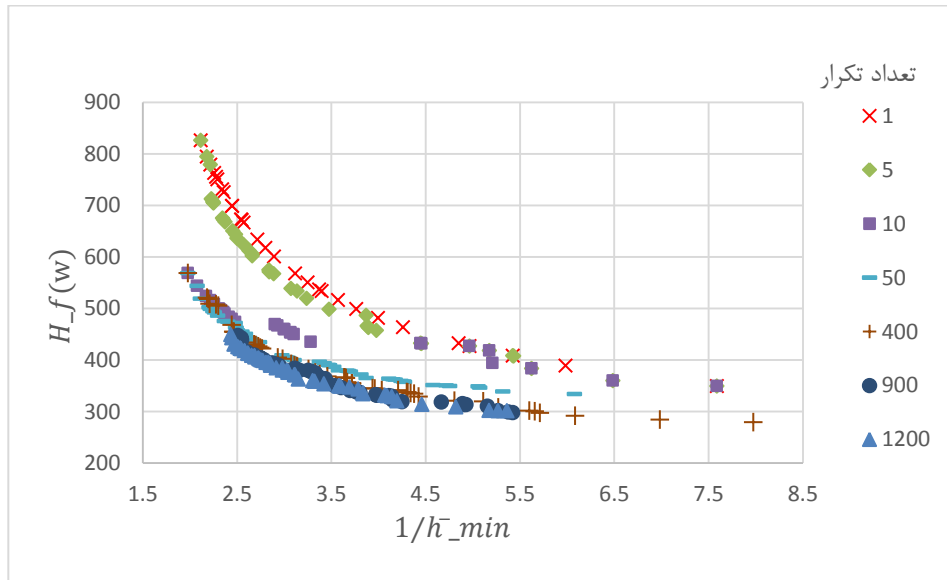
یکی از مباحثی که در بهینه‌سازی وجود دارد مفهوم پرتو می‌باشد. اگر مسئله‌ی کمینه‌سازی باشد، هر چه نمودار به مبدا نزدیک‌تر باشد، به جواب بهینه نزدیک‌تر می‌شود. در زیر چند نمودار برای نمونه آورده شده است، که این مفهوم را توضیح می‌دهد.

در شکل ۳-۴ دمای ورودی و زاویه کفشک یاتاقان به ترتیب ۳۵ درجه سانتی‌گراد و ۳۰ درجه می‌باشد، و توابع هدف مسئله نیز اتلاف حرارتی و کمترین ضخامت فیلم روغن در نظر گرفته شده است. این نمودار بیان می‌دارد که از تکرار ۷۰ به بعد تغییری در منحنی پرتو ایجاد نمی‌گردد، و ذرات، جبهه پرتو را پیدا کرده‌اند. منظور از جبهه پرتو نموداری است که با افزایش تعداد تکرار، نمودار حرکتی نکند و جابجا نشود. ذرات در تکرار ۹۰۰ به همگرایی رسیدند. منظور از همگرایی این است که با افزایش تکرار تغییری در مقدار ذرات حاصل نشود و ذرات همان مقادیر قبلی را داشته باشند.

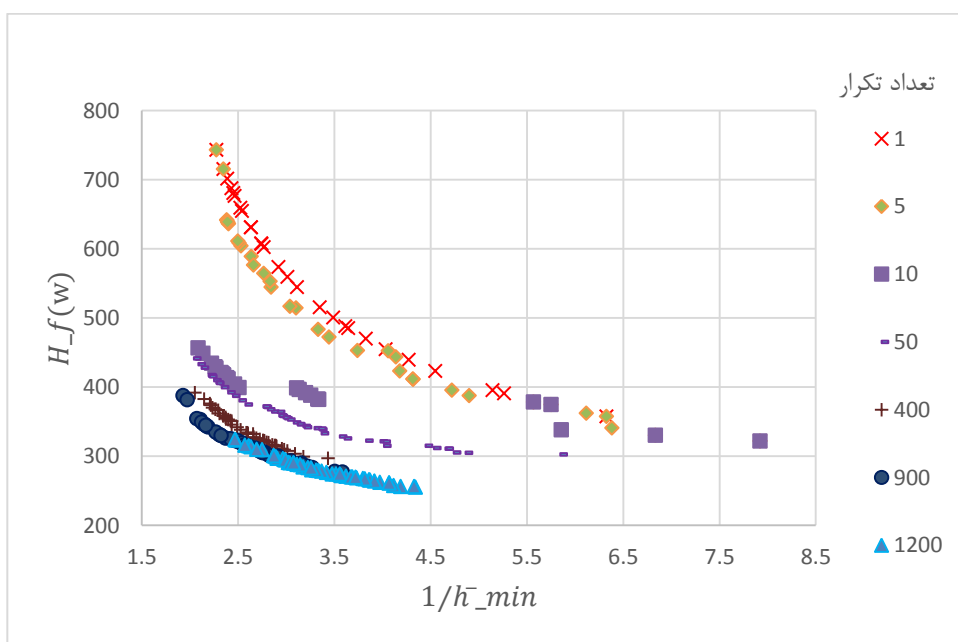
اعدادی که نمودار را تشکیل می‌دهند در واقع مقادیری هستند که توسط ذرات نامغلوب بدست آمدند، که این ذرات در مخزن قرار گرفتند. ذرات نامغلوب ذراتی هستند که در هیچ حالتی بدتر از ذرات دیگر نیستند و حداقل در یک حالت بهتر از ذرات دیگر می‌باشند. که در این نمودار ذرات نامغلوب، ذراتی هستند، که کمترین ضخامت فیلم روغن آن‌ها بیشترین مقدار است یا کمترین تلفات حرارتی را دارا می‌باشند و یا هم کمترین تلفات و بیشترین ضخامت فیلم روغن را دارند. تمام مقادیری که بالای منحنی پرتو قرار می‌گیرند مجموعه ذرات مغلوب می‌باشند، که توسط ذرات داخل مخزن مغلوب شدند.

همچنین شکل ۴-۴ همگرایی منحنی پرتو با دمای ورودی ۴۰ درجه سانتی‌گراد و با همان توابع هدف شکل ۳-۴ را نشان می‌دهد. آنچه از این نمودار پیداست ذرات، جبهه پرتو را در تکرار ۵۰۰ پیدا کردند، و

در تکرار ۹۰۰ به همگرایی رسیدند.

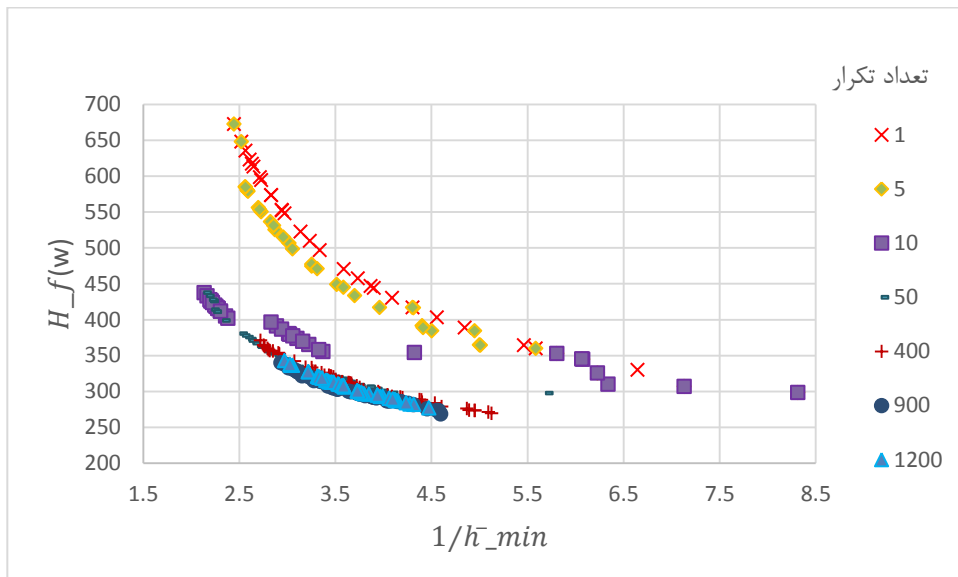


شکل ۴-۳ منحنی پرتو با دمای ورودی ۳۵ درجه سانتی گراد با توابع هدف اتلاف حرارتی و کمترین ضخامت فیلم روغن به ازای تکرارها مختلف با روش MOPSO



شکل ۴-۴ منحنی پرتو با دمای ورودی ۴۰ درجه سانتی گراد با توابع هدف اتلاف حرارتی و کمترین ضخامت فیلم روغن به ازای تکرارها مختلف با روش MOPSO

در شکل ۴-۵ دمای ورودی روغن ۴۵ درجه سانتی گراد داده شده است، و ذرات در تکرار ۴۰۰ جبهه پرتو را پیدا نموده و در تکرار ۸۰۰ به همگرایی رسیدند.

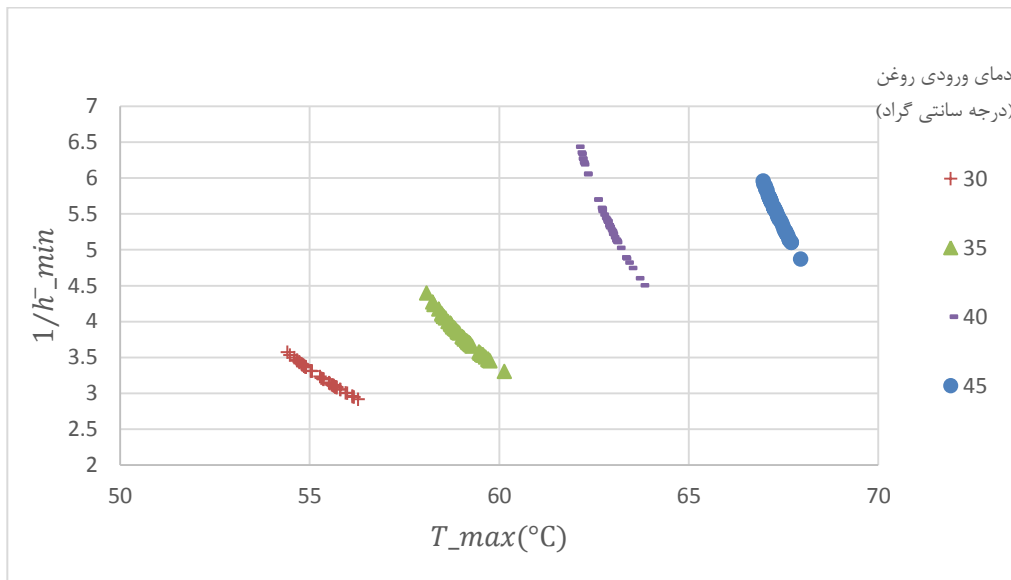


شکل ۴-۵ منحنی پرتو با دمای ورودی ۴۵ درجه سانتی گراد با توابع هدف اتلاف حرارتی و کمترین ضخامت فیلم روغن به ازای تکرارها مختلف با روش MOPSO

برای آنکه تاثیر دمای ورودی روغن بر روی توابع هدف معلوم شود شکل های ۴-۶ تا ۴-۸ برای توابع هدف مختلف در زمان همگرایی رسم شده است، که در ادامه این نمودارها آورده شده است.

شکل ۴-۶ نشان می دهد، که برای توابع هدف بیشترین دمای روغن و کمترین ضخامت فیلم روغن دمای ورودی ۳۰ درجه سانتی گراد از عملکرد بهتری برخوردار است و به مبدأ نزدیک تر می باشد و هر دو تابع هدف در این دما مقدار کمتری نسبت به دمای دیگر ورودی روغن را دارا می باشد.

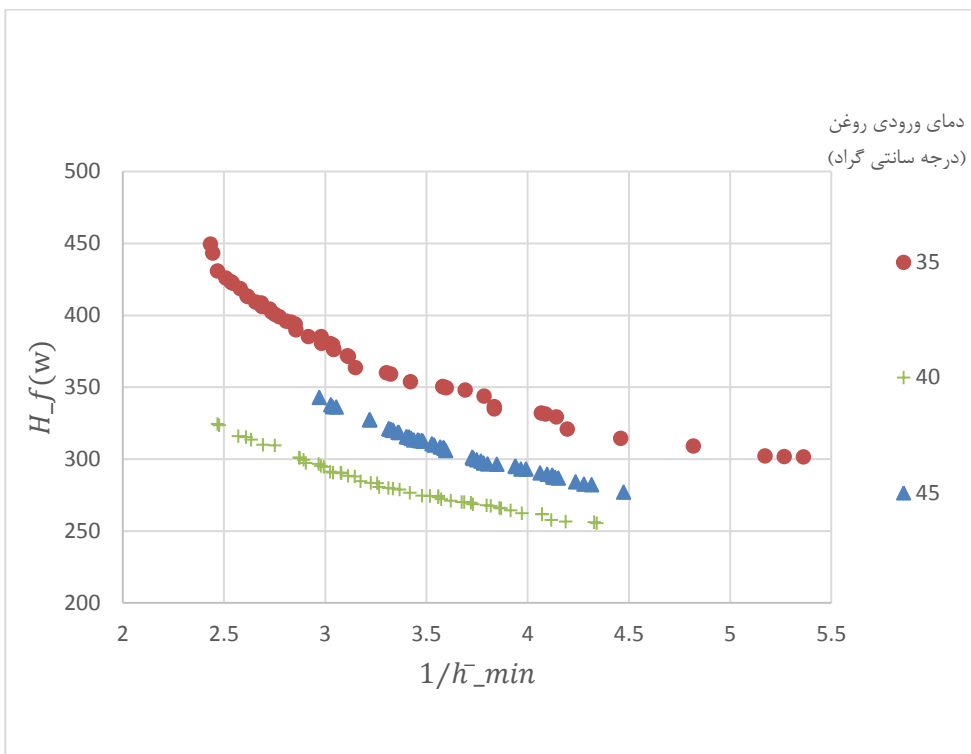
در جدول ۳-۴ متغیرهای تصمیم مسئله که مقادیر آن در نمودار بالا بدست آمده است، به صورت نمونه آورده شده است.



شکل ۴-۶ منحنی پرتو با توابع هدف بیشترین دما و کمترین ضخامت فیلم روغن به ازای دماهای ورودی روغن مختلف با روش MOPSO

جدول ۴-۳ متغیرهای تصمیم یاتاقان کفشک ثابت با توابع هدف کمترین ضخامت فیلم روغن و بیشترین دما با روش MOPSO

بیشترین دما (درجه سانتی گراد)	معکوس ضخامت فیلم روغن (بی بعد)	نسبت طول به قطر (بی بعد)	ضریب لقی (میکرون)	دماهای ورودی روغن (درجه سانتی گراد)
۵۴/۹۸	۳/۳۲۹	۰/۵۷۸	۸۴/۱۴	۳۰
۵۵/۳۵۷	۳/۱۹۴	۰/۵۷۸	۷۹/۸	
۵۸/۶۷	۴/۰۰۲	۰/۵۸۶	۹۵/۱۰	
۵۸/۸۴۶	۳/۸۹۹	۰/۵۸۷	۹۲/۲۴۰	
۶۱/۵۱۹	۷/۵۹۹	۰/۵۷۷	۱۷/۸۳۰	۴۰
۶۳/۶۵۵	۴/۵۷۰	۰/۵۷۷	۹۸/۷	
۶۶/۹۶	۵/۹۶۱	۰/۵۹۴	۱۲۲/۵۱۲	۴۵
۶۷/۵۲	۵/۱۳۲	۰/۵۹۴	۱۰۵/۰۰۰	



شکل ۴-۷ منحنی پرتو با توابع هدف اتلاف حرارتی و کمترین ضخامت فیلم روغن به ازای دماهای ورودی روغن مختلف با روش MOPSO

شکل ۴-۷ بیانگر این موضوع است که برای بهینه‌سازی دوتابع کمترین ضخامت فیلم روغن و اتلاف حرارتی دمای ۴۰ درجه سانتی‌گراد دارای منحنی پرتو بهتری می‌باشد و از عملکرد مطلوبی برخوردار است. لذا انتخاب دما ۴۰ درجه سانتی‌گراد برای دمای ورودی روغن زمانیکه این دوتابع از اهمیت خاصی برخوردار باشد، مناسب می‌باشد.

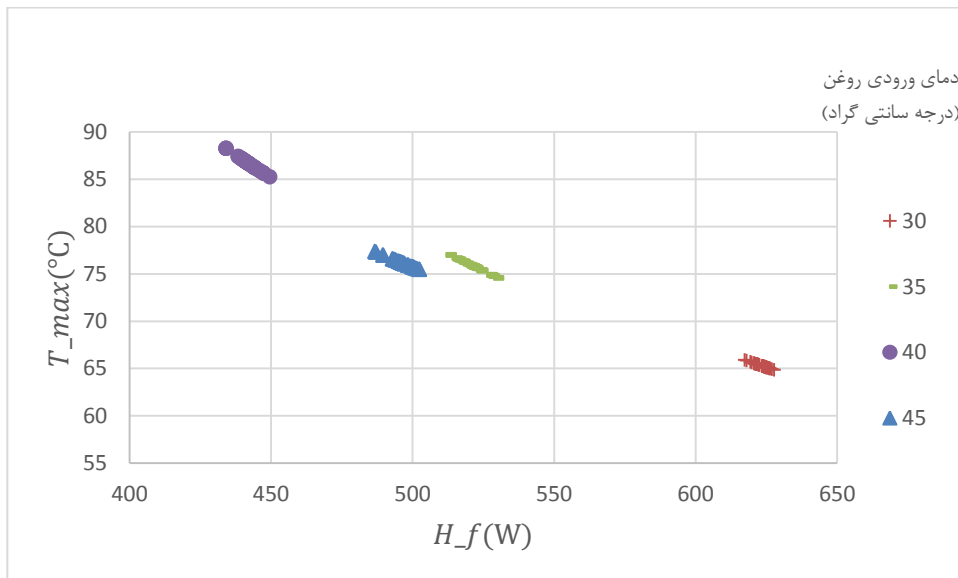
متغیرهای تصمیم مسئله به صورت موردی در جدول ۴-۴ ذکر گردیده است.

جدول ۴-۴ متغیرهای تصمیم یاتاقان کفشه کثیف ثابت با توابع هدف کمترین ضخامت فیلم روغن و تلفات حرارتی با روش MOPSO

تلفات حرارتی (وات)	معکوس ضخامت فیلم روغن(بی بعد)	نسبت طول به قطر (بی بعد)	ضریب لقی (میکرون)	دماهی ورودی روغن (درجه سانتی گراد)
۳۳۱/۲۰۵	۴/۰۸۹	۰/۱۹۴	۱۶/۹	۳۵
۴۱۲/۸۸۴	۲/۶۱	۰/۲۴	۱۶/۳	
۳۰۱/۸۰۳	۵/۲۶۷	۰/۱۷۴	۱۷/۹	
۲۵۵/۳۵۵	۴/۲۴	۰/۱۶	۱۰/۴۲	۴۰
۳۱۵/۱۰۱	۲/۶۰	۰/۲۰	۹/۵۸	
۲۸۳/۱۴	۳/۲۵۷	۰/۱۸	۹/۷۴	
۲۸۲/۰۶	۴/۳۱	۰/۱۹۱	۱۶/۰	۴۵
۳۲۰/۲۹	۳/۳۲	۰/۲۲۲	۱۵/۹	
۳۴۲/۸۴	۲/۹۷	۰/۲۴	۱۶/۰	

در شکل ۴-۸ توابع هدف اتلاف حرارتی و بیشترین دماهی روغن در نظر گرفته شده است که این توابع برای دماهای ۳۰، ۳۵، ۴۰ و ۵۰ درجه سانتی گراد رسم شده است. این نمودار بیان می‌دارد که بعضی از ذرات در دماهی ورودی ۴۵ درجه سانتی گراد، بعضی از ذرات در دماهی ورودی ۳۵ درجه سانتی گراد را مغلوب می‌کند، ولی بیشتر ذرات در این دو دما هیچ‌گونه برتری نسبت به یکدیگر ندارند. و هر دو دما از یک مقدار متوسط بیشترین دما و اتلاف حرارتی برخوردارند. اما روغن با دماهی ورودی ۳۰ درجه سانتی گراد با وجود اینکه بیشترین دماهی آن نسبت به دماهای ورودی دیگر کمترین مقدار را دارا می‌باشد اما تلفات حرارتی آن زیاد می‌باشد. در دماهی ۴۰ درجه نیز تلفات حرارتی، کم و بیشترین دماهی دارای مقدار زیادی است. شکل ۴-۸ به ازای یک سری متغیرهای ورودی و متغیرهای تصمیم بدست آمدند. در جدول

۵-۴ بعضی از این مقادیر آورده شده است.



شکل ۴-۸ منحنی پرتو با توابع هدف اتلاف حرارتی و بیشترین دمای روغن به ازای دماهای ورودی روغن مختلف با روش MOPSO

جدول ۴-۵ متغیرهای تصمیم یاتاقان کفشک ثابت با توابع هدف بیشترین دما و تلفات حرارتی با روش MOPSO

تلفات حرارتی (وات)	بیشترین دما (درجه سانتی گراد)	نسبت طول به قطر (بی بعد)	ضریب لقی (میکرون)	دمای ورودی روغن (درجه سانتی گراد)
۵۱۴/۷۴	۷۶/۵۷	۰/۳۲۰	۱۷۲/۱	۳۵
۵۲۰/۷۰۵	۷۵/۷۰	۰/۳۲۶	۱۷۲/۲	
۴۳۹/۴۹	۸۷/۱۸	۰/۲۹۵	۱۳۲/۲۵	۴۰
۴۳۴/۲۰	۸۸/۲۵	۰/۲۹۰	۱۳۲/۲۳	
۴۸۹/۴۴	۷۶/۹۹	۰/۳۹۹	۲۱۳/۵۴	۴۵
۴۹۹/۴۰	۷۵/۸۰	۰/۴۱۲	۲۱۳/۳۶	

ب) روش وزن دهی

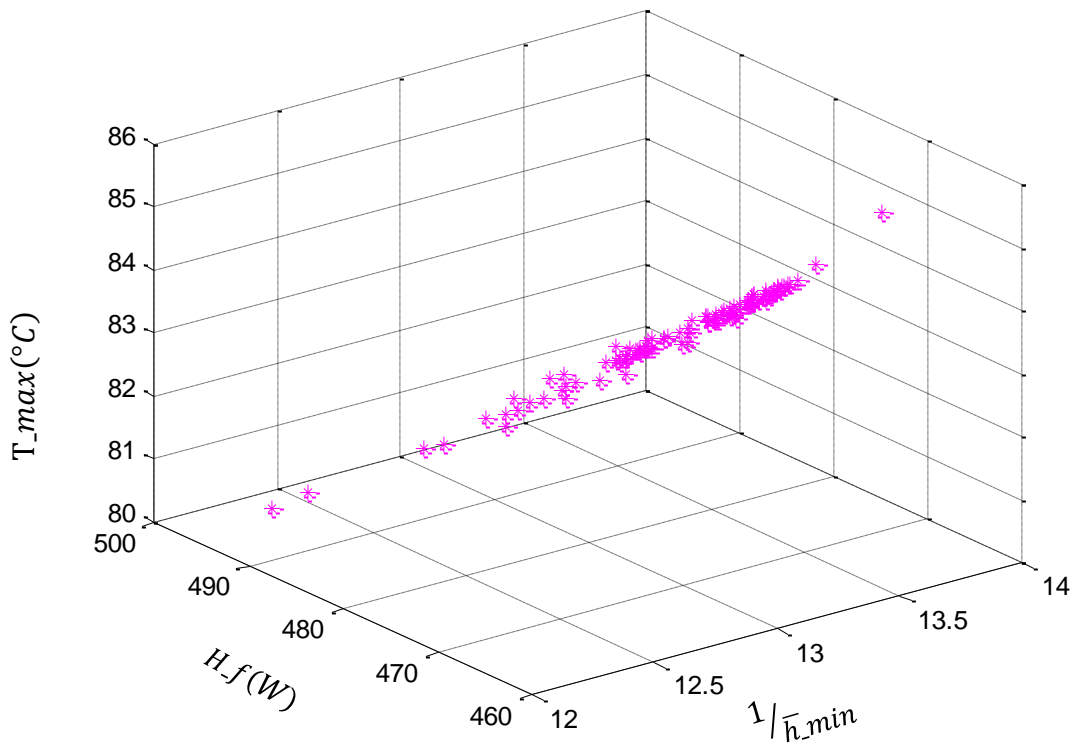
همانطور که در فصل دو گفته شد استفاده از روش وزن دهی با مشکلاتی همراه است که عمدترين مشکل اين روش در اين است که توابع هدف باید به گونه‌ای با هم ترکيب شوند، که مطلوب‌ترین جواب را بتوان بدست آورد. در اين مسئله توابع هدف متفاوت می‌باشد. توابع هدف در نظر گرفته شده نسبت فشار ميانگين به حداکثر فشار و كمترین ضخامت فيلم روغن می‌باشد. به همين دليل دوتابع $\frac{h_0}{C} \cdot \frac{p_{avg}}{p_{max}}$ به اين دليل می‌باشد که دوتابع سازگاري خوبی با يكديگر دارند و از آنجايي که هر دوتابع داراي اهميت يكسانی می‌باشد ضريب وزني برای هر دوتابع $1/5$ در نظر گرفته شده است. که مقدار بهينه اين تابع ورودی 28 درجه سانتي گراد بدست آمده است.

۴-۳-۳-۳- بهينه‌سازی با سه تابع هدف

زمانیکه توابع بيشترین دمای روغن، تلفات حرارتی و كمترین ضخامت فيلم روغن ، هر سه تابع اهميت خاصی دارند و مقادير اين توابع مهم هستند باید هر سه تابع را به طور همزمان بهينه نمود. در اين بخش نتایج بهينه‌سازی همزمان اين سه تابع با استفاده از الگوريتم MOPSO آورده شده است. اين کار برای دماهای ورودی مختلف روغن و به ازاي زاويه‌های کفشک 30° ، 60° و 90° درجه صورت گرفته است، که اين نتایج به شرح زير می‌باشد:

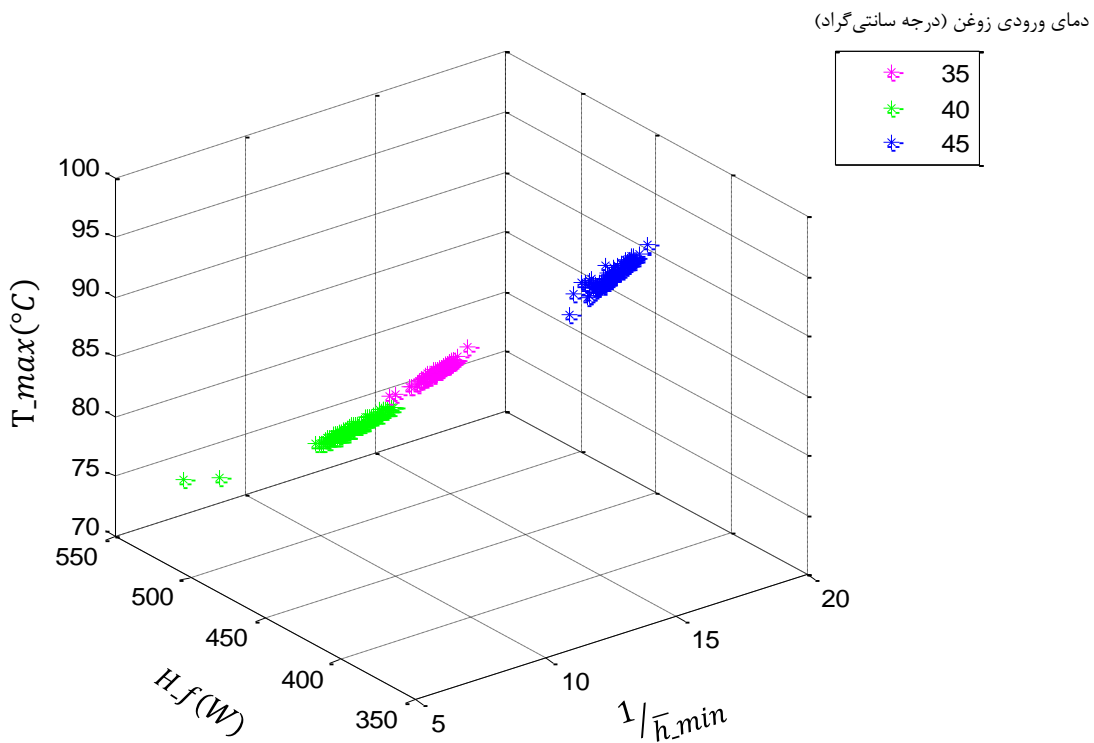
الف) زاویه کفشک 30° درجه

برای زاویه کفشک 30° درجه منحنی پرتو برای دمای ورودی روغن 35 درجه سانتي گراد به عنوان نمونه ترسیم شده است؛ سپس برای درک و مقایسه بهتر منحنی پرتو برای یاتاقان ورناال کفشک ثابت برای زاویه کفشک 30° درجه به ازاي مقادير مختلف دما رسم شده است.



شکل ۴-۹ منحنی پرتو یاتاقان کفشک ثابت با زاویه کفشک ۳۰ درجه با توابع هدف اتلاف حرارتی، بیشترین دمای روغن و کمترین ضخامت فیلم روغن به ازای دمای ورودی ۳۵ درجه سانتی گراد روغن با روش MOPSO

شکل ۴-۱۰-۴ بیانگر تاثیر دمای ورودی روغن بر روی یاتاقان کفشک ثابت با زاویه ۳۰ درجه می‌باشد. دمای ورودی ۴۰ درجه سانتی گراد نسبت به دماهای ورودی ۳۵ و ۴۵ درجه سانتی گراد دارای بیشترین حداقل ضخامت فیلم روغن و حداقل دمای کمتری است. و هیچکدام از این دماها برتری‌ای نسبت به یکدیگر ندارند. این در حالی است که دمای ورودی ۴۵ درجه سانتی گراد کمترین تلفات حرارتی را نسبت به دمای دیگر دارا می‌باشد اما حداقل دمای روغن و حداقل ضخامت فیلم روغن در این دمای ورودی مقدار مناسبی را نسبت به دماهای ورودی دیگر ندارد. می‌توان گفت که در این نمودار هیچکدام از دماهای برتری-ای نسبت به یکدیگر ندارند. جدول ۶-۴ نمونه متغیرهای تصمیم این نمودار را نشان می‌دهد.



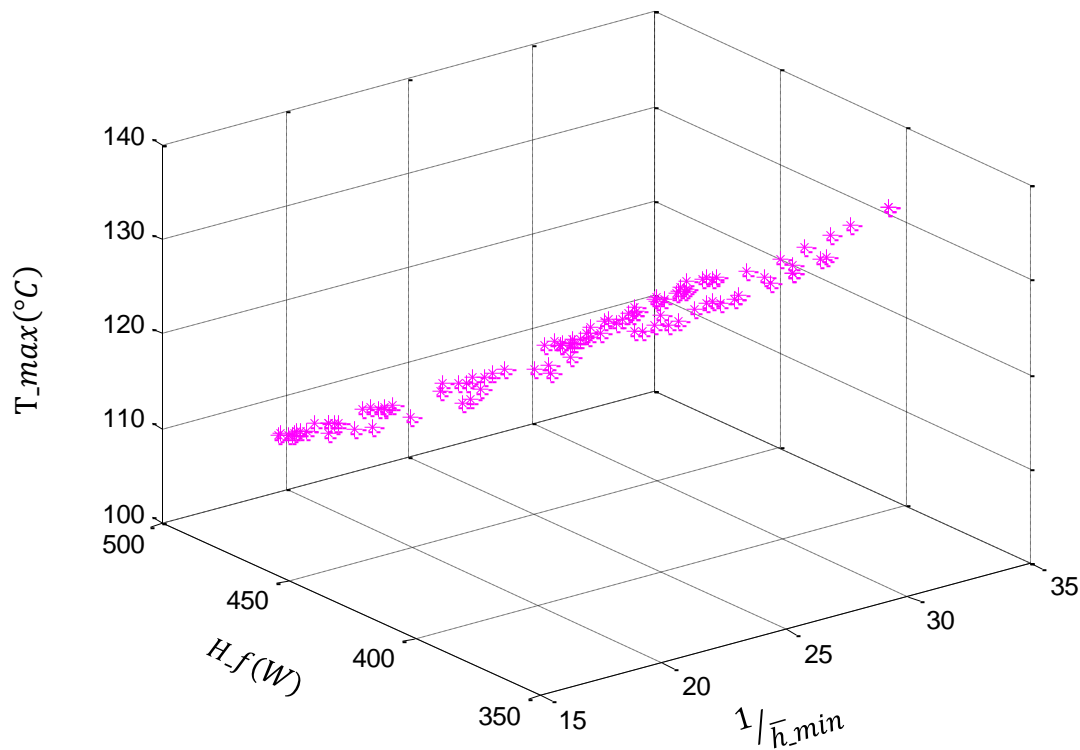
شکل ۴-۱۰ منحنی پرتو یاتاقان کفشدک ثابت با زاویه کفشدک ۳۰ درجه با توابع هدف اتلاف حرارتی، بیشترین دمای روغن و کمترین ضخامت فیلم روغن به ازای دمای ورودی مختلف روغن با روش MOPSO

جدول ۴-۶ متغیرهای تصمیم یاتاقان کفشدک ثابت با زاویه کفشدک ۳۰ درجه با توابع هدف اتلاف حرارتی، بیشترین دمای روغن و کمترین ضخامت فیلم روغن با روش MOPSO

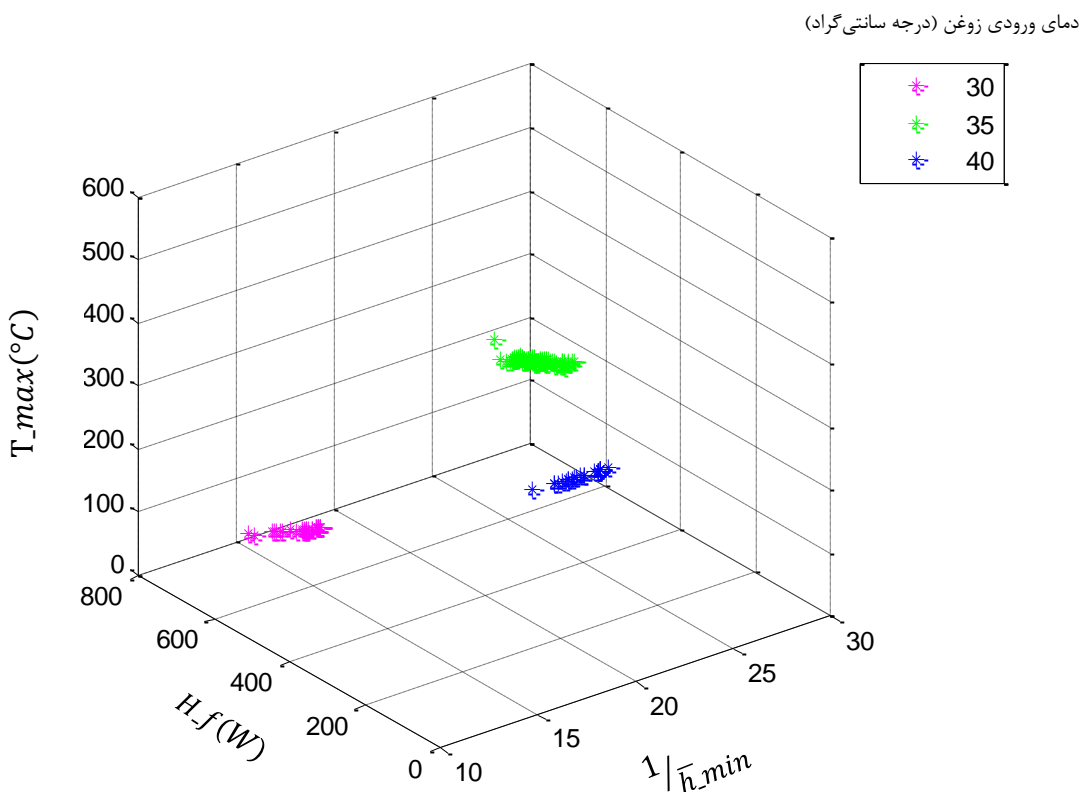
تلفات حرارتی (وات)	بیشترین دما (درجه سانتی گراد)	معکوس ضخامت فیلم روغن (بی بعد)	نسبت طول به قطر (بی بعد)	ضریب لقی (میکرون)	دمای ورودی روغن (درجه سانتی گراد)
۴۷۲/۹۳۶	۸۵/۸۳۶	۱۳/۵۳	۰/۲۷۷	۱۵۰/۳۵۶	۳۵
۴۷۷/۲۸۷	۸۳/۰۸۵	۱۲/۷۳	۰/۲۸۸	۱۵۰/۳۵۶	
۵۳۴/۱۴۱	۷۴/۵۴۱	۶/۷۵۵	۰/۳۸۹	۱۰۲/۸۱۳	۴۰
۴۷۶/۴۰۴	۸۰/۸۶۰	۹/۷۴۵	۰/۳۳۰	۱۲۶/۰۹۱	
۳۸۴/۶۱۳	۹۶/۷۳۴	۱۳/۳۴۷	۰/۲۷۷	۱۲۷/۴۸	۴۵
۳۹۹/۹۲۰	۹۲/۶۹۸	۱۳/۸۰۹	۰/۲۹۳	۱۴۲/۷۹۶	

ب) زاویه کفشک ۶۰ درجه

منحنی پرتو برای زاویه کفشک ۶۰ درجه با دمای ورودی ۴۵ درجه سانتیگراد رسم شده است. که این منحنی در شکل ۱۱-۴ نشان داده شده است. در این نمودار ذرات دارای تلفات حرارتی در بازه ۴۰۰ تا ۵۰۰ وات میباشند و حداقل درجه حرارت این ذرات بین ۱۰۰ تا ۱۳۰ درجه سانتیگراد است. این در حالی است که معکوس کمترین ضخامت فیلم روغن در بازه ۱۹ تا ۳۵ قرار دارد.



شکل ۱۱-۴ منحنی پرتو یاتاقان کفشک ثابت با زاویه کفشک ۶۰ درجه با توابع هدف اتلاف حرارتی، بیشترین دمای روغن و کمترین ضخامت فیلم روغن به ازای دمای ورودی ۴۵ درجه سانتیگراد روغن با روش MOPSO



شکل ۴-۱۲ منحنی پرتو یاتاقان کفشدک ثابت با زاویه کفشدک ۶۰ درجه با توابع هدف اتلاف حرارتی، بیشترین دمای روغن و کمترین ضخامت فیلم روغن به ازای دمای ورودی مختلف روغن با روش MOPSO.

شکل ۴-۱۲ نیز بیان می‌دارد که در یاتاقان کفشدک ثابت به ازای دمای ورودی ۳۰ درجه سانتی‌گراد حداقل ضخامت فیلم روغن دارای بیشترین مقدار و حداکثر دما دارای کمترین مقدار می‌باشد. از طرفی تلفات حرارتی برای دمای ورودی ۴۰ درجه سانتی‌گراد به جواب بهینه نزدیک‌تر می‌باشد. و برای روغن با دمای ورودی ۳۵ درجه سانتی‌گراد حداکثر دما و تلفات حرارتی بیشترین مقدار را دارد. می‌توان گفت در این نمودار روغن با دمای ورودی ۳۰ و ۴۰ درجه انتخاب مناسب‌تری نسبت به روغن با دمای ورودی ۳۵ درجه سانتی‌گراد باشد.

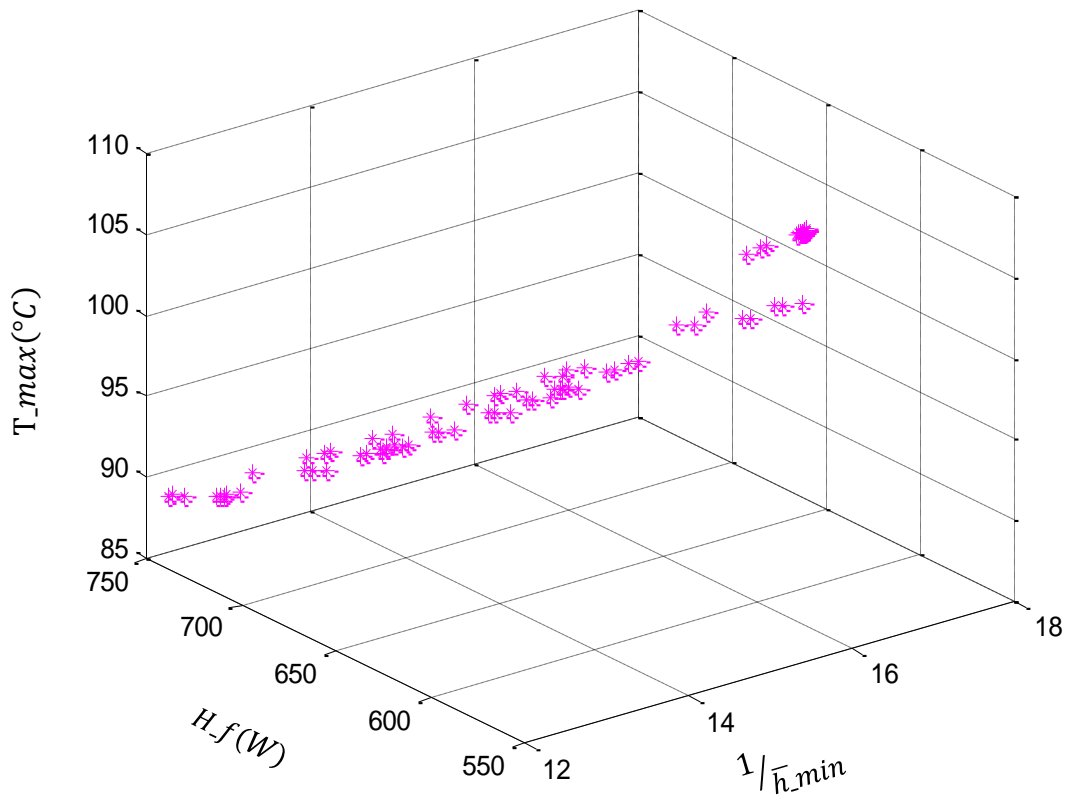
جدول ۴-۷ متغیرهای تصمیم یاتاقان کفشک ثابت با زاویه کفشک ۶۰ درجه با توابع هدف اتلاف حرارتی، بیشترین دمای روغن و کمترین ضخامت فیلم روغن با روش MOPSO.

تلفات حرارتی (وات)	بیشترین دما (درجه سانتی گراد)	معکوس ضخامت فیلم روغن(بی بعد)	نسبت طول به قطر (بی بعد)	ضریب لقی (میکرون)	دمای ورودی روغن (درجه سانتی گراد)
۶۰۲/۵۷۷	۱۰۲/۲۵۰	۱۳/۴۰۱	۰/۲۵۳	۱۴۶/۸۶	۳۰
۵۷۷/۲۸	۱۰۷/۴۲۴	۱۳/۷۴	۰/۲۴۱	۱۳۸/۱۹۸	
۵۶۳/۱۷۴	۱۰/۸۲	۱۴/۸۰۸	۰/۲۶۲	۱۵۸/۷۷۱	۳۵
۵۱۲/۹۲۱	۱۱۳/۴۱۹	۱۶/۳۵۲	۰/۲۳۶	۱۴۶/۸۴۳	
۴۲۰/۳۶۹	۱۲۸/۸۸۴	۲۴/۶۴۷	۰/۲۱۳	۱۶۵/۷۶۲	۴۰
۴۰۶/۹۴۰	۱۳۳/۱۷۷	۲۶/۳۹۹	۰/۲۰۶	۱۶۵/۷۶۲	

ج) زاویه کفشک ۹۰ درجه

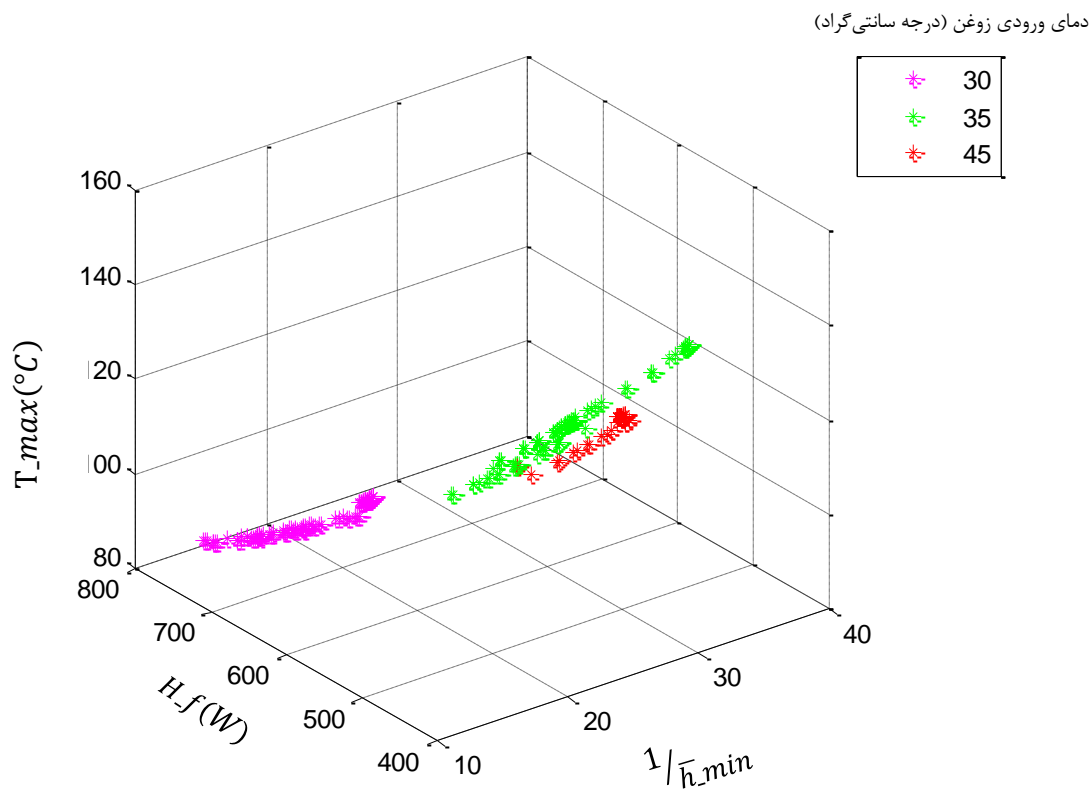
در شکل ۱۳-۴ منحنی پرتو یاتاقان ژورنال کفشک ثابت با زاویه کفشک ۹۰ درجه و به ازای روغن با دمای ورودی ۳۰ درجه سانتی گراد رسم شده است. با وجود اینکه ذرات مقدار مطلوبی از توابع هدف کمترین ضخامت فیلم روغن و بیشترین دما را دارا می باشند اما تلفات حرارتی بالایی دارند.

شکل ۱۴-۴ به ازای دماهای ورودی مختلف برای همین نوع یاتاقان ترسیم شده است که این نمودار بیان می دارد که دمای ورودی ۳۰ درجه سانتی گراد به ترتیب بیشترین و کمترین مقدار حداقل ضخامت فیلم روغن و بیشترین دمای روغن را دارا می باشد ولی تلفات حرارتی آن از دماهای دیگر بیشتر می باشد. در این نمودار هیچکدام از دماهای ورودی نسبت به هم برتری ای ندارند و انتخاب دمای ورودی روغن بسته به طراح دارد.



شکل ۴-۱۳ منحنی پرتو یاتاقان کفشك ثابت با زاویه کفشک ۹۰ درجه با توابع هدف اتلاف حرارتی، بیشترین دمای روغن و کمترین ضخامت فیلم روغن به ازای دمای ورودی ۳۰ درجه سانتی گراد روغن با روش MOPSO

آنچه از تمامی نمودارهای این بخش پیداست تعیین مشخصات و پارامترهای طراحی یاتاقان ژورنال کفشک ثابت اهمیت زیادی بر روی توابع هدف مسئله دارد. و این توابع هدف نسبت به متغیرهای تصمیم مسئله حساسیت بالایی دارند. انتخاب نادرست هر پارامتر می‌تواند صدمات زیادی به یاتاقان وارد کند و باعث روان کاری نامناسب و کوتاه شدن عمر یاتاقان گردد.



شکل ۴-۱۴ منحنی پرتو یاتاقان کفشك ثابت با زاویه کفشك ۹۰ درجه با توابع هدف اتلاف حرارتی، بیشترین دمای روغن و کمترین ضخامت فیلم روغن به ازای دمای ورودی مختلف روغن با روش MOPSO

جدول ۴-۸ متغیرهای تصمیم یاتاقان کفشك ثابت با زاویه کفشك ۹۰ درجه با توابع هدف اتلاف حرارتی، بیشترین دمای روغن و کمترین ضخامت فیلم روغن با روش MOPSO

تلفات حرارتی (وات)	بیشترین دما (درجه سانتی گراد)	معکوس ضخامت فیلم روغن (بی بعد)	نسبت طول به قطر (بی بعد)	ضریب لقی (میکرون)	دمای ورودی روغن (درجه سانتی گراد)
۶۹۴/۴۶۴	۹۲/۴۷۰	۱۴/۴۷۴	۰/۲۷۷	۱۸۴/۹۰۱	۳۰
۷۱۰/۲۵۸	۹۰/۸۷۸	۱۳/۹۰۶	۰/۲۸۳	۱۸۴/۹۰۱	
۴۸۰/۴۶۱	۱۲۲/۷۳۵	۲۳/۹۸۶	۰/۲۱۳	۱۷۲/۶۶۹	۳۵
۵۴۰/۲۵۳	۱۱۰/۷۵۸	۱۹/۲۳۲	۰/۲۳۸	۱۷۲/۶۶۹	
۴۳۲/۹۶۵	۱۲۶/۴۴۸	۲۲/۳۹۶	۰/۲۲۷	۱۵۸/۲۲۳	۴۵
۴۰۳/۲۶۶	۱۳۵/۳۷۴	۲۴/۸۴۲	۰/۲۱۱	۱۵۲/۹۴۶	

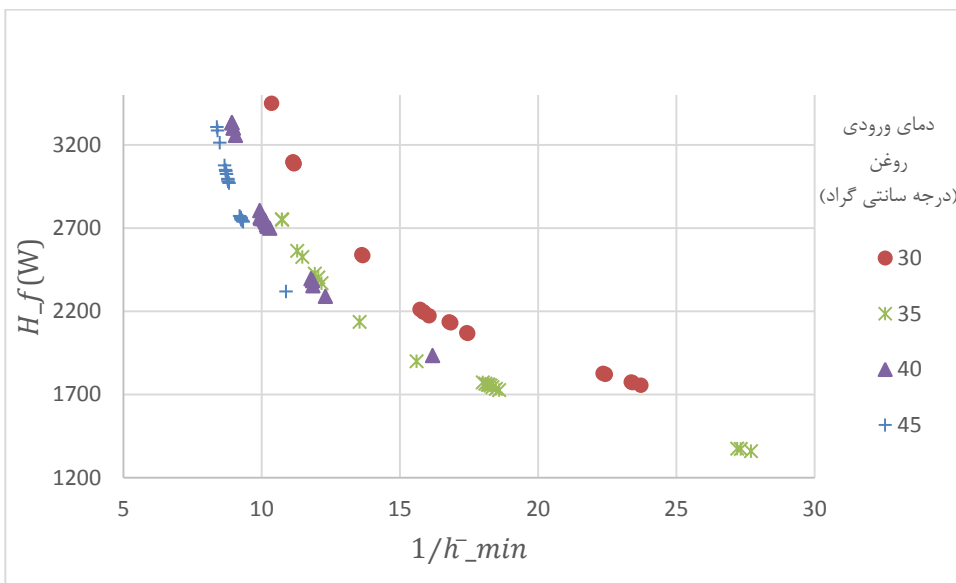
۴-۱- نتایج یاتاقان کفشك لولایی

در این قسمت به بهینه‌سازی یاتاقان‌های ژورنال کفشك لولایی با استفاده از الگوریتم ازدحام ذرات پرداخته شده است. که یک مسئله‌ی کمینه‌سازی می‌باشد. توابع هدف در این بخش کمترین ضخامت فیلم روغن، تلفات اصطکاکی و بیشترین دما می‌باشد که همانند یاتاقان کفشك ثابت باید کمترین ضخامت فیلم روغن بیشینه گردد تا یاتاقان دچار فرسودگی و خوردگی کمتری گردد و روان‌کاری به درستی صورت گیرد. همچنین تلفات اصطکاکی و بیشترین دما باید کمینه گردد تا یاتاقان عملکرد مطلوبی داشته باشد. متغیرهای تصمیم مسئله، ضریب لقی و نسبت طول به قطر می‌باشد که این کار با دماهای ۴۰، ۳۵، ۳۰ و ۴۵ و زاویه‌ی کفشك ۳۰ درجه صورت گرفته است، برای قیود مسئله نیز مانند یاتاقان کفشك ثابت از روش ترمیم استفاده شده است.

۴-۱-۱- بهینه‌سازی با دو تابع هدف

یاتاقان کفشك لولایی با توابع هدف کمترین ضخامت فیلم روغن و بیشترین دما و تلفات حرارتی بهینه شده است. بار وارد بر یاتاقان همانند یاتاقان کفشك ثابت ۲۰ کیلو نیوتون و با همان مقدار سرعت می‌باشد. بازه ضریب لقی و نسبت طول به قطر برای یاتاقان کفشك لولایی به ترتیب ۱۰۰ تا ۶۰۰ میکرون و $\frac{1}{3}$ تا ۰/۷ است.

نتایج بهینه‌سازی با دو تابع هدف در شکل‌های ۱۵-۴ تا ۱۷-۴ آورده شده است. این نمودارهای برای دمای ورودی ۳۰، ۳۵، ۴۰ و ۴۵ درجه سانتی گراد رسم شده است.



شکل ۴-۱۵ منحنی پرتو یاتاقان کفشدک لولایی با ۵ کفشدک و توابع هدف اتلاف حرارتی و کمترین ضخامت فیلم روغن به ازای دمای ورودی مختلف روغن با روش MOPSO

در شکل بالا، منحنی پرتو یاتاقان کفشدک لولایی با ۵ کفشدک و توابع هدف تلفات حرارتی و کمترین ضخامت فیلم روغن به ازای دمای ورودی ۳۰، ۳۵، ۴۰ و ۴۵ درجه سانتی گراد رسم شده است. در این نمودار منحنی پرتو با دمای ورودی ۳۰ درجه سانتی گراد بالاتر از دماهای ورودی دیگر قرار دارد در نتیجه روغن با این دمای ورودی در این شرایط مناسب نمی باشد. همچنین منحنی دمای ورودی ۴۵ درجه سانتی گراد پایین تر از بقیه دماها قرار گرفته است. منحنی پرتو با دمای ورودی ۴۵ درجه سانتی گراد با وجود اینکه کمترین ضخامت فیلم روغن آن نسبت به دماهای ورودی دیگر بیشتر است تلفات حرارتی آن زیاد می باشد؛ همچنین از این نمودار می توان برداشت کرد که بعضی از ذرات دماهای ورودی ۳۰ و ۳۵ درجه سانتی گراد تلفات حرارتی کمتری را دارا می باشند.

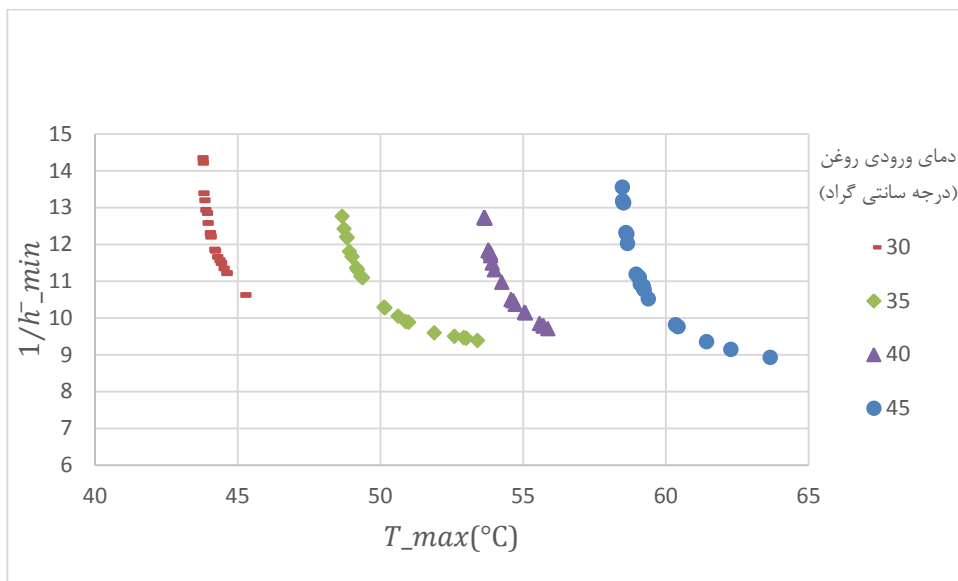
در جدول ۹-۴ نمونه ای از مقادیر متغیرهای تصمیم آورده شده است.

جدول ۴-۹ متغیرهای تصمیم یاتاقان کفشهک لولایی با توابع هدف تلفات حرارتی و کمترین ضخامت فیلم روغن با روش MOPSO

تلفات حرارتی (وات)	معکوس ضخامت فیلم روغن(بی بعد)	نسبت طول به قطر (بی بعد)	ضریب لقی (میکرون)	دماهی ورودی روغن (درجه سانتی گراد)
۲۴۴۸/۹۰۴	۱۴/۰۳۵	.۰/۵۶۶	۳۶۹/۴۴۶	۳۰
۲۴۶۷/۱۶۳	۱۳/۹۶	.۰/۵۶۵	۳۶۴/۹۷۲	
۲۱۶۷/۲۸۶	۱۳/۵۹۵	.۰/۵۷۰	۳۲۴/۶۷۰	۳۵
۲۳۵۶/۷۵۰	۱۲/۲۸۰	.۰/۵۶۹	۲۸۴/۷۵۷	
۱۹۳۳/۴۹۵	۱۶/۱۸۶	.۰/۴۳۳	۳۷۷/۷۷۷	۴۰
۴۹۷۰/۷۶۶	۷/۸۵۹	.۰/۶۶۰	۱۷۵/۸۸۶	
۳۲۸۶/۳۶۵	۸/۴۰۵	.۰/۵۳۱	۱۸۸/۵۵۲	۴۵
۲۷۵۹/۵۷۴	۹/۲۵۴	.۰/۵۶۳	۲۱۹/۷۰۰	

در شکل ۱۶-۴ ذرات با دماهی ورودی ۳۵ درجه سانتی گراد فیلم روغن، ذرات با دماهی ورودی ۴۰ درجه سانتی گراد را مغلوب می کنند. اما بعضی از ذرات با دماهی ورودی ۳۵ درجه سانتی گراد توسط ذرات با دماهی ورودی ۳۰ درجه سانتی گراد مغلوب می شوند. همچنین در دماهی ورودی ۴۵ درجه سانتی گراد قسمت پایین منحنی که بیشترین ضخامت فیلم روغن را دارا می باشد توسط هیچکدام از ذرات مغلوب نمی شود و با وجود اینکه حداقل دماهی این ذرات نسبت به ذرات با دماهی ورودی دیگر بیشترین مقدار را دارند اما حداقل ضخامت فیلم روغن این ذرات بیشترین مقدار است.

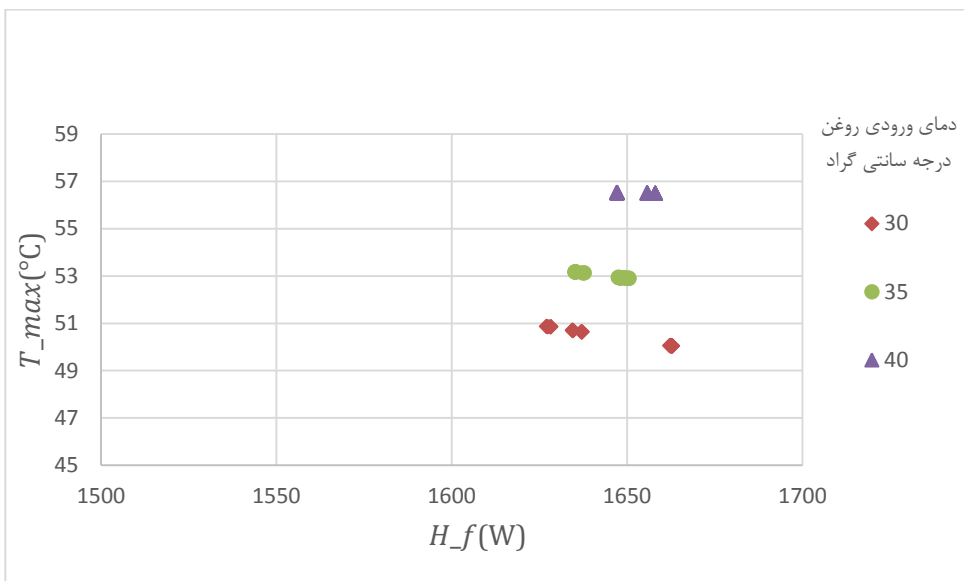
در جدول ۱۰-۴ نمونه متغیرهای تصمیم برای این توابع هدف آورده شده است.



شکل ۴-۱۶ منحنی پرتو یاتاقان کفشک لولایی با ۵ کفشك و توابع هدف بیشترین دمای روغن و کمترین ضخامت فیلم روغن به ازای دمای ورودی مختلف روغن با روش MOPSO

جدول ۴-۱۰ متغیرهای تصمیم یاتاقان کفشک لولایی با توابع هدف بیشترین دمای روغن و کمترین ضخامت فیلم روغن با روش MOPSO

بیشترین دما (درجه سانتی گراد)	معکوس ضخامت فیلم روغن(بی بعد)	نسبت طول به قطر (بی بعد)	ضریب لقی (میکرون)	دمای ورودی روغن (درجه سانتی گراد)
۴۳/۸۲۳	۱۲/۲۶۵	۰/۷۰۵	۳۹۵/۳۵۹	۳۰
۴۳/۶۸۹	۱۲/۷۸۳	۰/۷۰۵	۴۱۶/۱۷۶	
۴۹/۵۷۰	۱۰/۷۶۱	۰/۷۰۲	۲۹۵/۲۲۳	
۴۹/۹۴۶	۱۰/۴۵۹	۰/۷۰۱	۲۸۱/۲۲۶	
۵۵/۰۰۱	۱۰/۱۵۳	۰/۷۰۲	۲۴۴/۸۷۷	۴۰
۵۳/۸۶۰	۱۱/۵۷۶	۰/۷۳۳	۲۹۸/۰۲۱	
۶۰/۲۲۶	۹/۸۵۴	۰/۷۰۱	۲۱۳/۰۸۱	۴۵
۶۱/۳۵۴	۹/۳۶۱	۰/۷۰۱	۱۹۱/۷۶۳	



شکل ۴-۱۷ منحنی پرتو یاتاقان کفشک لولایی با ۵ کفشک و توابع هدف اتلاف حرارتی و بیشترین دمای روغن به ازای دمای ورودی مختلف روغن با روش MOPSO

منحنی پرتو بالا نشان می‌دهد که برای توابع هدف تلفات حرارتی و بیشترین دما، روغن با دمای ورودی ۳۰ درجه سانتی‌گراد نسبت به روغن با دمای ورودی ۳۵ و ۴۵ از عملکرد بهتری برخوردار است.

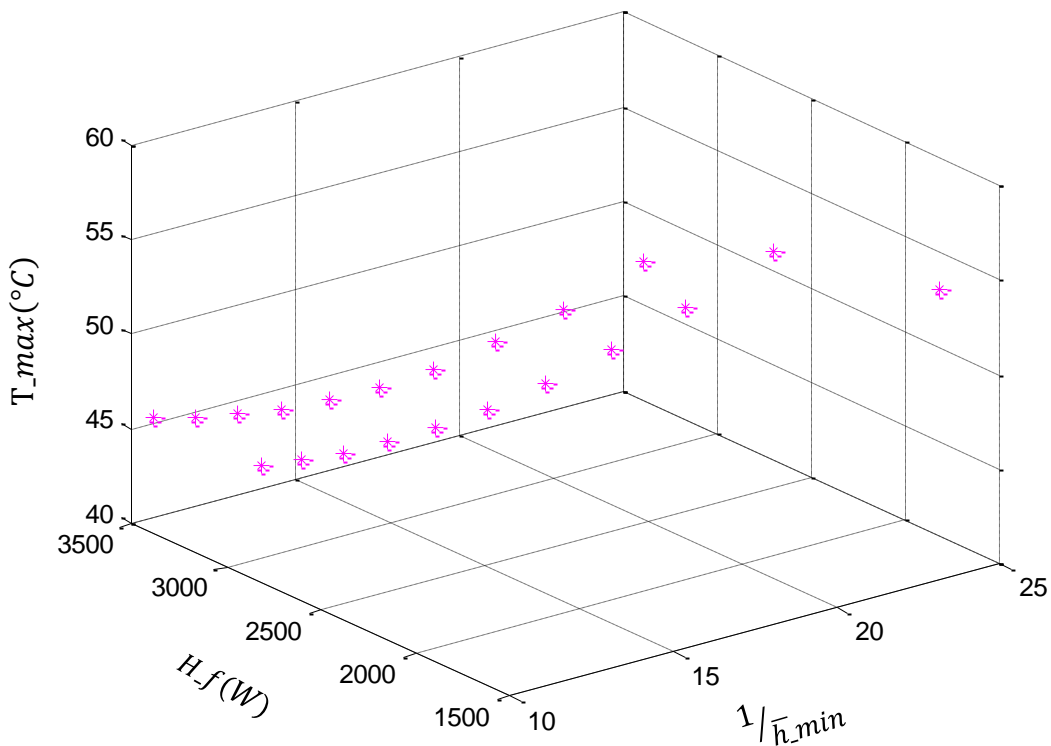
جدول ۴-۱۱ متغیرهای تصمیم یاتاقان کفشک لولایی با توابع هدف اتلاف حرارتی و بیشترین دمای روغن روغن با روش MOPSO

تلفات حرارتی (وات)	بیشترین دما (درجه سانتی‌گراد)	نسبت طول به قطر (بی‌بعد)	ضریب لقی (میکرون)	دمای ورودی روغن (درجه سانتی‌گراد)
۱۶۲۸/۲۸۵	۵۰/۸۴۶	.۰۵۴۸	۷۵۵/۶۱۳	۳۰
۱۶۳۶/۹۹۹	۵۰/۶۳۸	.۰۵۲۲	۷۵۵/۵۲۸	
۱۶۴۹/۸۹۵	۵۲/۸۹۸	.۰۵۸۵	۵۳۸/۱۵۷	
۱۶۳۵/۳۱۸	۵۳/۱۶۰	.۰۵۷۴	۵۳۸/۴۱۱	۳۵
۱۲۹۰/۸۲۶	۶۰/۳۴۷	.۰۵۴۲	۵۵۶/۳۰۲	
۱۷۰۶/۱۹۱	۵۶/۴۶۲	.۰۵۹۷	۳۷۴/۳۲۸	۴۰

جدول ۱۱-۴ متغیرهای تصمیم این مسئله را دارا می‌باشد.

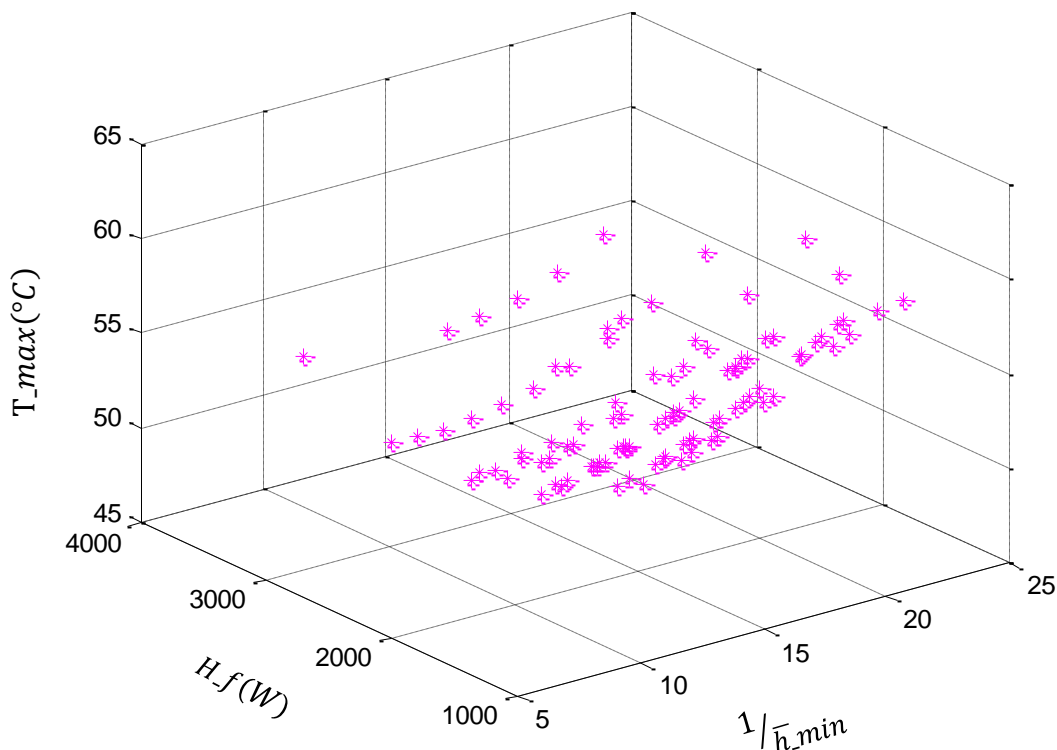
۴-۱-۲- بهینه‌سازی با سه تابع هدف

در این بخش هر سه تابع تلفات حرارتی، بیشترین دما و کمترین ضخامت فیلم روغن به طور همزمان بهینه می‌شوند، که این بهینه‌سازی برای یاتاقان کفشک لولایی با ۵ کفشک و روغن با دمای ورودی ۳۰، ۳۵، ۴۰ و ۴۵ درجه سانتی‌گراد صورت گرفته است. منحنی پرتو این دمایا در شکل‌های ۱۸-۴ تا ۲۲ نمایش داده شده است.



شکل ۱۸-۴ منحنی پرتو یاتاقان کفشک لولایی با ۵ کفشک و توابع هدف اتلاف حرارتی، بیشترین دمای روغن و کمترین ضخامت فیلم روغن به ازای دمای ورودی ۳۰ درجه سانتی‌گراد با روش MOPSO

تلفات حرارتی برای روغن با دمای ورودی ۳۰ درجه سانتی گراد بین ۳۰۰ تا ۳۵۰۰ و حداقل دما بین ۴۰ تا ۵۲ درجه سانتی گراد قرار دارند. در این دما طول بازه معکوس ضخامت فیلم روغن بستر از دماهای دیگر می باشد.



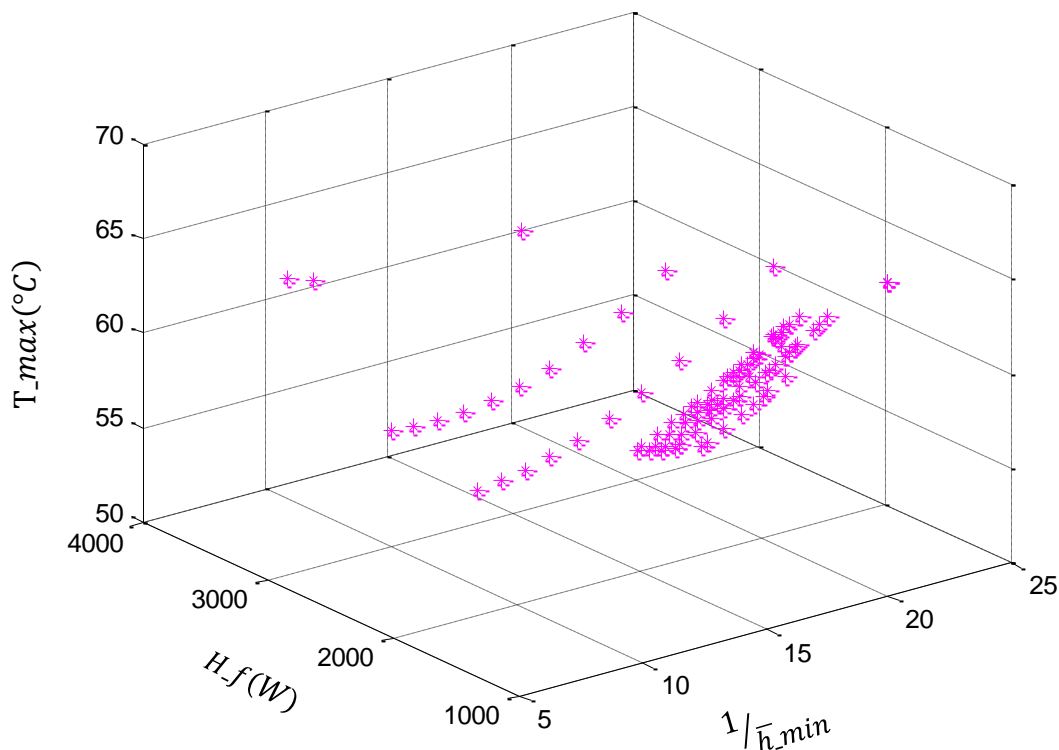
شکل ۴-۱۹ منحنی پرتو یاتاقان کفشک لولایی با ۵ کفشاکو توابع هدف اتلاف حرارتی، بیشترین دمای روغن و کمترین ضخامت فیلم روغن به ازای دمای ورودی ۳۵ درجه سانتی گراد با روش MOPSO

شکل ۴-۱۹ نشان می دهد که روغن با دمای ورودی ۳۵ درجه سانتی گراد بازه حرارتی بیشتری نسبت به دماهای دیگر دارد.

در دمای ورودی ۴۰ درجه سانتی گراد تجمع ذرات به سمت راست نمودار بیشتر است و این قسمت از

نمودار تلفات کمتری را نسبت به بقیه نقاط دارا می‌باشد. در دمای ورودی ۴۵ درجه سانتی‌گراد حداقلر دما، نسبت به دماهای دیگر بیشتر می‌باشد.

از شکل ۲۰-۴ می‌توان فهمید که در دمای ورودی ۴۰ درجه سانتی‌گراد تجمع ذرات به سمت راست نمودار بیشتر است و این قسمت از نمودار تلفات کمتری را نسبت به بقیه نقاط دارا می‌باشد.

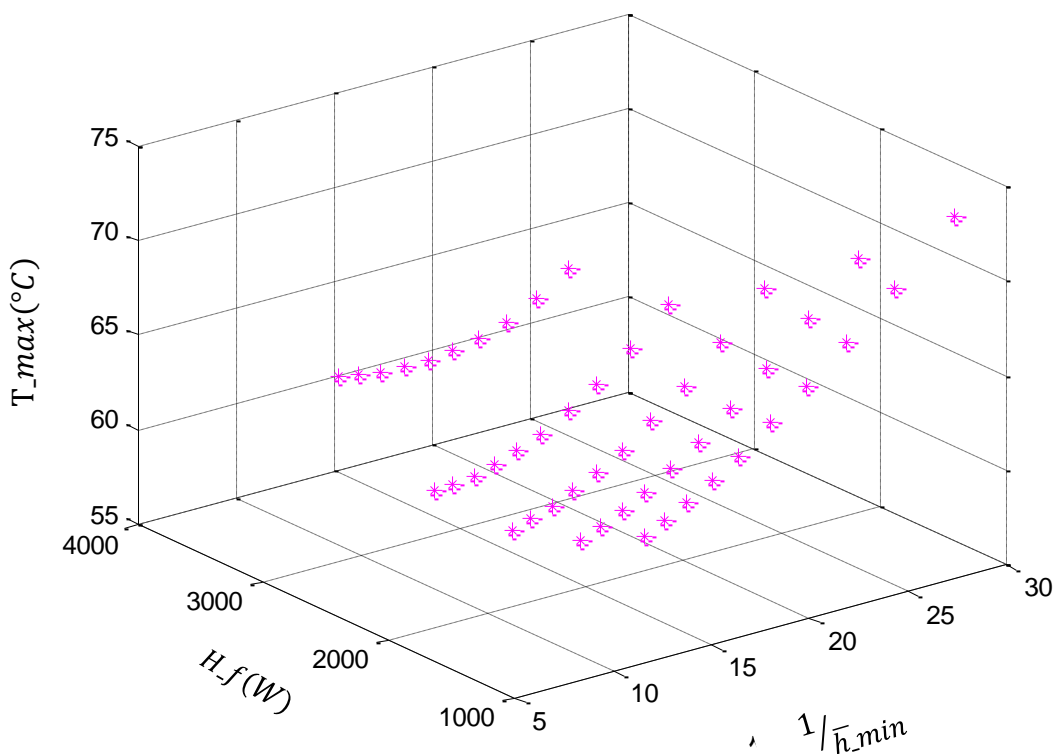


شکل ۲۰-۴ منحنی پرتو یاتاقان کفشهک لولایی با ۵ کفشهک و توابع هدف اتلاف حرارتی، بیشترین دمای روغن و کمترین ضخامت فیلم روغن به ازای دمای ورودی ۴۰ درجه سانتی‌گراد با روش MOPSO

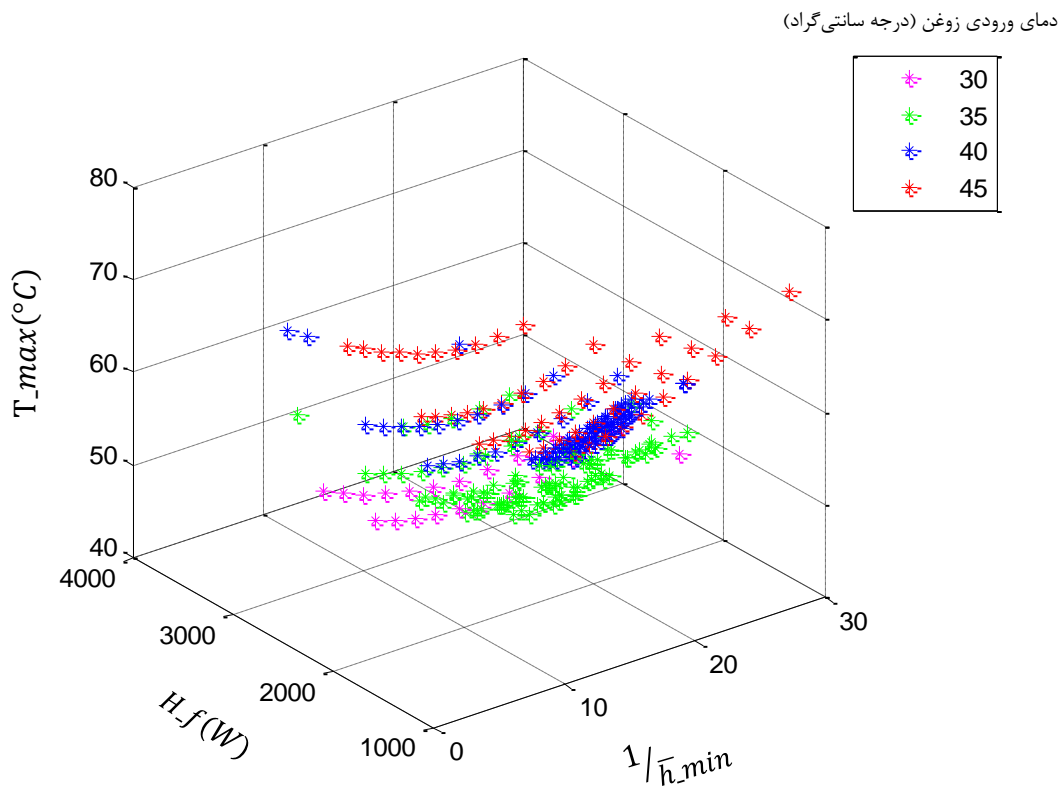
شکل ۲۱-۴ بیان می‌دارد که در دمای ورودی ۴۵ درجه سانتی‌گراد حداقلر دما، نسبت به دماهای دیگر بیشتر است.

برای مقایسه بهتر، شکل ۲۳-۴ برای هر سه تابع هدف و دماهای ورودی مختلف نمایش داده شده

است. این نمودار بیان می‌دارد که منحنی پرتوی روغن با دمای ورودی ۴۵ درجه‌سانتی‌گراد بالاتر از دماهای ورودی دیگر و منحنی پرتو با دمای ورودی ۳۰ درجه سانتی‌گراد پایین‌تر از منحنی‌های دیگر قرار دارد. ولی نمی‌توان با اطمینان گفت که روغن با دمای ورودی ۳۰ درجه سانتی‌گراد بهترین عملکرد و روغن با دمای ورودی ۴۵ درجه سانتی‌گراد بدترین عملکرد را دارد. زیرا بعضی از ذرات با دمای ورودی ۳۰ درجه توسط ذرات دیگر مغلوب می‌شوند و بالعکس برای دما ورودی ۴۵ درجه سانتی‌گراد، ذرات توانایی مغلوب کردن بعضی ذرات دیگر را دارند.



شکل ۴-۲۱ منحنی پرتو یاتاقان کفشدک لولایی با ۵ کفشدک و توابع هدف اتلاف حرارتی، بیشترین دمای روغن و کمترین ضخامت فیلم روغن به ازای دمای ورودی ۴۵ درجه سانتی‌گراد با روش MOPSO



شکل ۴-۲۲ منحنی پرتو یاتاقان کفشد ثابت با ۵ کفشد و توابع هدف اتلاف حرارتی، بیشترین دمای روغن و کمترین ضخامت فیلم روغن به ازای دمای ورودی مختلف روغن با روش MOPSO

این منحنی‌ها به ازای متغیرهای تصمیم مختلفی رسم شدند؛ که در جدول ۴ آورده شده است.

همانطور که در جدول آمده است با افزایش دمای ورودی روغن حداکثر دمای فیلم افزایش می‌باید همچنین می‌توان گفت برای یاتاقانی با این شرایط نسبت طول به قطر $0/4$ مقدار مناسبی می‌باشد ولی ضریب لقی روغن با دمای ورودی مختلف، متفاوت می‌باشد.

جدول ۴-۱۲ متغیرهای تصمیم یاتاقان کفشک لولایی با توابع هدف اتلاف حرارتی، بیشترین دمای روغن و کمترین ضخامت فیلم روغن با روش MOPSO

تلفات حرارتی (وات)	بیشترین دما (درجه سانتی گراد)	معکوس ضخامت فیلم روغن (بی بعد)	نسبت طول به قطر (بی بعد)	ضریب لقی (میکرون)	دمای ورودی روغن (درجه سانتی گراد)
۲۰۱۰/۷۶۳	۵۷/۳۳۶	۱۷/۰۲	۰/۴	۳۰۰	۳۰
۲۱۶۹/۷۷۹	۵۴/۸۷۰	۱۵/۵۲	۰/۴۳۲	۳۰۰	
۲۰۲۸/۷۱۹	۶۳/۱۷۸	۱۳/۷۸۰	۰/۴	۲۱۱/۱۱	۳۵
۲۱۹۶/۱۱۴	۶۱/۰۳	۱۲/۷۲۵	۰/۴۳۲	۲۱۱/۱۱	
۲۲۰۶/۵۶۷	۶۸/۶۷۵	۱۱/۲۸۲	۰/۴۳	۱۵۵/۵۵	۴۰
۳۴۴۳/۱۰۳	۶۳/۰۴۸	۹/۱۱۲	۰/۶۶	۱۵۵/۵۵	
۱۷۰۱/۷۱	۷۳/۵۵۱	۱۲/۲۴۶	۰/۴	۱۵۵/۵۵	۴۵
۱۸۴۴/۳۱۱	۷۱/۶۸۲	۱۱/۴۷۸	۰/۴۳	۱۵۵/۵۵	

γγ

فصل پنجم

نتیجه‌گیری و پیشنهادها

نتیجه‌گیری:

بهینه‌سازی با استفاده از الگوریتم ازدحام ذرات و با توجه به سازگار بودن این روش با نوع مسئله، روش بسیار خوب و کارآمدی می‌باشد. متغیرهای تصمیم مسئله و دمای ورودی فیلم روغن تاثیر بسیار زیادی بر روی مقدار بهینه حداقل ضخامت فیلم روغن، حداکثر دمای ورودی و تلفات حرارتی دارد.

در یاتاقان کفشك ثابت و با توابع هدف بیشترین دمای روغن و کمترین ضخامت فیلم روغن دمای ورودی ۳۰ درجه سانتی‌گراد از عملکرد بهتری برخوردار است. در یاتاقان کفشك لولایی نیز با این توابع هدف ذرات با دمای ورودی ۳۵ درجه سانتی‌گراد فیلم روغن، ذرات با دمای ورودی ۴۰ درجه سانتی‌گراد را مغلوب می‌کنند. اما بعضی از ذرات با دمای ورودی ۳۵ درجه سانتی‌گراد توسط ذرات با دمای ورودی ۳۰ درجه سانتی‌گراد مغلوب می‌شوند.

بهینه‌سازی با تابع هدف کمترین ضخامت فیلم روغن و اتلاف حرارتی برای یاتاقان کفشك ثابت در دمای ۴۰ درجه سانتی‌گراد دارای منحنی پرتو بهتری می‌باشد و از عملکرد مطلوبی برخوردار است. لذا انتخاب دما ۴۰ درجه سانتی‌گراد برای دمای ورودی روغن زمانیکه این دو تابع از اهمیت خاصی برخوردار باشد، مناسب می‌باشد. در یاتاقان کفشك لولایی نیز دمای ورودی ۳۰ درجه سانتی‌گراد بالاتر از دماهای

ورودی دیگر قرار دارد در نتیجه روغن با این دمای ورودی در این شرایط مناسب نمی‌باشد. همچنین منحنی دمای ورودی ۴۵ درجه سانتی‌گراد پایین‌تر از بقیه‌ی دماها قرار گرفته است. منحنی پرتو با دمای ورودی ۴۵ درجه سانتی‌گراد با وجود اینکه کمترین ضخامت فیلم روغن آن نسبت به دماهای ورودی دیگر بیشتر است تلفات حرارتی آن زیاد می‌باشد.

در یاتاقان کفشک ثابت زمانی‌که توابع هدف مسئله اتلاف حرارتی و بیشترین دمای روغن در نظر گرفته شود. بعضی از ذرات در دمای ورودی ۴۵ درجه سانتی‌گراد، بعضی از ذرات در دمای ورودی ۳۵ درجه سانتی‌گراد را مغلوب می‌کند، ولی بیشتر ذرات در این دو دما هیچ‌گونه برتری نسبت به یکدیگر ندارند. و هر دو دما از یک مقدار متوسط بیشترین دما و اتلاف حرارتی برخوردارند. اما روغن با دمای ورودی ۳۰ درجه سانتی‌گراد با وجود اینکه بیشترین دمای آن نسبت به دماهای ورودی دیگر کمترین مقدار را دارا می‌باشد اما تلفات حرارتی آن زیاد می‌باشد. در دمای ۴۰ درجه نیز تلفات حرارتی، کم و بیشترین دما دارای مقدار زیادی است. در یاتاقان کفشک لولایی نیز، روغن با دمای ورودی ۳۰ درجه سانتی‌گراد نسبت به روغن با دمای ورودی ۳۵ و ۴۵ از عملکرد بهتری برخوردار است.

در یاتاقان کفشک ثابت زمانی‌که هر سه تابع هدف بهینه می‌شوند دمای ورودی ۴۰ درجه سانتی‌گراد نسبت به دماهای ورودی ۳۵ و ۴۵ درجه سانتی‌گراد دارای بیشترین حداقل ضخامت فیلم روغن و حداقل دمای کمتری است. و هیچ‌کدام از این دماها برتری‌ای نسبت به یکدیگر ندارند. این در حالی است که دمای ورودی ۴۵ درجه سانتی‌گراد کمترین تلفات حرارتی را نسبت به دماهای دیگر دارا می‌باشد اما حداقل دمای روغن و حداقل ضخامت فیلم روغن در این دمای ورودی مقدار مناسبی را نسبت به دماهای ورودی دیگر ندارد. می‌توان گفت که در این نمودار هیچ‌کدام از دماها برتری‌ای نسبت به یکدیگر ندارند. در یاتاقان کفشک لولایی نیز روغن با دمای ورودی ۴۵ درجه سانتی‌گراد بالاتر از دماهای ورودی دیگر و منحنی پرتو با دمای ورودی ۳۰ درجه سانتی‌گراد پایین‌تر از منحنی‌های دیگر قرار دارد. ولی نمی‌توان با

اطمینان گفت که روغن با دمای ورودی ۴۵ درجه سانتی‌گراد بهترین عملکرد و روغن با دمای ورودی ۴۵ درجه سانتی‌گراد بدترین عملکرد را دارد. زیرا بعضی از ذرات با دمای ورودی ۳۰ درجه توسط ذرات دیگر مغلوب می‌شوند و بالعکس برای دما ورودی ۴۵ درجه سانتی‌گراد، ذرات توانایی مغلوب کردن بعضی ذرات دیگر را دارند.

انتخاب پارامترهای مسئله بستگی به نیاز طراح و شرایط مسئله دارد با توجه به اینکه مسئله نسبت به این پارامترها حساسیت بالایی دارد با انتخاب درست و بهینه می‌توان به بهبود عملکرد یاتاقان‌ها کمک بزرگی انجام داد.

پیشنهادها:

کارهایی که می‌توان در آینده انجام داد به صورت موردی در زیر ذکر گردیده است:

- بهینه‌سازی یاتاقان‌های ژورنال با در نظر گرفتن تغییر شکل کفشک‌ها و اضافه نمودن این تابع به توابع هدف مسئله، با استفاده از الگوریتم ازدحام ذرات.
- بررسی تاثیر دیگر پارامترهای ورودی بر روی یاتاقان‌های ژورنال با استفاده از الگوریتم ازدحام ذرات.
- بهینه‌سازی دیگر یاتاقان‌ها با استفاده از الگوریتم ازدحام ذرات.
- افزایش ابعاد مسئله در بهینه‌سازی یاتاقان‌ها با استفاده از الگوریتم ازدحام ذرات.
- بهینه‌سازی با دیگر الگوریتم‌های بهینه‌سازی و مقایسه بین روش ازدحام ذرات و روش‌های بهینه‌سازی دیگر.

منابع

- [1] S. Yang, C. Kim, and W. Lee, “Tribology international prevention of fluttering fatigue damage in a tilting pad journal bearing,” vol. 42, pp. 816–822, 2009.
- [2] M. Solides and L. Cnrs, “Thermohydrodynamic design. charts for tilting-pad journal bearings,” vol. 118, no. January, pp. 232–238, 1996.
- [3] P. Taylor, A. A. Raimondi, and J. Boyd, “A solution for the finite journal bearing and its application to analysis and design : I,” no. August 2015, 2011.
- [4] Nadia Nedjah, “Multi-objective swarm intelligent systems”, vol. 261. 2010.
- [5] S. Boedo and S. L. Eshkabilov, “Optimal shape design of steadily loaded journal bearings using genetic algorithms,” *Tribol. Trans.*, vol. 46, no. 1, pp. 134–143, 2003.
- [6] S.K. Talluri and H.Hirani, “Parameter optimization of journal bearing using genetic algorithm,” *Tribol. Trans.*, vol. 2, no. 1, pp. 7–21, 2003.
- [7] H. Saruhan, K. Rouch, and C. Roso, “Design Optimization of Tilting-Pad Journal Bearing Using a Genetic Algorithm,” *Int. J. Rotating Mach.*, vol. 10, no. 4, pp. 301–307, 2004.
- [8] H. Hirani and N. P. Suh, “Journal bearing design using multiobjective genetic algorithm and axiomatic design approaches,” *Tribol. Int.*, vol. 38, no. 5, pp. 481–491, 2005.
- [9] S. Gupta, R. Tiwari, and S. B. Nair, “Multi-objective design optimisation of rolling bearings using genetic algorithms,” *Mech. Mach. Theory*, vol. 42, no. 10, pp. 1418–1443, 2007.
- [10] S. Arabia, “Optimum design of hydrostatic journal bearings Part I: Maximum load capacity,” pp. 155–161, 1984.
- [11] H. Hashimoto and K. Matsumoto, “Improvement of operating characteristics of high-

speed hydrodynamic journal bearings by optimum design: part i— formulation of methodology and its application to elliptical bearing design,” *J. Tribol.*, vol. 123, no. 2, p. 305, 2001.

- [12] J. Ghorbanian, M. Ahmadi, and R. Soltani, “Design predictive tool and optimization of journal bearing using neural network model and multi-objective genetic algorithm,” *Sci. Iran.*, vol. 18, no. 5, pp. 1095–1105, 2011.
- [13] H. Hirani and T. V. V. L. N. Rao, “Optimization of journal bearing groove geometry using genetic algorithm,” *NaCoMM03, IIT Delhi, India*, vol. 1, pp. 1–9, 2003.
- [14] L. Roy and S. K. Kakoty, “Optimum groove location of hydrodynamic journal bearing using genetic algorithm,” *Adv. Tribol.*, vol. 2013, 2013.
- [15] A. a. Elsharkawy and L. H. Guedouar, “Inverse solution for finite journal bearings lubricated with couple stress fluids,” *Tribol. Int.*, vol. 34, pp. 107–118, 2001.
- [16] L. Tudose and C. Stanescu, “Optimal design of rolling-contact bearings via evolutionary algorithms,” no. April, pp. 1–13, 2011.
- [17] F. Salem, “Optimum design of hydrostatic journal bearings part ii : minimum power losses,” 1984.
- [18] T. C. and R. Beightler, C.S, Lo, “Optimal design by geometric programming,” *J. Eng. Ind. Trans. ASME*, pp. 191–196, 1970.
- [19] M. Clerc and J. Kennedy, “The particle swarm - explosion, stability, and convergence in a\|n multidimensional complex space,” *IEEE Trans. Evol. Comput.*, vol. 6, no. 1, pp. 58–73, 2002.
- [20] R. L. Escobar, “Parameter prediction in dynamic analysis using response surface method and multi-objective genetic algorithms vulkan do brasil,” vol. 2, no. 2, 2007.
- [21] Hait. Saruhan “Design Optimization Of Mechanical Systems Using Genetic algorithms,” vol.2, no. Tenimuz, pp.77-84,2003.
- [22] D. Bunnag and M. Sun, “Genetic algorithm for constrained global optimization in continuous variables,” *Appl. Math. Comput.*, vol. 171, pp. 604–636, 2005.
- [23] J. Moore and R. Chapman, “Application of particle swarm to multiobjective optimization,” *Dep. Comput. Sci. Softw. Eng. Dep. Auburn Univ.*, pp. 1–4, 1999.
- [24] C. W. Reynolds, “Flocks , Herds , and Schools : A distributed behavioral model 1.”
- [25] A. Hoofifar, “Evolutionary programming in electromagnetic optimization: A review,” *IEEE Trans. Antennas Propag.*, vol. 55, no. 3 I, pp. 523–537, 2007.

- [26] C. Intelligence and A. Introduction computational intelligence : an introduction chapter 3 : *Evolutionary Computing*, no. Part 2.
- [27] J. Kennedy and R. Mendes, “Population structure and particle swarm performance,” *Proc. 2002 Congr. Evol. Comput. CEC 2002*, vol. 2, pp. 1671–1676, 2002.
- [28] R. C. Eberhart and Y. Shi, “Comparison between genetic algorithms and particle swarm optimization,” *ep '98*, pp. 611–616, 1998.
- [29] R.C.Eberhat, Computational intelligence pc tools. 1996.
- [30] C. a. Coello Coello and M. S. Lechuga, “MOPSO: A proposal for multiple objective particle swarm optimization,” *Proc. 2002 Congr. Evol. Comput. CEC 2002*, vol. 2, pp. 1051–1056, 2002.
- [31] V. Kumar, “Multi-objective particle swarm optimization: an introduction,” *smart comput. rev.*, vol. 4, no. 5, 2014.
- [32] C. a C. Coello, G. T. Pulido, and M. S. Lechuga, “Handling multiple objectives with particle swarm optimization,” *Evol. Comput. IEEE Trans.*, vol. 8, no. 3, pp. 256–279, 2004.
- [33] K. Deb, “Multi-objective optimization using evolutionary algorithms,” *john wiley & sons, ltd.* p. 497, 2001.
- [34] M. Engineering, “Performance characteristics of a misaligned single pad externally adjustable fluid-film bearing,” 2008.
- [35] M. Testing, “Partial journal bearings with couple stress fluids : an approximate closed-form,” vol. 2, no. Ii, pp. 21–26, 2012.
- [36] V. R. Nosov and L. Vibrs, “Short Journal Bearings With Misaligned Axes,” no. 52, pp. 1–16.
- [37] G. W. Stachowiak and A. W. Batchelor, “Engineering tribology,” p. 769. [36] C. M. Lewandowski, N. Co-investigator, and C. M. Lewandowski, *No Title No Title*, vol. 1. 2015.
- [38] Raimondi AA and Boyd J, “A solution for the finite journal bearing and its application to analysis and design ii, ”*ASLE Transactions*, 1(1): 174-193, 1958.
- [39] Reynolds O, “On the Theory of lubrication and its application to mr. beauchamp tower’s experiments, including an experimental determination of the viscosity of olive oil,” *philosophical transactions of the royal society*, 177: 157-234. 1886.
- [40] Sommerfeld A, “Zur hydrodynamische theorie der schmiermittelreibung,” *zeitschrift*

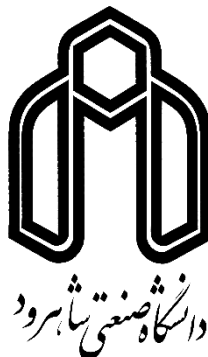
fur math. und phys., vol. 50, pp. 97–155, 1904.

- [41] B. Soediono, “Fluid film lubrication theory and design,” *J. Chem. Inf. Model.*, vol. 53, p. 160, 1989.
- [42] P. Akbarzadeh, “Numerical study of thermohydrodynamic characteristics of oil tilting-pad journal bearings with a self-pumping fluid flow circulation,” *tribol. trans.*, vol. 58, no. 1, pp. 18–30, 2015.

Abstract

Optimization journal bearings are very important because of their numerous applications in various industries such as power plants, turbomachinery, electrical machinery, shipbuilding, and etc. this thesis focuses on the use of particle swarm algorithms in developing an efficient optimum design method for finite bearings and tilting-pad bearings. The approach optimizes based on minimum film thickness, power loss and maximum film temperature. Results are presented for oil with various inlet temperatures. also for finite journal bearings have been optimized for a different pad angle. In this thesis, a numerical three-dimensional thermo-hydrodynamic code has been developed to simulate the steady condition of tilting-pad journal bearing without restrictions on their size, especially length of bearings. In this program, Reynolds equations for oil flow in the gap between the shaft and the bearing pads are solved by using a numerical finite difference method with a successive over-relaxation scheme in this simulation. for closing the solution to the real conditions, oil viscosity changes with temperature is also taken into account.

Keywords: journal bearing, finite bearing, tilting-pad bearing, particle swarm optimization, MOPSO method.



Shahrood University of Technology
Faculty of Mechanical Engineering

Master of Science Thesis in Energy Conversion Engineering

Optimization design parameters journal bearing

By:

Seyedeh Zahra Mikaeeli

Supervisor:

Dr. Pooriya Akbarzadeh

Advisor:

Dr.Morteza Rahimiyan

Februry 2016